

Радиоавтоматика

(ОА и САУ, САР, ТАУ, ...)

Л + Пр + Лаб + СРС (72ч); Р/сэ; Э (БК, 3)

АИС, каф.РС, 2335, aisusu@ya.ru, aisokolov@etu.ru

Пр + Лаб: 2427

Пр: DesignLab (OrCad)

СРС: Пр, Лаб, КР, ДЗ

Р/сэ: 3 КР -> «БиП» -> ДЗ (доп.ДЗ)

Пр + Лаб -> Э



«РАДИОАВТОМАТИКА»

для подготовки бакалавров по направлению

11.03.01 «Радиотехника»

для подготовки специалистов

по специальности

11.05.01 «Радиоэлектронные системы и комплексы»

Основная литература

1. Соколов А.И., Юрченко Ю.С. Радиоавтоматика: учеб.пособие.
- М.: Академия, 2011. – 266 с.
2. Соколов А.И., Чистякова С.С. Радиоавтоматика: учеб.-метод. пособие / под
общ. ред. А.И.Соколова. СПб.: Изд-во СПбГЭТУ «ЛЭТИ», 2016. 76 с.
(Учебное пособие содержит методические указания к лабораторным
работам и практическим занятиям по дисциплине «Радиоавтоматика»)
3. Дополненный вариант уч.пособия (п.2): сайт универа, эл.ресурс, с.34

Дополнительная литература

1. Коновалов Г.Ф. Радиоавтоматика: учеб. для вузов- М.: Радиотехника, 2003. – 286 с.
2. Теория систем автоматического управления /В. А. Бесекерский, Е. П. Попов; - 4-е изд., доп. и перераб. - СПб.: Профессия, 2003. – 749 с.
3. Первачев С.В. Радиоавтоматика. Учеб.для вузов, - М.: Радио и связь, 1982. – 295 с.

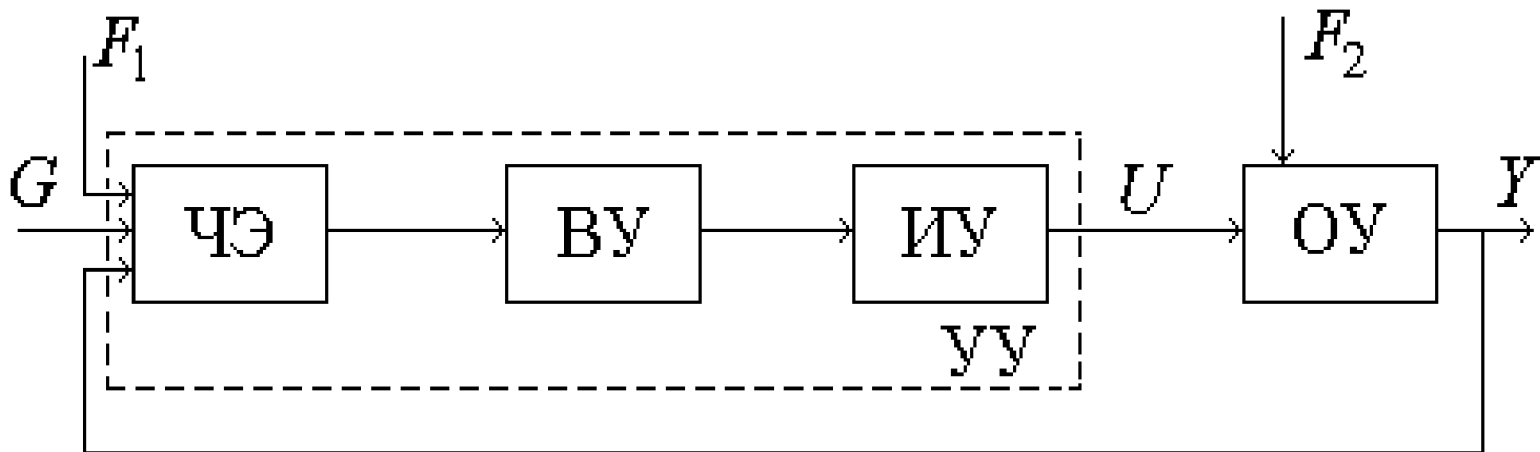
Системы управления и радиоавтоматики, их классификация

4 функции СУ:

- получение информации о задающем воздействии G ;
- получение информации о состоянии объекта управления Y ;
- анализ информации и выработка решения;
- исполнение решения.

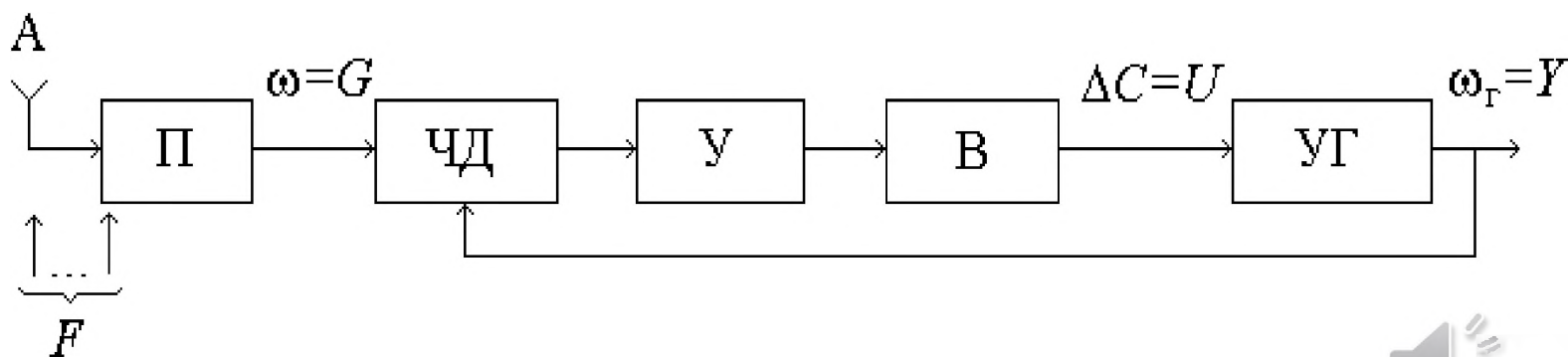
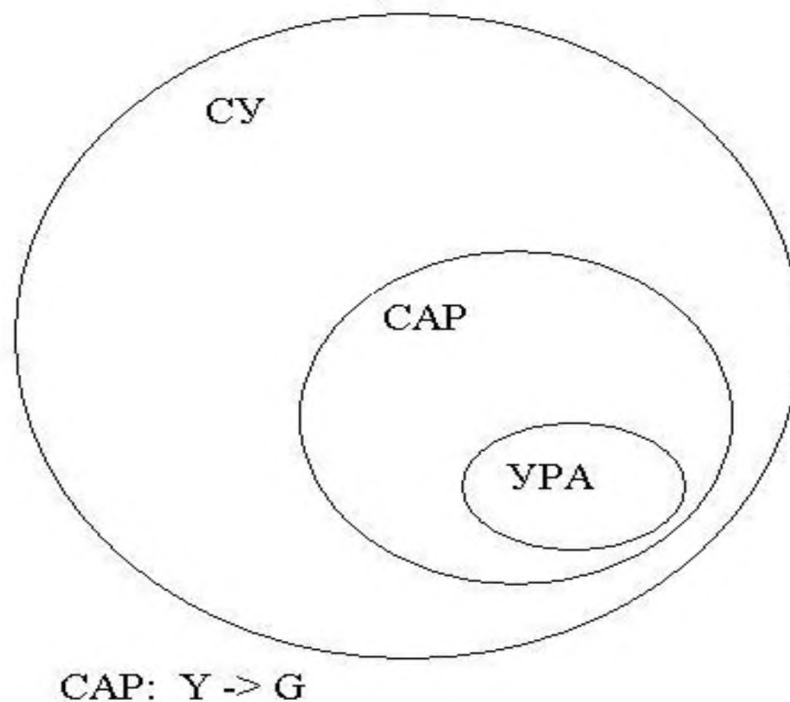


Обобщенная функциональная схема СУ:



УРА:

- системы синхронизации;
- следящие измерители параметров радиосигнала и координат объектов;
- системы управления подвижными объектами.

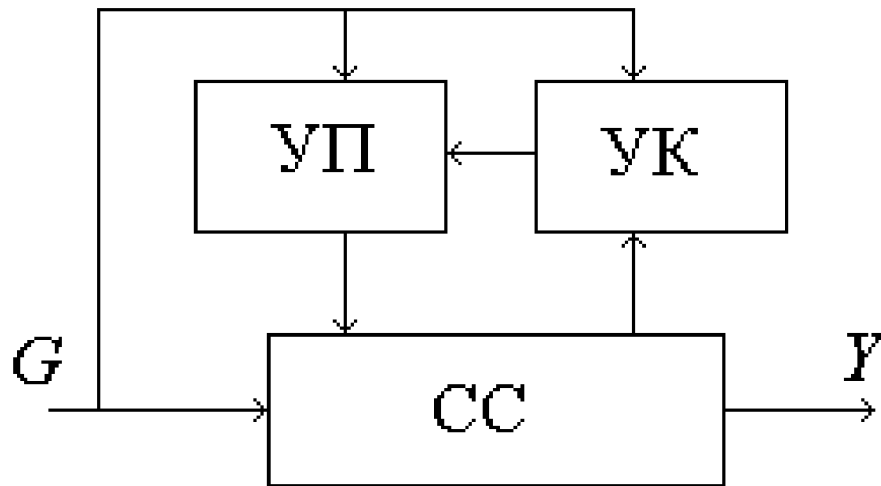


Классификация САР:

По характеру задающего воздействия различают:

- системы стабилизации ($G = \text{const}$),
- системы программного управления (G – известная функция времени),
- следящие системы (G – неизвестная функция времени).

Поисково-следящий измеритель:



По размерности Y

- одномерные (Y – скаляр)
- многомерные (Y – вектор) САР

Линейные и нелинейные САР

С постоянными и переменными параметрами

Непрерывные, импульсные и дискретные САР

Показатели качества САР:

- *устойчивость,*
- *качество переходного процесса,*
- *точность,*
- *помехоустойчивость.*



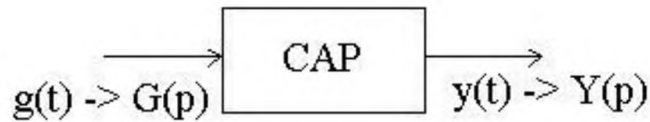
Содержание дисциплины:

- Описание и анализ линейных систем в частотной и временной (методом пространства состояний) областях.
- Вопросы устойчивости и коррекции непрерывных и дискретных систем.
- Анализ точности и помехоустойчивости (динамические и случайные ошибки).
- Устройства радиоавтоматики.
- Оптимизация структуры и параметров устройств радиоавтоматики.
- Нелинейные системы радиоавтоматики.
- Дополнительные аспекты построения импульсных и дискретных систем.



Тема 1. Описание и анализ линейных непрерывных САР в частотной области

1.1. Функции передачи САР



$$\begin{aligned} a_n \frac{d^n y(t)}{dt^n} + a_{n-1} \frac{d^{n-1} y(t)}{dt^{n-1}} + \dots + a_1 \frac{dy(t)}{dt} + a_0 y(t) = \\ = b_m \frac{d^m g(t)}{dt^m} + b_{m-1} \frac{d^{m-1} g(t)}{dt^{m-1}} + \dots + b_1 \frac{dg(t)}{dt} + b_0 g(t), \end{aligned}$$

$$F(p) = \int_0^{\infty} f(t) e^{-pt} dt = L\{f(t)\},$$



1. Свойство линейности:

$$L\{a_1 f_1(t) + a_2 f_2(t)\} = a_1 L\{f_1(t)\} + a_2 L\{f_2(t)\} = a_1 F_1(p) + a_2 F_2(p),$$

2. Изображение производной от оригинала

$$L\left\{\frac{df(t)}{dt}\right\} = pF(p) - f(t_0),$$

3. Изображение интеграла от оригинала

$$L\left\{\int_{t_0}^t f(t_1)dt_1\right\} = \frac{1}{p} F(p).$$

4. Смещение оригинала во времени

$$L\{f(t - \tau)\} = e^{-p\tau} F(p).$$

5. Предельное значение оригинала

$$\lim_{t \rightarrow \infty} f(t) = \lim_{p \rightarrow 0} pF(p).$$



$$y(p) \cdot (a_n p^n + a_{n-1} p^{n-1} + \dots + a_1 p + a_0) = \\ = g(p) \cdot (b_m p^m + b_{m-1} p^{m-1} + \dots + b_1 p + b_0),$$

$$W(p) = \frac{y(p)}{g(p)} = \frac{b_m p^m + b_{m-1} p^{m-1} + \dots + b_1 p + b_0}{a_n p^n + a_{n-1} p^{n-1} + \dots + a_1 p + a_0} = \frac{C(p)}{D(p)}.$$

Свойства ПФ:

1. $m \leq n$.
2. $W(p)|_{p=0} = \frac{b_0}{a_0} = K$,
3. $W(p) = \frac{b_m(p - q_1) \dots (p - q_m)}{a_n(p - p_1) \dots (p - p_n)}$,



Обобщенная структурная схема:

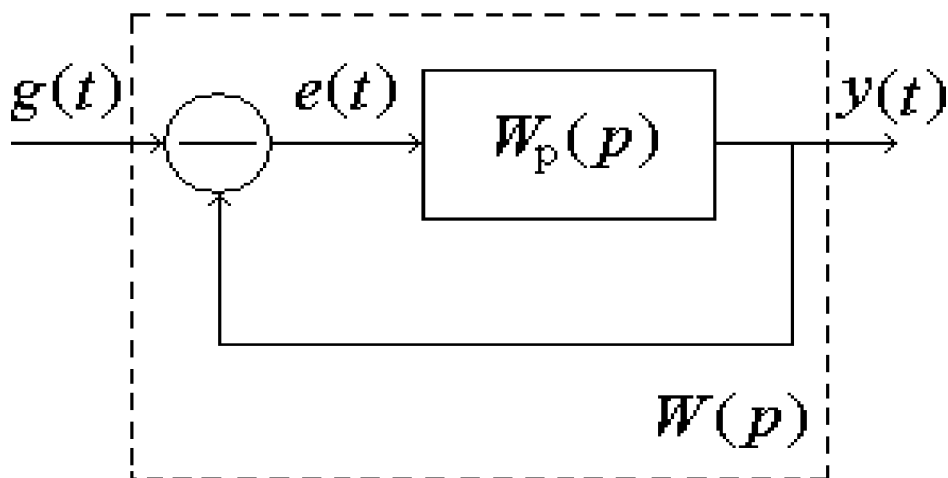
ПФ разомкнутой САР:

$$W_p(p) = \frac{y(p)}{e(p)};$$

ПФ по ошибке:

$$W_e(p) = \frac{e(p)}{g(p)},$$

$$W(p) = \frac{y(p)}{g(p)} = \frac{W_p(p)}{1 + W_p(p)}. \quad W_e(p) =$$



Уравнения САР:

$$\begin{cases} y(p) = e(p)W_p(p), \\ e(p) = g(p) - y(p). \end{cases}$$

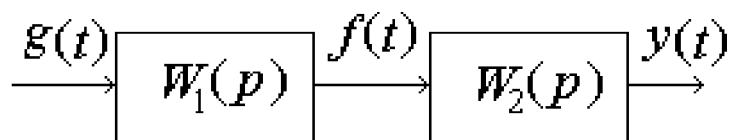


$$1 - W(p), \quad W_e(p) = \frac{1}{1 + W_p(p)}.$$

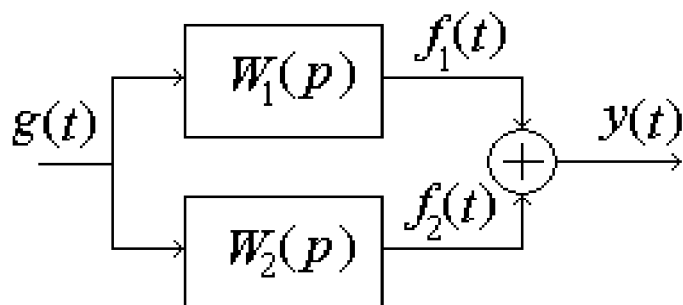
1.2. Соединение звеньев САР

1

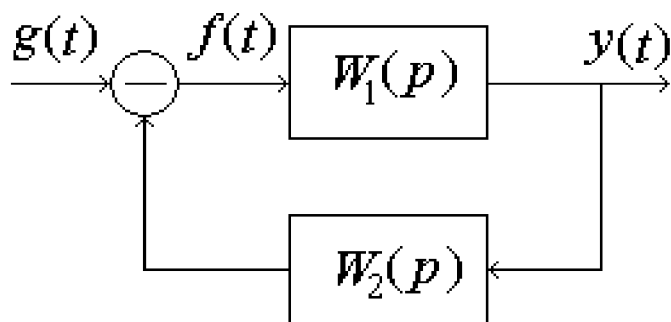
а



б



в



. Последовательное (а)

$$\begin{cases} f(p) = g(p)W_1(p), \\ y(p) = f(p)W_2(p). \end{cases}$$

$$y(p) = g(p)W_1(p)W_2(p).$$

$$W(p) = \frac{y(p)}{g(p)} = W_1(p)W_2(p).$$

2. Параллельное (б)

$$\begin{cases} f_1(p) = g(p)W_1(p), \\ f_2(p) = g(p)W_2(p), \\ y(p) = f_1(p) + f_2(p). \end{cases}$$

$$y(p) = g(p)[W_1(p) + W_2(p)],$$

$$W(p) = \frac{y(p)}{g(p)} = W_1(p) + W_2(p).$$

3. Включение звена в цепи отрицательной обратной связи (в)

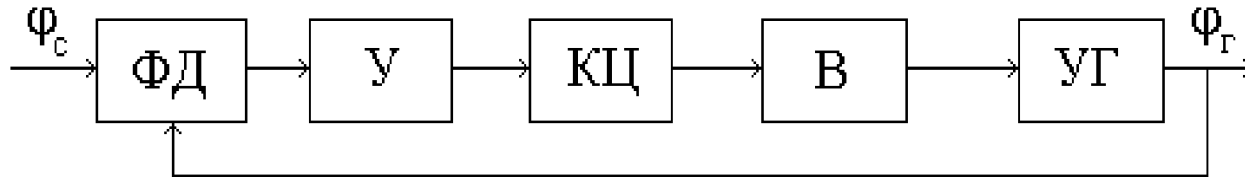
$$\begin{cases} f(p) = g(p) - y(p)W_2(p), \\ y(p) = f(p)W_1(p). \end{cases}$$

$$y(p) = g(p)W_1(p) - y(p)W_1(p)W_2(p),$$

$$W(p) = \frac{y(p)}{g(p)} = \frac{W_1(p)}{1 + W_1(p)W_2(p)}.$$



1.3. Определение (идентификация) ПФ звена САР



$$W_{\Phi Д}(p) = K_{\Phi Д}.$$

$$W_U(p) = K_U,$$

$$W_B(p) = K_B,$$

$$W_{УГ}(p) = \frac{K_{УГ}}{p},$$

$$W_p(p) = \frac{K_v}{p} W_{КЦ}(p),$$

$$K_v = K_{\Phi Д} K_U K_B K_{УГ} \text{ (размерность с-1)}.$$



Практическое занятие

Основы автоматики и САУ
(Радиоавтоматика)

Логарифмические характеристики (ЛХ)

Частотная передаточная функция системы получается из передаточной функции $W(p)$ заменой $p=j\omega$:

$$W(j\omega) = W(p) \Big|_{p=j\omega}.$$

Являясь функцией комплексной переменной, $W(j\omega)$ представима в алгебраической и показательной формах:

$$W(j\omega) = P(\omega) + jQ(\omega) = |W(j\omega)| e^{j\varphi(\omega)}.$$

Связь между 2-мя формами представления $W(j\omega)$ устанавливают следующие соотношения:

$$|W(j\omega)| = \sqrt{P^2(\omega) + Q^2(\omega)},$$

$$\varphi(\omega) = \operatorname{arctg} \frac{Q(\omega)}{P(\omega)},$$

$$P(\omega) = |W(j\omega)| \cos \varphi(\omega),$$

$$Q(\omega) = |W(j\omega)| \sin \varphi(\omega).$$



Правила построения ЛАХ (логарифмической АЧХ):

- 1) по оси абсцисс откладывается частота ω в логарифмическом масштабе; в качестве основания логарифма используют 2 (октавное разбиение оси частот) для узкополосных систем и 10 (декадное разбиение оси частот) – для широкополосных; поскольку большинство систем радиоавтоматики относится к узкополосным системам, рекомендуется **октавное**, а не декадное разбиение оси частот;
- 2) по оси ординат откладываются значения модуля ПФ разомкнутой системы в децибелах;
- 3) ось абсцисс (ось частот) обязательно пересекает ось ординат в точке 0 дБ; ось ординат может пересекать ось частот в любой точке, но, удобнее, выбирать точку $\omega=1$.

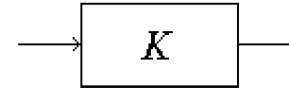
Правила построения ЛФХ (логарифмической ФЧХ):

- 1) масштаб оси частот тот же, что и при построении ЛАХ;
- 2) по оси ординат откладываются значения фазы $\varphi(\omega)$ ПФ разомкнутой системы в градусах или радианах;
- 3) ЛФХ желательно располагать строго под ЛАХ (для удобной совместной работы с 2-мя графиками).



Типовые элементарные звенья

1. Усилительное звено

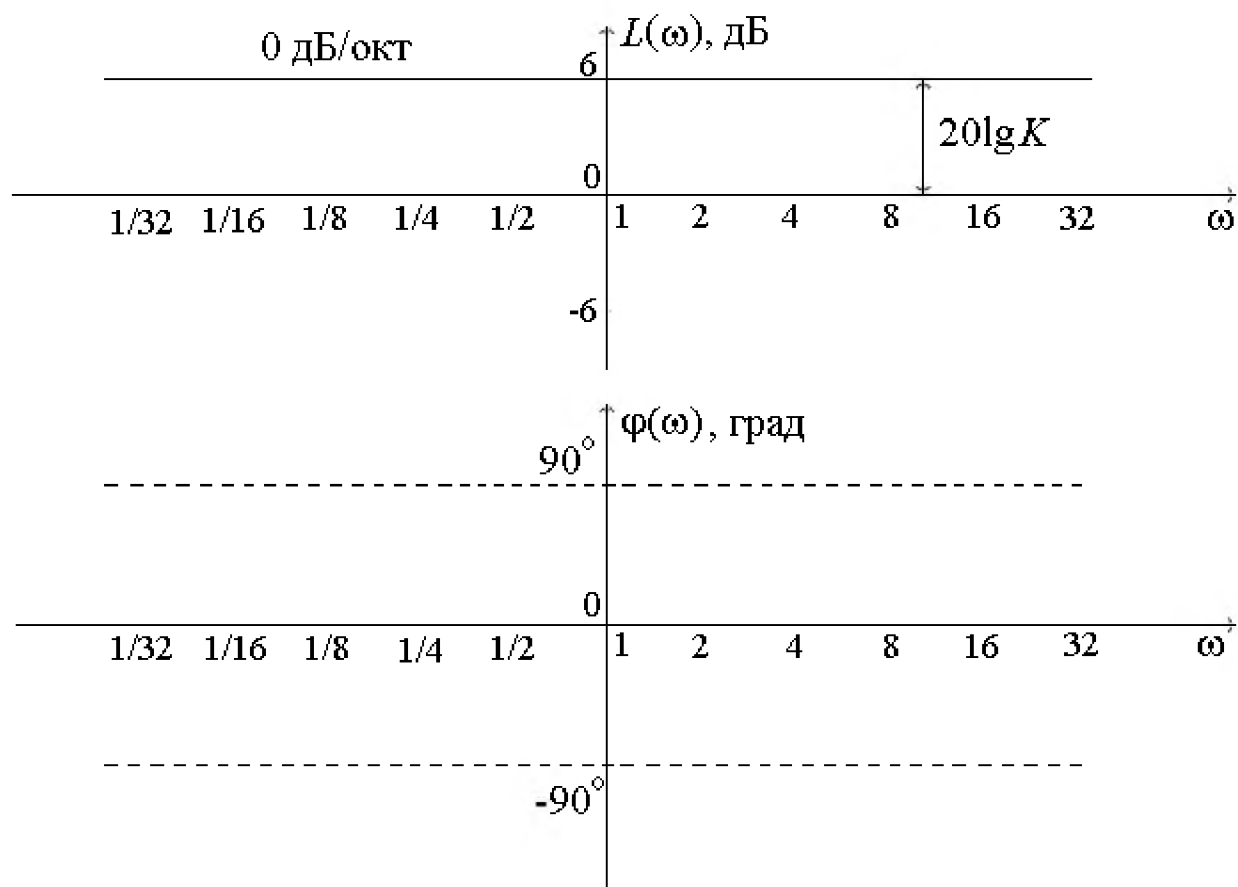


ПФ и частотные характеристики усилительного звена:

$$W_p(j\omega)=K; \quad P(\omega)=K; \quad Q(\omega)=0; \quad \varphi(\omega)=0.$$

$$L(\omega)=20\lg K. \quad K \approx \begin{cases} 2^x \rightarrow L=20\lg K \approx x*6 \text{ дБ}, \\ 10^y \rightarrow L \approx y*20 \text{ дБ}. \end{cases}$$

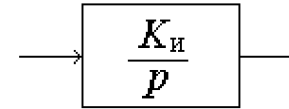




ЛХ усилительного звена



2. Интегрирующее звено



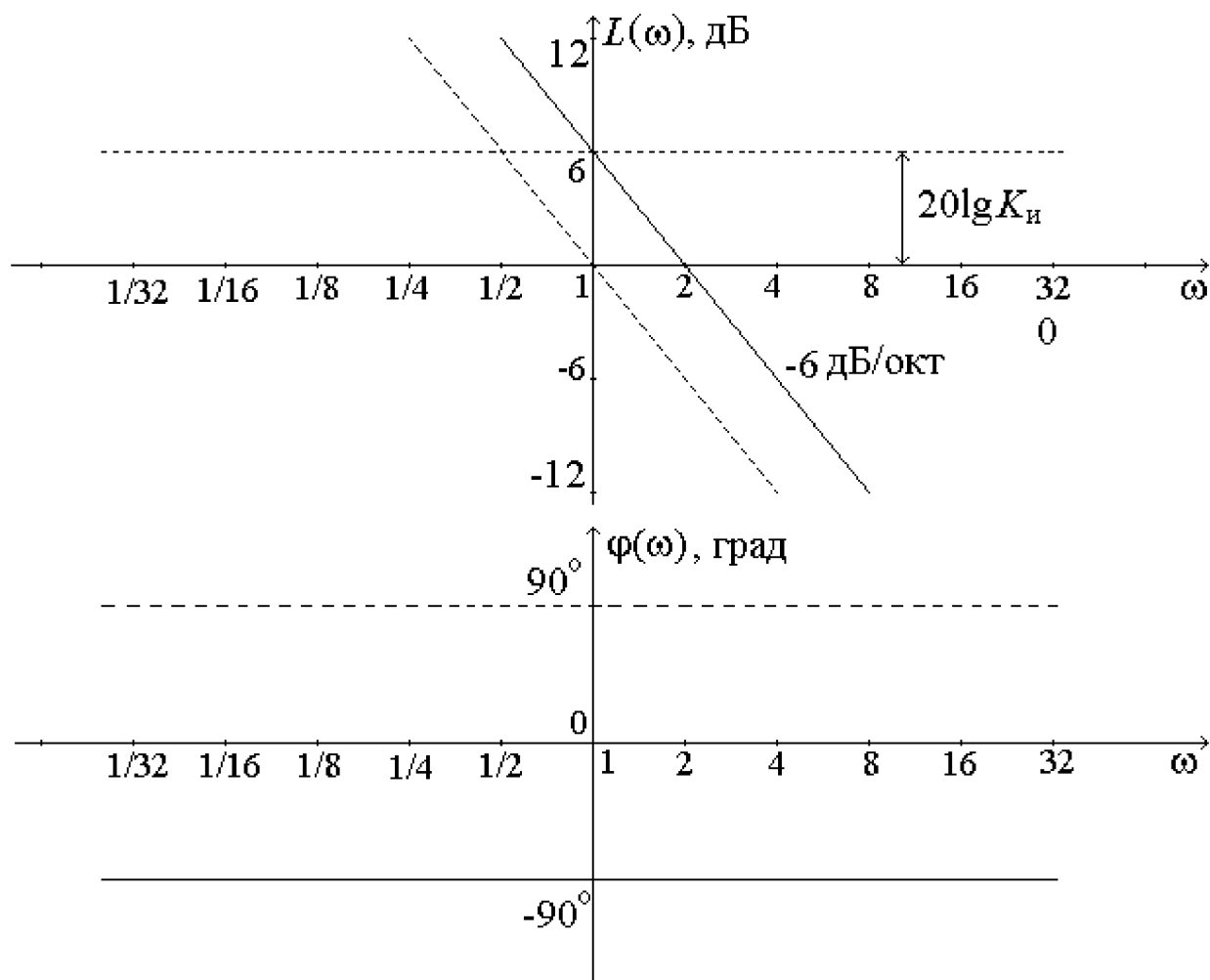
ПФ и частотные характеристики интегрирующего звена:

$$W_{\text{p}}(j\omega) = \frac{K_{\text{И}}}{p}; \quad P(\omega) = 0; \quad Q(\omega) = -\frac{K_{\text{И}}}{\omega};$$

$$\varphi(\omega) = -90. \quad \left| W_{\text{p}}(j\omega) \right| = \frac{K_{\text{И}}}{\omega};$$

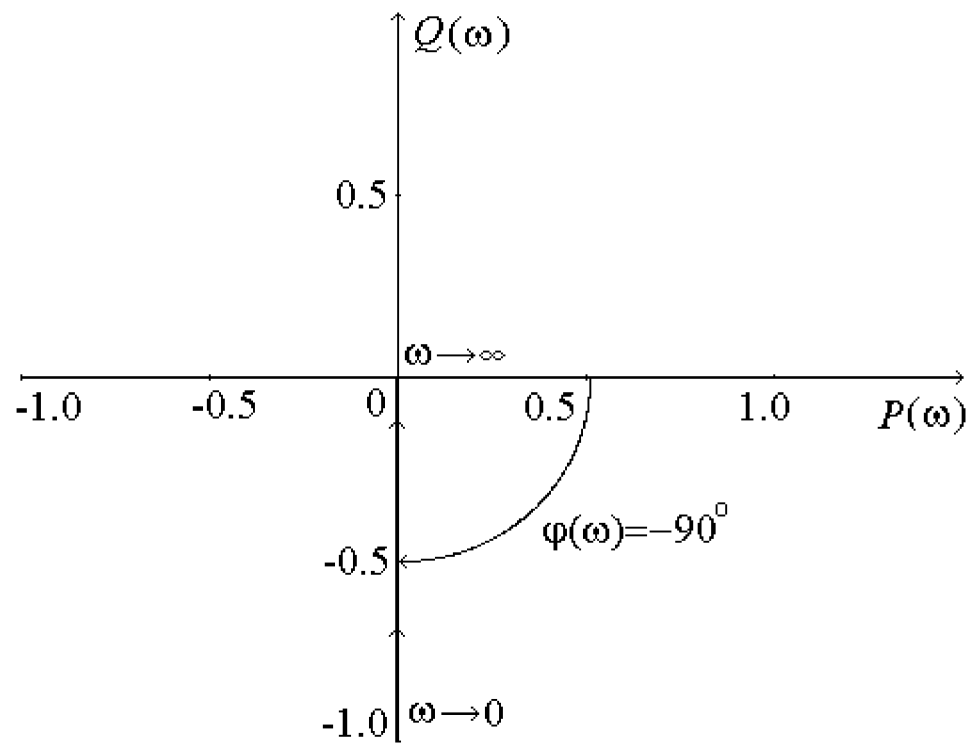
$$L(\omega) = 20 \lg \frac{K_{\text{И}}}{\omega} = 20 \lg K_{\text{И}} - 20 \lg \omega.$$





ЛХ интегрирующего звена

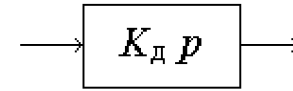




АФХ интегрирующего звена



3. Дифференцирующее звено

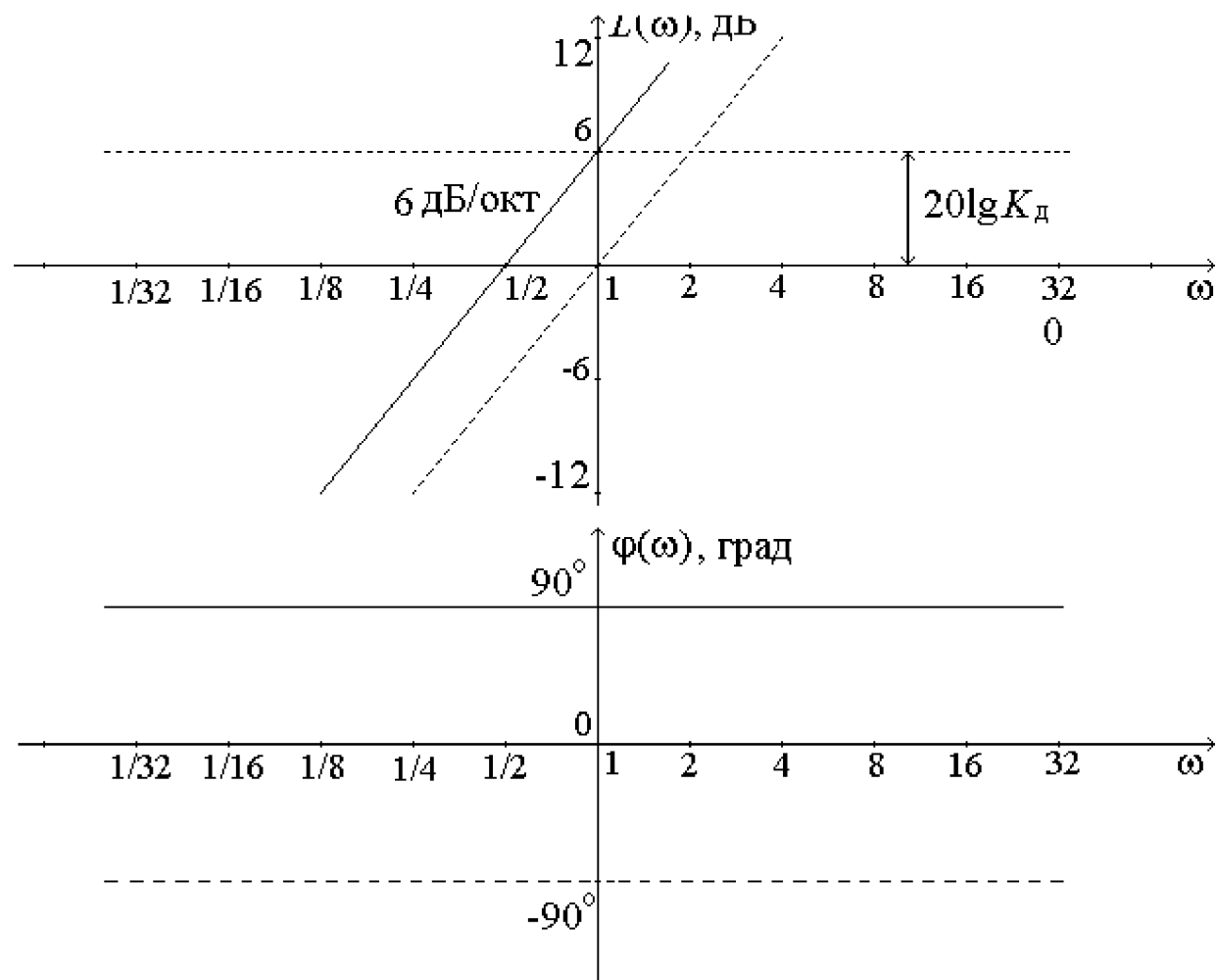


ПФ и частотные характеристики дифференцирующего звена:

$$W_p(j\omega) = K_d j\omega; \quad P(\omega) = 0; \quad Q(\omega) = K_d \omega; \quad \varphi(\omega) = 90.$$

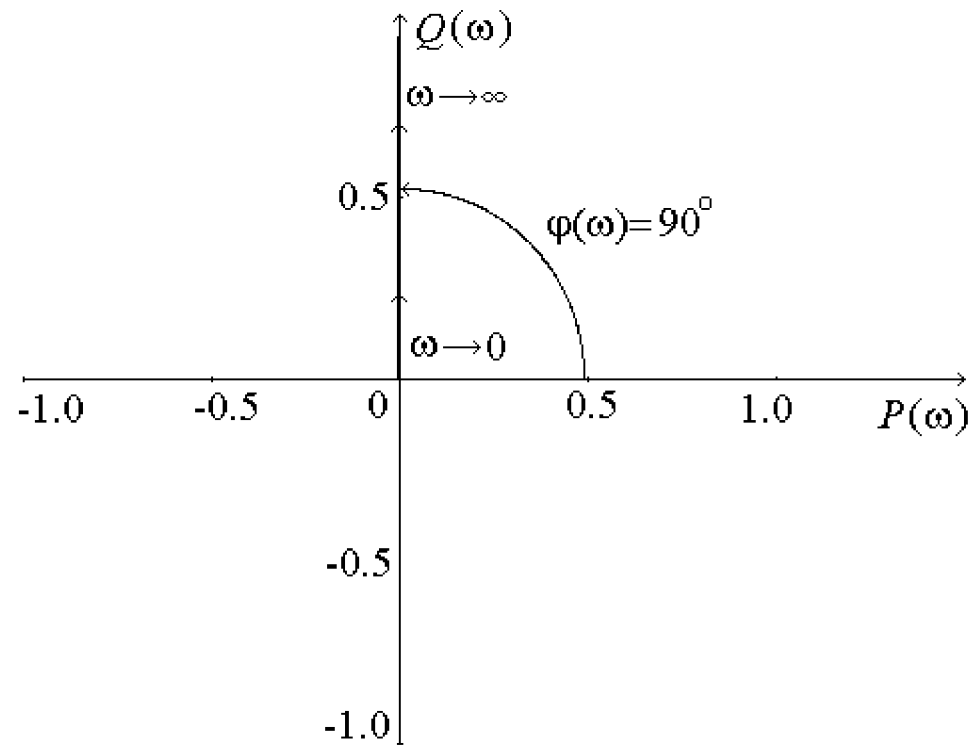
$$L(\omega) = 20 \lg K_d \omega = 20 \lg K_d + 20 \lg \omega$$





ЛХ дифференцирующего звена

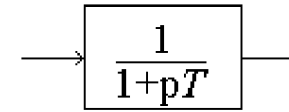




АФХ дифференцирующего звена



4. Аперриодическое звено




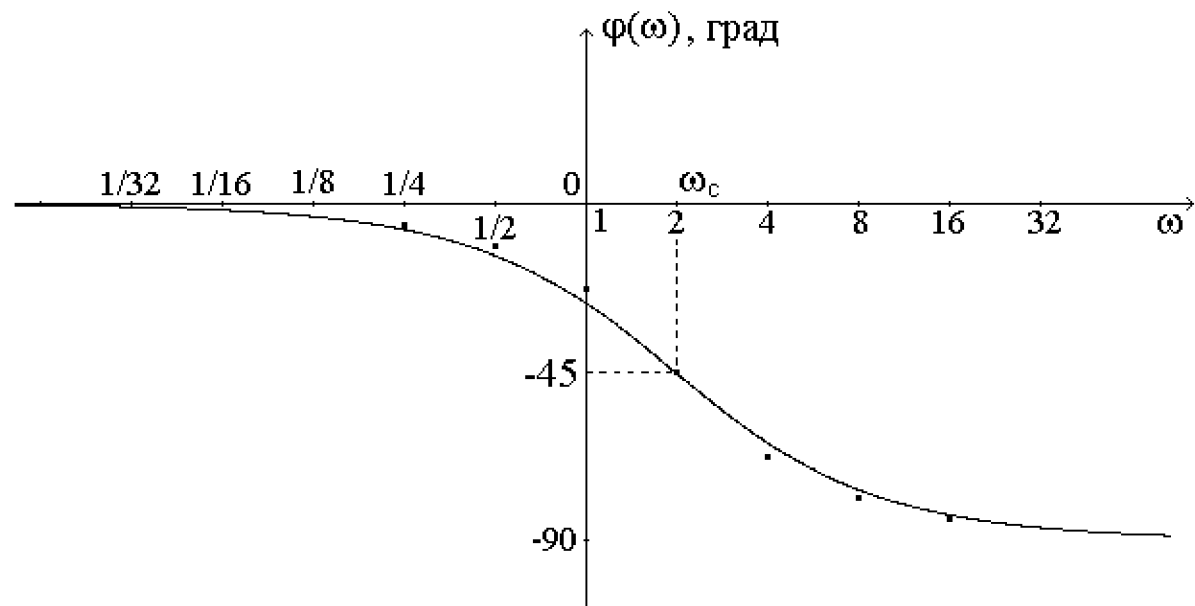
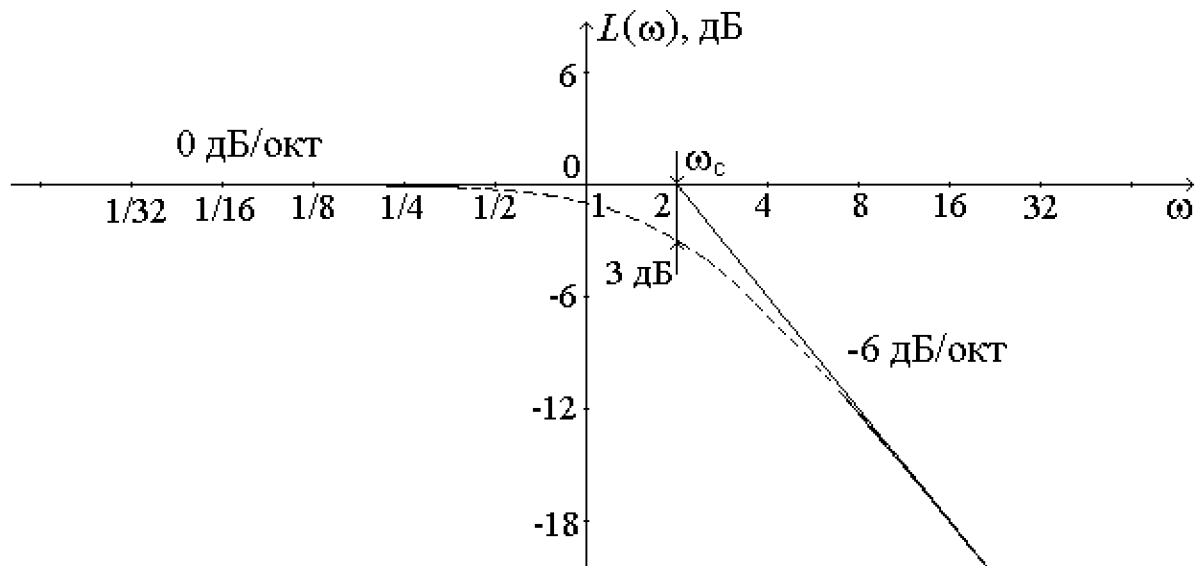
ПФ и частотные характеристики аперриодического звена:

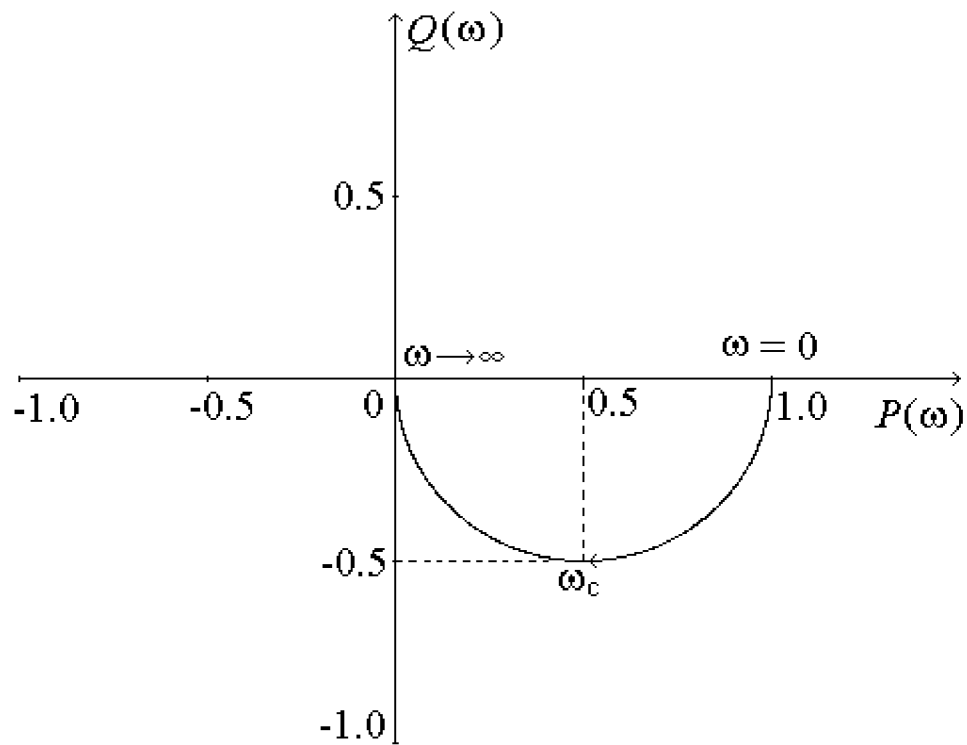
$$W_p(j\omega) = \frac{1}{1+j\omega T}; \quad P(\omega) = \frac{1}{1+\omega^2 T^2}; \quad Q(\omega) = \frac{-\omega T}{1+\omega^2 T^2};$$

$$|W_p(j\omega)| = \frac{1}{\sqrt{1+\omega^2 T^2}}; \quad \varphi(\omega) = -\arctg(\omega T).$$

$$L(\omega) = -20 \lg \sqrt{1+\omega^2 T^2}.$$

$$L(\omega) \approx \begin{cases} 0, & \omega \ll \omega_c, \\ -20 \lg \omega - 20 \lg T, & \omega \gg \omega_c. \end{cases}$$


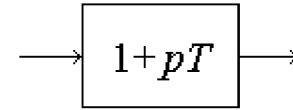




АФХ апериодического звена



5. Форсирующее звено

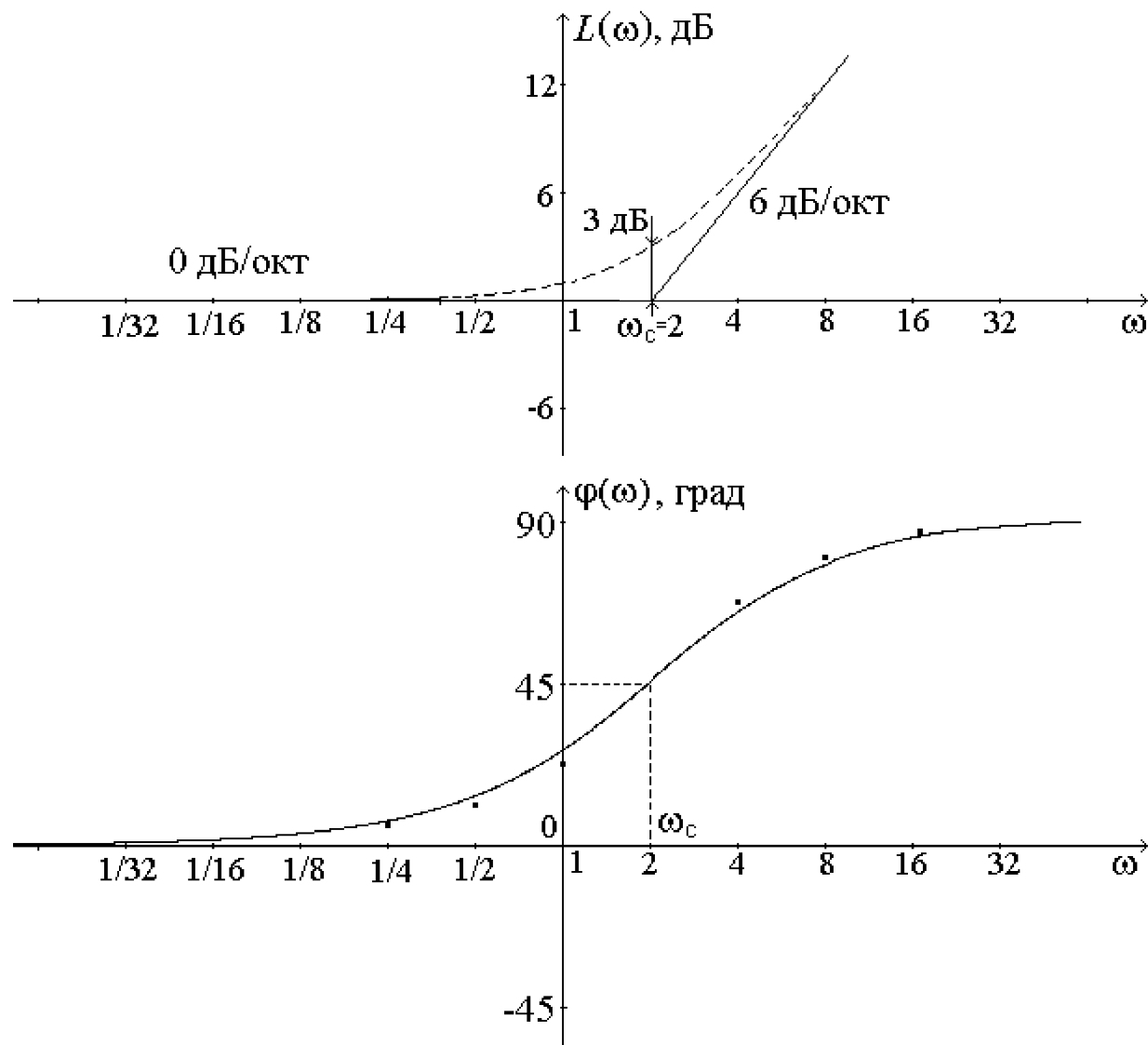


ПФ и частотные характеристики форсирующего звена:

$$W_p(j\omega) = 1 + j\omega T; \quad P(\omega) = 1; \quad Q(\omega) = \omega T;$$

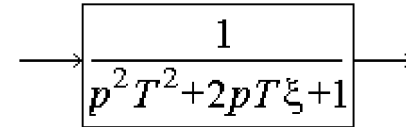
$$|W_p(j\omega)| = \sqrt{1 + \omega^2 T^2}; \quad \varphi(\omega) = \operatorname{arctg}(\omega T).$$





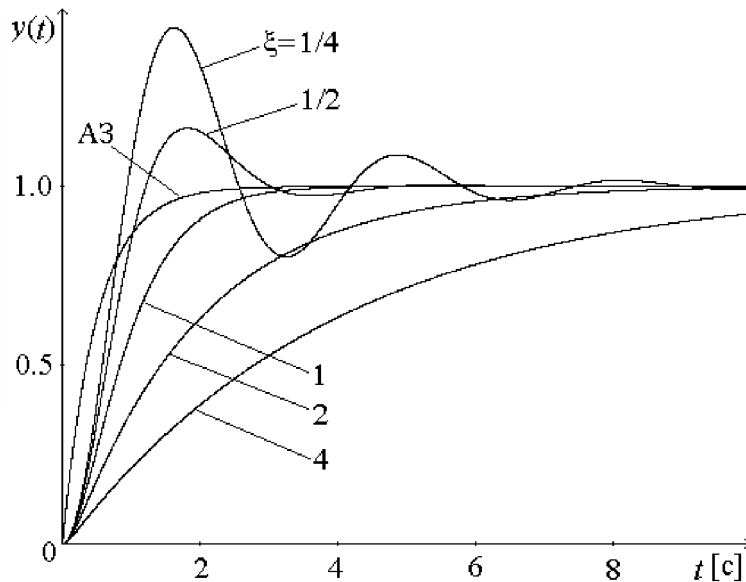
ЛХ форсирующего звена

6. Колебательное звено



$$W_p(j\omega) = \frac{1}{(j\omega)^2 T^2 + 2j\omega T \xi + 1}$$

T – постоянная времени,
 $\omega_0 = 1/T$ – частота собственных колебаний звена,
 ξ – коэффициент затухания.



Переходные процессы в колебательном звене ($T=0,5$ с)



Пример построения ЛХ

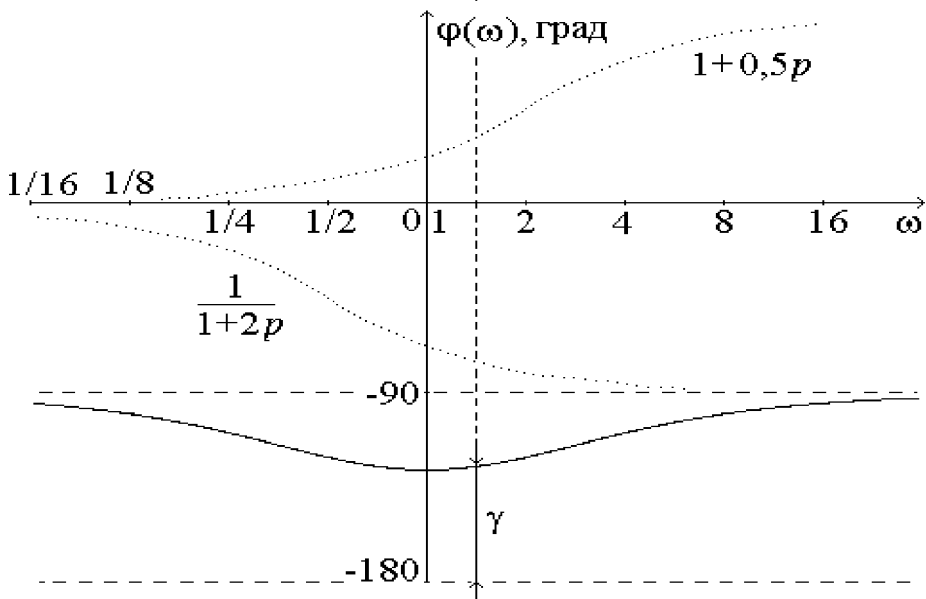
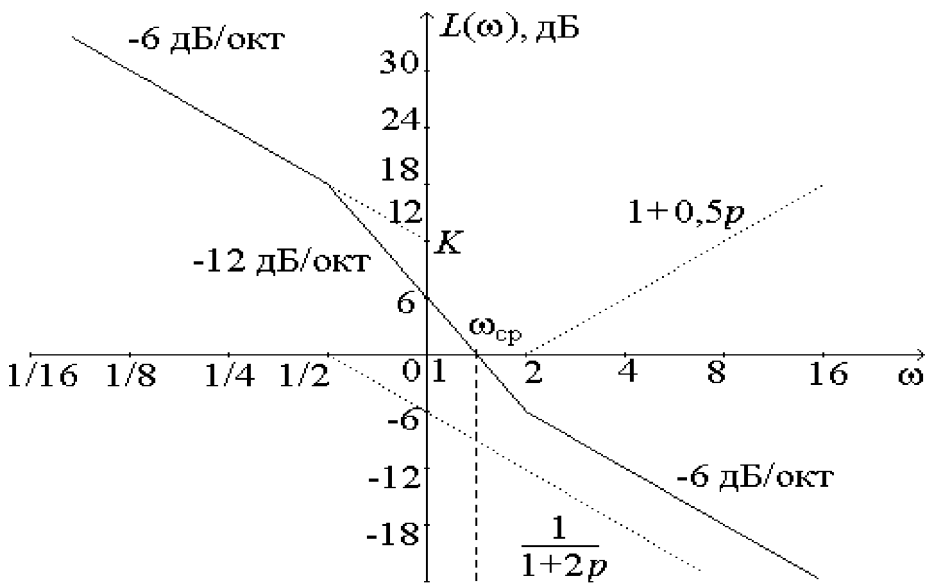
$$W_p(p) = \frac{4(1+0,5p)}{p(1+2p)}.$$

Коэффициент усиления переводим в дБ:

$$4 \rightarrow 20\lg 4 = 20\lg 2^2 \approx 2 \cdot 6 = 12 \text{ дБ}$$

Определяем частоты сопряжения апериодического ($\omega_{с1}=0,5$) и форсирующего ($\omega_{с2}=2$) звеньев





$$W_p(p) = \frac{4(1 + 0,5p)}{p(1 + 2p)}.$$

Характерные точки ЛХ:

- коэффициент усиления K ,
- частота среза $\omega_{ср}$,
- запас устойчивости по фазе γ .



Определение показателей качества по ЛХ

1. Устойчивость

$$\gamma = 180 - |\varphi(\omega_{\text{ср}})| > 0.$$

2. Качество переходных процессов (степень колебательности, величина перерегулирования, время нарастания)

а) степень колебательности:

-монотонные (апериодические) или близкие к ним,

$$\gamma > 60^\circ$$

-слабоколебательные,

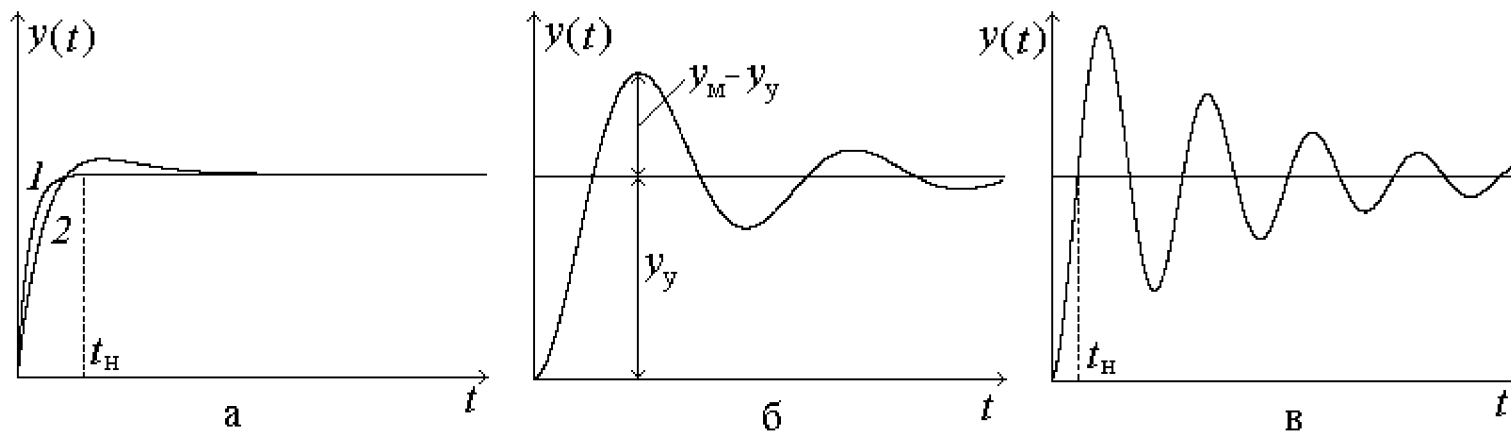
$$30^\circ \leq \gamma \leq 60^\circ$$

-сильноколебательные переходные процессы.

$$\gamma < 30^\circ$$



Классификация переходных процессов:



б) величина перерегулирования

$$\sigma_{\Pi} = \frac{y_M - y_y}{y_y} \cdot 100\%.$$

$$\hat{\sigma}_{\Pi} = \begin{cases} 73 - \gamma, & \gamma \leq 73^\circ, \\ 0, & \gamma > 73^\circ. \end{cases}$$

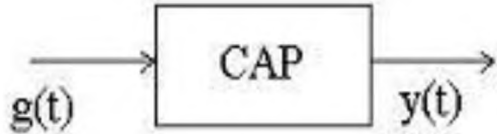
в) время нарастания переходного процесса

$$\hat{t}_H \approx \frac{\pi}{\omega_{\text{ср}}}.$$



3. Описание и анализ САР во временной области

3.1. Метод пространства состояний



$$y_1(t) = y(t),$$

$$y_2(t) = \frac{dy_1(t)}{dt} = \frac{dy(t)}{dt},$$

$$y_3(t) = \frac{dy_2(t)}{dt} = \frac{d^2 y(t)}{dt^2},$$

...

$$y_n(t) = \frac{dy_{n-1}(t)}{dt} = \frac{d^{n-1} y(t)}{dt^{n-1}}.$$

$$\frac{d^n y(t)}{dt^n} + a_{n-1} \frac{d^{n-1} y(t)}{dt^{n-1}} + \dots + a_1 \frac{dy(t)}{dt} + a_0 y(t) = b_0 g(t),$$

$$y(t_0), \quad \left. \frac{dy(t)}{dt} \right|_{t=t_0}, \quad \dots, \quad \left. \frac{d^{n-1} y(t)}{dt^{n-1}} \right|_{t=t_0}$$



$$\frac{dy_n(t)}{dt} = -a_0 y_1(t) - a_1 y_2(t) - a_2 y_3(t) - \dots - a_{n-1} y_n(t) + b_0 g(t).$$

$$\frac{dY(t)}{dt} = FY(t) + Kg(t), \quad Y(t_0),$$

$$Y(t)=[y_1(t) \ y_2(t) \ \dots \ y_n(t)]^T$$

$$F = \begin{bmatrix} 0 & 1 & 0 & \dots & 0 \\ 0 & 0 & 1 & \dots & 0 \\ \dots & \dots & \dots & \dots & \dots \\ -a_0 & -a_1 & -a_2 & \dots & -a_{n-1} \end{bmatrix}$$

$$y(t) = HY(t). \qquad H =$$

$$K = \begin{bmatrix} 0 \\ 0 \\ \dots \\ b_0 \end{bmatrix}.$$

$$= [1 \quad 0 \quad \dots \quad 0].$$



3.2. Описание САР в пространстве состояний по передаточной функции

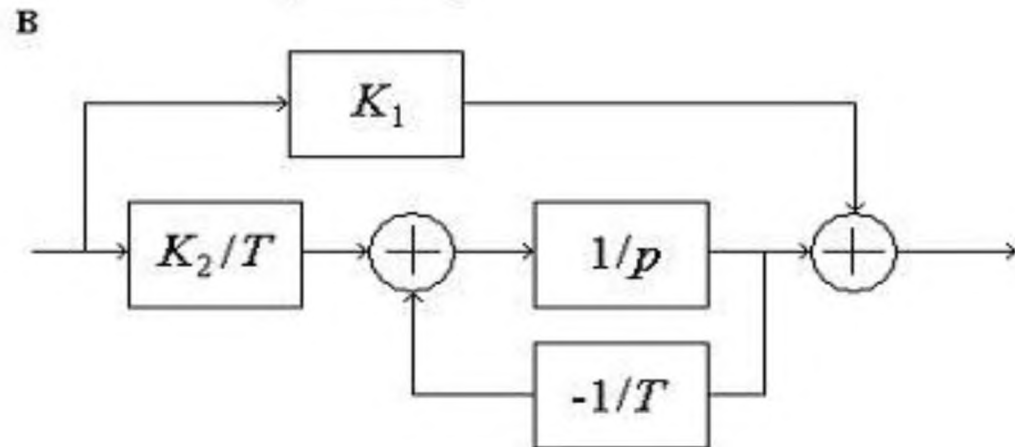
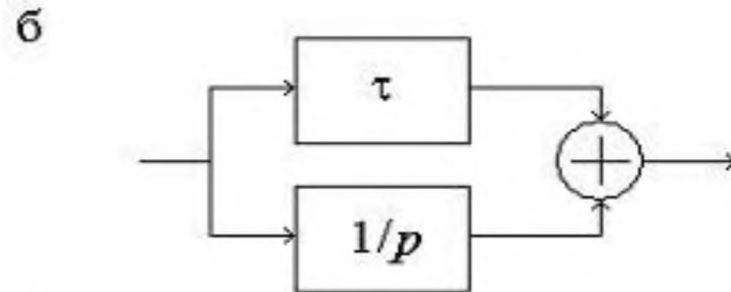
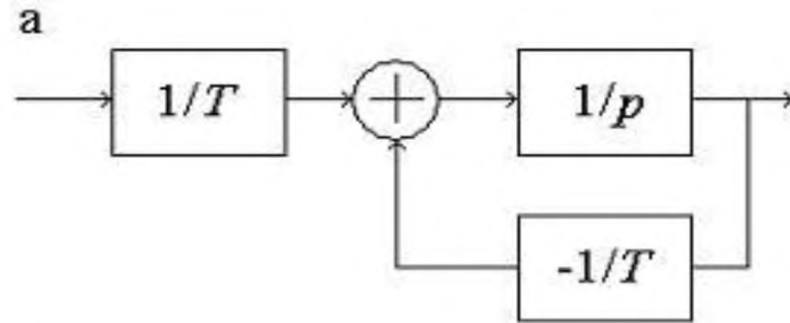
Составляем структурную схему, содержащую только интегрирующие и усилительные звенья.

Эквивалентные структурные преобразования:

а) $\frac{1}{1+pT}$

б) $\frac{1+p\tau}{p}$

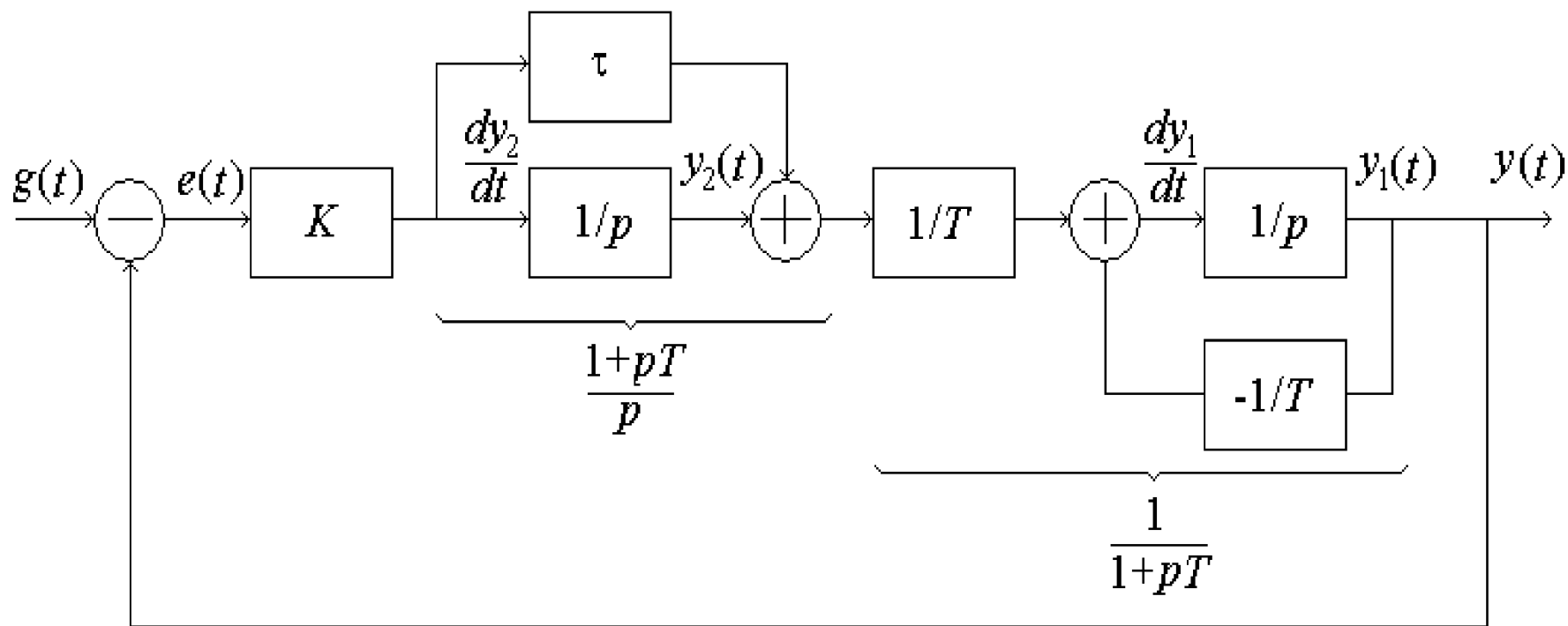
в) $\frac{1+p\tau}{1+pT}$



Пример:



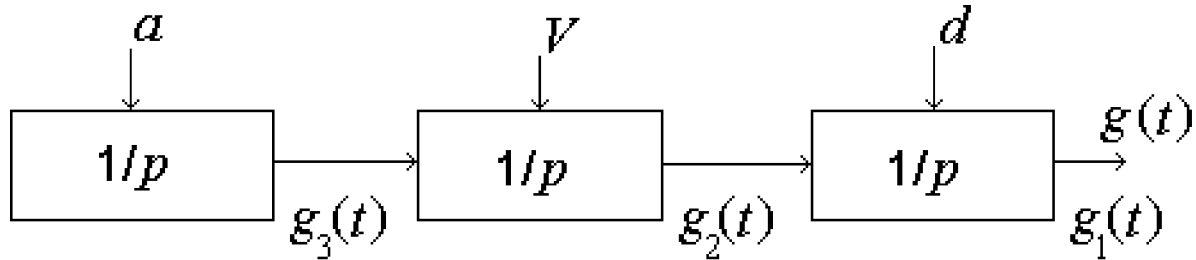
$$W_p(p) = \frac{K(1 + p\tau)}{p(1 + pT)}$$



$$\begin{bmatrix} \frac{dy_1(t)}{dt} \\ \frac{dy_2(t)}{dt} \end{bmatrix} = \begin{bmatrix} -\frac{1}{T} - \frac{K\tau}{T} & \frac{1}{T} \\ -K & 0 \end{bmatrix} \cdot \begin{bmatrix} y_1(t) \\ y_2(t) \end{bmatrix} + \begin{bmatrix} \frac{K\tau}{T} \\ K \end{bmatrix} g(t). \quad y(t) = \begin{bmatrix} 1 & 0 \end{bmatrix} \begin{bmatrix} y_1(t) \\ y_2(t) \end{bmatrix}.$$

3.2. Формирующий фильтр

а) регулярные воздействия

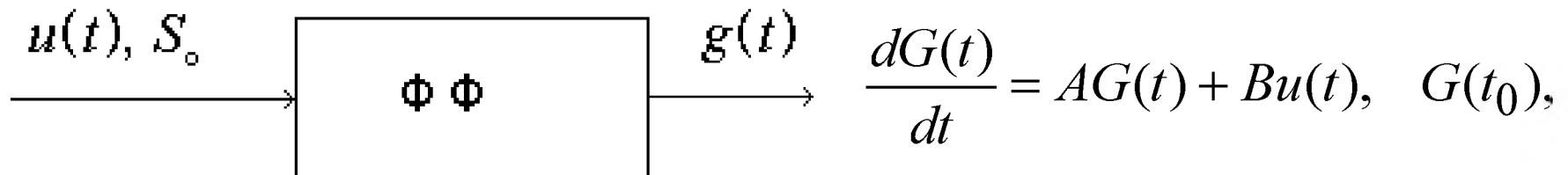


$$\frac{dG(t)}{dt} = AG(t) \quad G(t_0) \quad g(t) = HG(t)$$

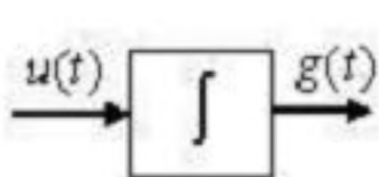
$$G(t) = [g_1(t) \ g_2(t) \ g_3(t)]^T \quad A = \begin{bmatrix} 0 & 1 & 0 \\ 0 & 0 & 1 \\ 0 & 0 & 0 \end{bmatrix} \quad H = [1 \ 0 \ 0]$$



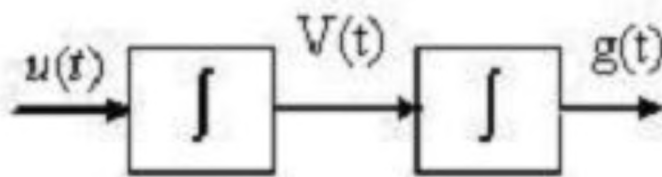
б) случайные воздействия



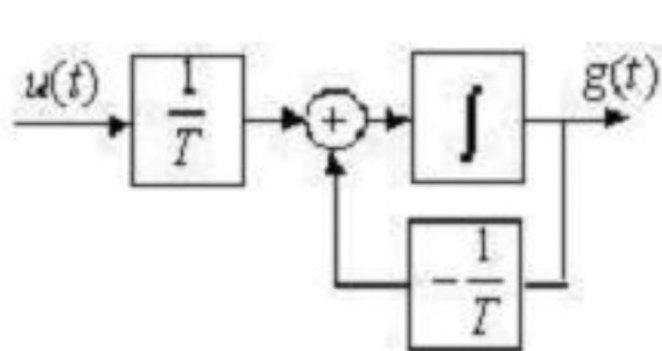
Типовые случайные воздействия



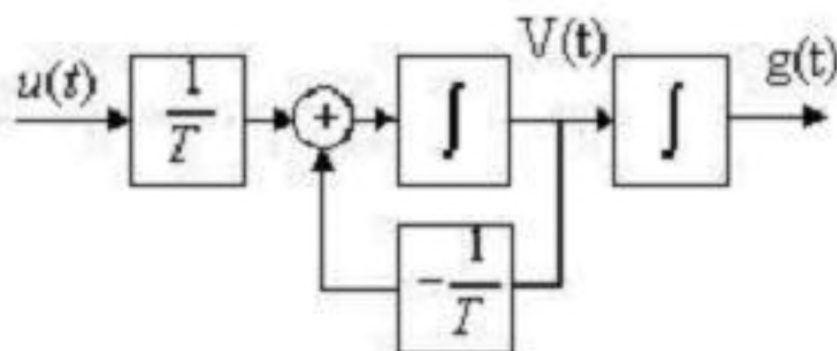
а



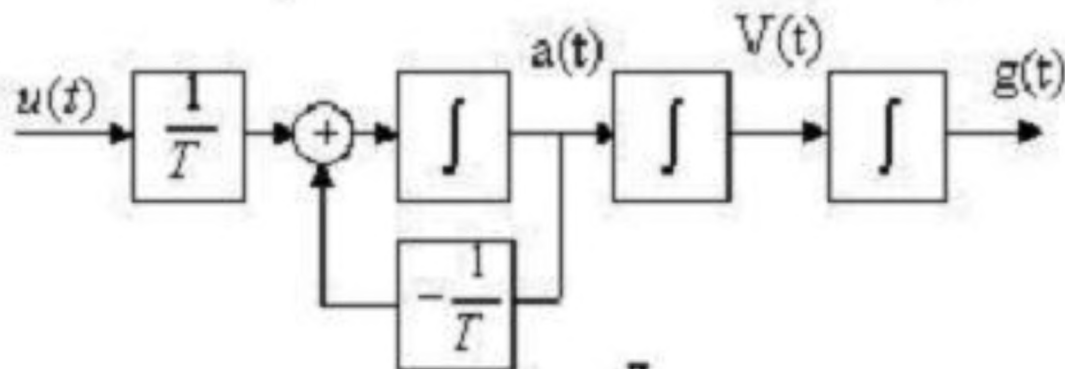
б



в



г



д



3.3. Задача идеального наблюдателя

$$\begin{aligned} \frac{dG(t)}{dt} &= AG(t), \quad G(t_0) \neq 0, \\ g(t) &= HG(t), \end{aligned} \quad G(t) = \begin{bmatrix} g(t) & \frac{dg(t)}{dt} & \dots & \frac{d^{n-1}g(t)}{dt^{n-1}} \end{bmatrix}^T$$

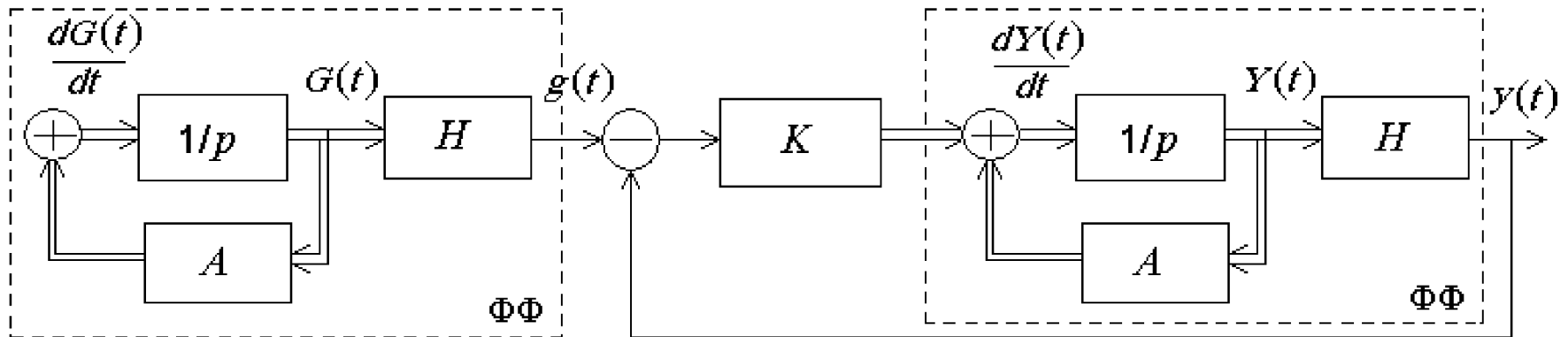
$$\begin{aligned} \frac{dY(t)}{dt} &= FY(t) + Kg(t), \quad Y(t_0), \\ y(t) &= HY(t), \end{aligned} \quad \begin{cases} G(t) - Y(t) = 0, \\ \frac{dG(t)}{dt} - \frac{dY(t)}{dt} = 0, \end{cases}$$

$$\begin{aligned} \frac{dG(t)}{dt} - \frac{dY(t)}{dt} &= 0 = AG(t) - FY(t) - Kg(t) = AG(t) - FY(t) - KHG(t) = \\ &= (A - KH)G(t) - FY(t). \end{aligned}$$

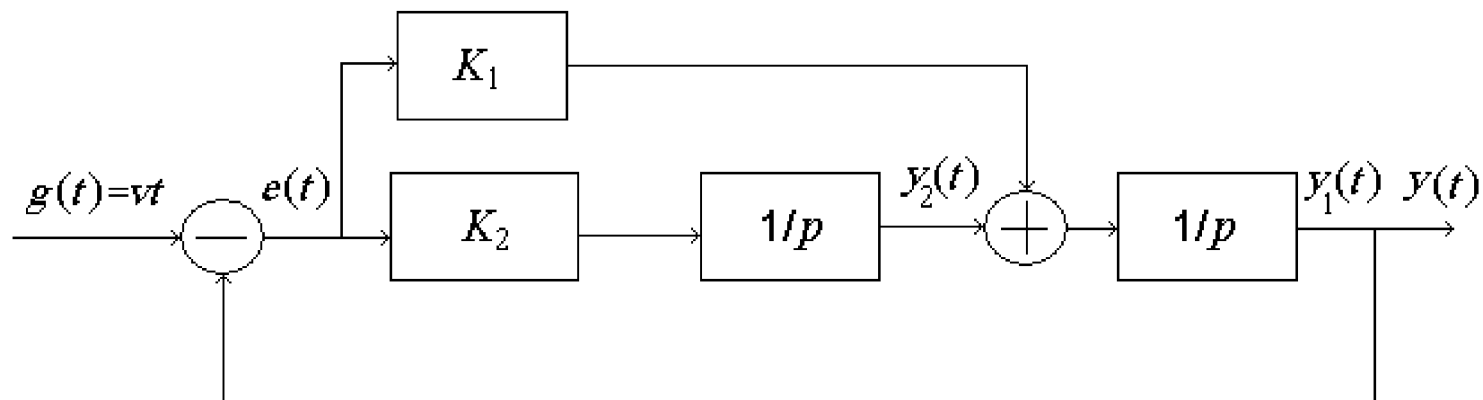
$$\frac{dY(t)}{dt} = (A - KH)Y(t) - Kg(t) = AY(t) + K \{g(t) - HY(t)\}.$$



Структурная схема формирующего фильтра и согласованной с ним САР:



Структура САР, безошибочно воспроизводящей линейное воздействие (в формирующем фильтре 2 интегратора):



3.4. Решение ВДУ путем перехода от непрерывного к дискретному времени

$$\frac{dY(t)}{dt} = FY(t) + Kg(t), \quad Y(t_0),$$

$$y(t) = HY(t).$$

$$pY(p) - Y(t_0) = FY(p) + Kg(p),$$

$$Y(p) = (pI - F)^{-1}Y(t_0) + (pI - F)^{-1}Kg(p)$$

$$Y(t) = L^{-1}\{(pI - F)^{-1}\}Y(t_0) + L^{-1}\{(pI - F)^{-1}Kg(p)\}.$$

$$\Phi(t, t_0) = L^{-1}\{(pI - F)^{-1}\}$$

$$Y(t) = \Phi(t, t_0)Y(t_0) + \int_{t_0}^t \Phi(t, \eta)Kg(\eta)d\eta.$$



1. Переходная матрица

$$\Phi(t, t_0) = e^{F(t-t_0)} \approx I + F(t-t_0) + F^2 \frac{(t-t_0)^2}{2} + \dots + F^l \frac{(t-t_0)^l}{l!} + \dots$$

$$\Phi(t, t_0) \Big|_{t=t_0} = e^{F(t-t_0)} \Big|_{t=t_0} = I$$

$$\frac{d\Phi(t, t_0)}{dt} = \frac{d}{dt} e^{F(t-t_0)} = F e^{F(t-t_0)} = F \Phi(t, t_0).$$

2. Формальная связь ПФ и ПС (кроме структурной схемы)

$$y(p) = HY(p) = H(pI - F)^{-1} Kg(p).$$

$$W(p) = \frac{y(p)}{g(p)} = H(pI - F)^{-1} K.$$



Задача: получить разностное уравнение в рекуррентной форме для анализа и нахождения дискретного эквивалента (реализация)

$$g(\eta) \approx g(t_i), \quad t_i \leq \eta < t_{i+1},$$

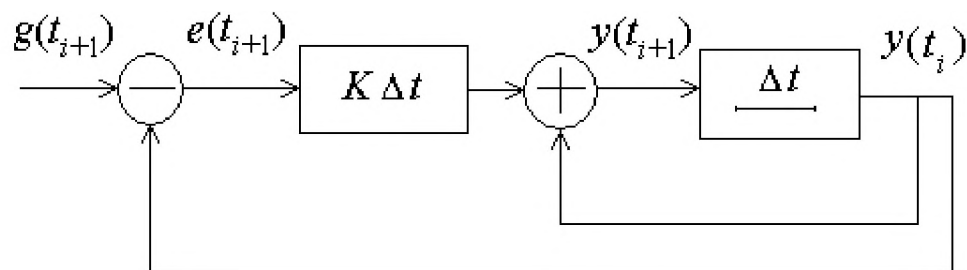
$$\begin{aligned} Y(t_{i+1}) &= (I + F\Delta t)Y(t_i) + \int_{t_i}^{t_{i+1}} [I + F(t_{i+1} - \eta)]Kg(\eta)d\eta = \\ &= Y(t_i) + \Delta t[FY(t_i) + Kg(t_i)], \quad Y(t_0), \quad i = 0, 1, 2, \dots \end{aligned}$$

$$\Delta t \ll t_H \approx \frac{\pi}{\omega_{cp}} = \frac{\pi}{2\pi f_{cp}} = \frac{1}{2f_{cp}} \approx \frac{1}{2f_B}$$

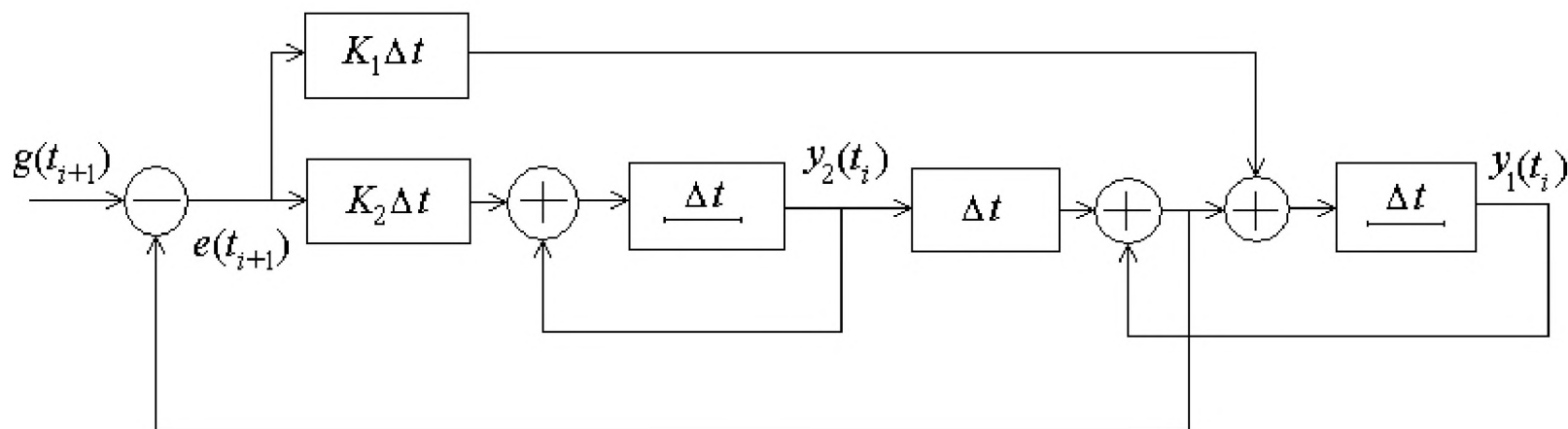


$$Y(t_{i+1}) = (I + A\Delta t)Y(t_i) + K\Delta t[g(t_{i+1}) - HY(t_i)], \quad Y(t_0), \quad i = 0, 1, 2, \dots$$

Примеры дискретных САР с одним и двумя интеграторами



a



б



4. Устойчивость линейных систем

4.1. Определение и условия устойчивости линейных систем

Определение: линейная система называется *устойчивой*, если при отсутствии воздействия ($g(t)=0$) и любом начальном условии $Y(t_0)$ состояние системы $Y(t)$ стремится к нулю при $t \rightarrow \infty$

$$\frac{dy(t)}{dt} + a_0 y(t) = 0, \quad y(t_0). \quad y(t) = e^{-a_0(t-t_0)} y(t_0).$$

$$\frac{dY(t)}{dt} = FY(t), \quad Y(t_0). \quad F = \begin{bmatrix} f_{11} & f_{12} \\ f_{21} & f_{22} \end{bmatrix}$$

$$\frac{d\Lambda Y_0(t)}{dt} = F\Lambda Y_0(t), \quad \frac{dY_0(t)}{dt} = (\Lambda^{-1}F\Lambda)Y_0(t), \quad Y_0(t_0) = \Lambda^{-1}Y(t_0).$$

$$Y_0(t) = e^{(\Lambda^{-1}F\Lambda)t} Y_0(0).$$



$$(\Lambda^{-1}F\Lambda) = \begin{bmatrix} \lambda_1 & 0 & 0 & \dots & 0 \\ 0 & \lambda_2 & 0 & \dots & 0 \\ \cdot & \cdot & \cdot & \dots & \cdot \\ 0 & 0 & 0 & \dots & \lambda_n \end{bmatrix}.$$

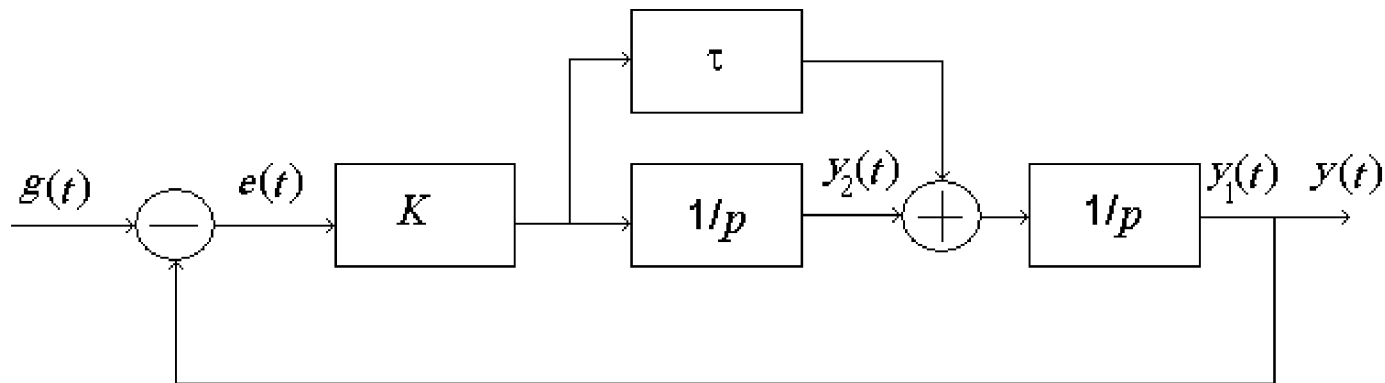
$$Y_0(t) = \Phi_0(t, 0)Y_0(0) = \begin{bmatrix} e^{\lambda_1 t} y_{01}(0) \\ e^{\lambda_2 t} y_{02}(0) \\ \dots \\ e^{\lambda_n t} y_{0n}(0) \end{bmatrix}, \quad Y_0(0) = \begin{bmatrix} y_{01}(0) \\ y_{02}(0) \\ \dots \\ y_{0n}(0) \end{bmatrix}.$$

$$\det(\lambda I - F) = \lambda^n + a_{n-1}\lambda^{n-1} + \dots + a_1\lambda + a_0 = 0.$$



$$W(p) = \frac{y(p)}{g(p)} = \frac{b_m(p - q_1) \dots (p - q_m)}{a_n(p - p_1) \dots (p - p_n)} = H(pI - F)^{-1} K$$

$$(pI - F)^{-1} = \frac{1}{\det(pI - F)} (pI - F)^*,$$



$$\lambda I - F = \begin{bmatrix} \lambda + K\tau & -1 \\ K & \lambda \end{bmatrix} \quad \det(\lambda I - F) = \lambda^2 + K\tau\lambda + K = 0.$$

$$\lambda_{1,2} = -\frac{K\tau}{2} \pm \sqrt{\frac{K^2\tau^2}{4} - K}.$$



4.2. Критерии устойчивости

1. Необходимое условие устойчивости

$$a_n p^n + a_{n-1} p^{n-1} + \dots + a_1 p + a_0 = 0.$$

$$a_n (p - p_1)(p - p_2) \dots (p - p_n).$$

$$p^2 + K\tau p + K = 0$$

2. Критерий Рауса-Гурвица

$$p^n + \alpha_1 p^{n-1} + \alpha_2 p^{n-2} + \dots + \alpha_{n-1} p + \alpha_n = 0,$$

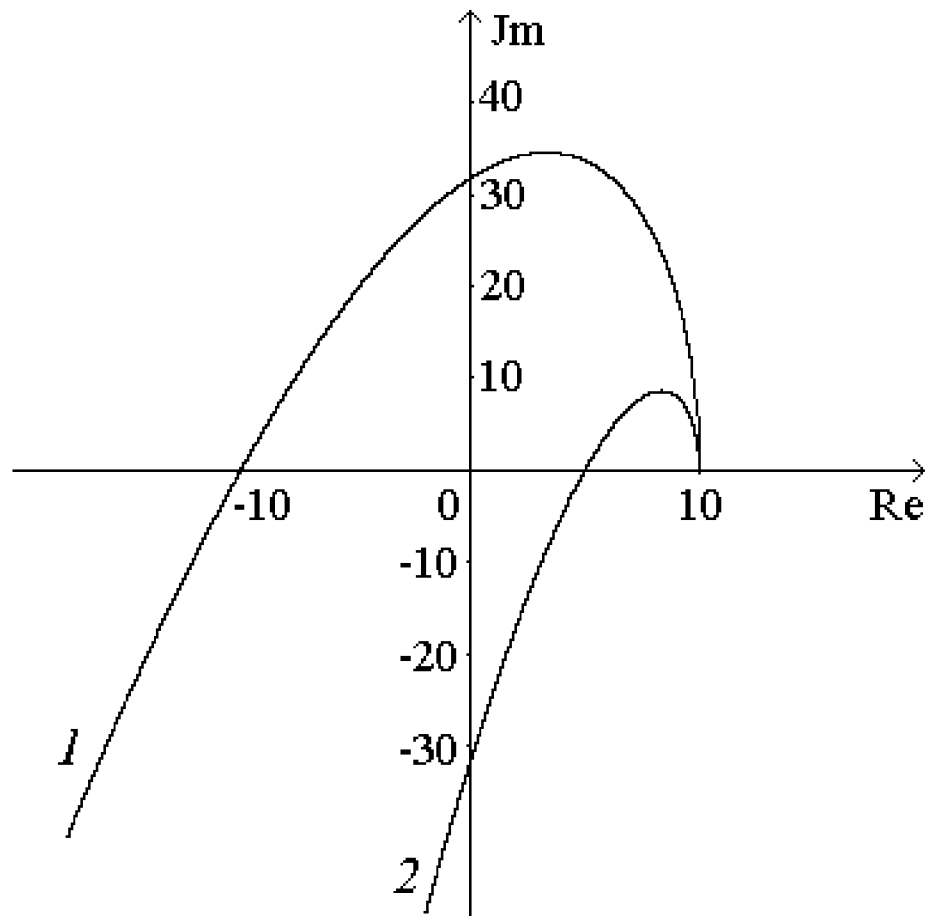
$$\begin{bmatrix} \alpha_1 & 1 & 0 & \dots & \dots & \dots & \dots & \dots \\ \alpha_3 & \alpha_2 & \alpha_1 & 1 & 0 & \dots & \dots & \dots \\ \alpha_5 & \alpha_4 & \alpha_3 & \alpha_2 & \alpha_1 & 1 & 0 & \dots \\ \dots & \dots & \dots & \dots & \dots & \dots & \dots & \dots \end{bmatrix}.$$

Все n определителей Гурвица должны быть положительны.



3. Критерий Михайлова

$$a_n(j\omega)^n + a_{n-1}(j\omega)^{n-1} + \dots + a_1j\omega + a_0$$

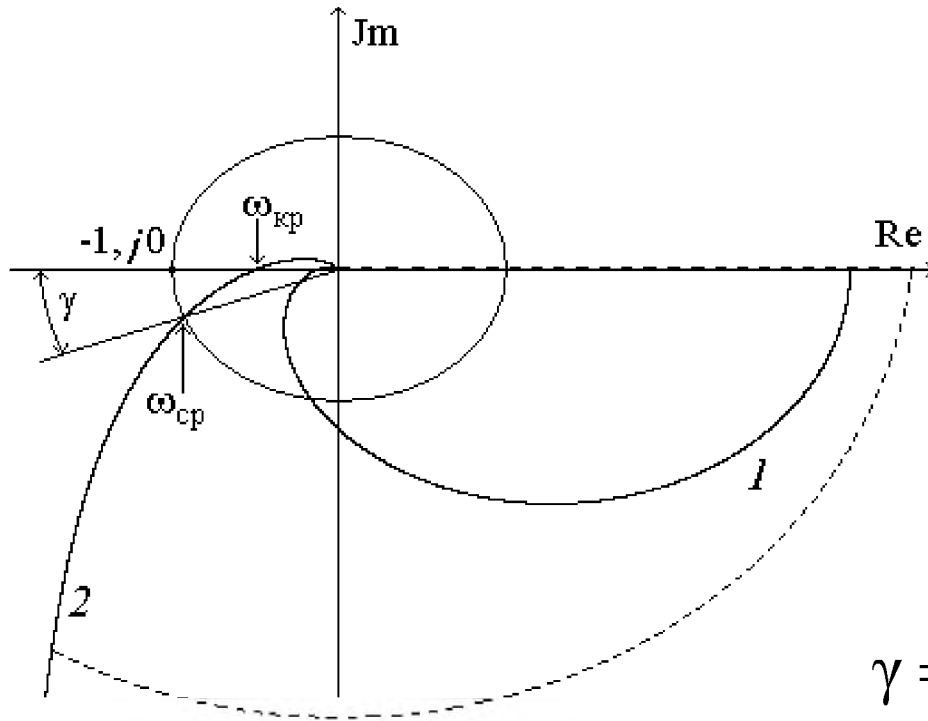


Формулировка критерия Михайлова: для обеспечения устойчивости системы n -го порядка необходимо и достаточно, чтобы кривая Михайлова начиналась (при $\omega=0$) на положительной части вещественной оси и, с увеличением частоты ω , огибала начало координат, проходя последовательно n квадрантов против часовой стрелки.



4. Критерий Найквиста

$$W_p(j\omega)$$



Для обеспечения устойчивости системы необходимо и достаточно, чтобы годограф Найквиста не охватывал точку на комплексной плоскости с координатами $(-1, j0)$.

$$\gamma = 180 - |\varphi(\omega_{ср})| > 0$$

$$\alpha = |W_p(j\omega_{кр})|^{-1} > 1$$



4.3. Условие устойчивости дискретных систем

$$Y(t_{i+1}) = \Phi Y(t_i), \quad Y(t_0),$$

$$Y_0(t_{i+1}) = \Phi_0 Y_0(t_i), \quad Y_0(t_0),$$

$$\det(zI - \Phi) = z^n + a_{n-1}z^{n-1} + \dots + a_1z + a_0 = 0.$$

$$Y_0(t_m) = (\Phi_0)^m Y_0(t_0),$$

$$|z_i| < 1, \quad i = 1, 2, \dots, n.$$



4.4. Алгебраический критерий устойчивости дискретных систем

$$a_n z^n + a_{n-1} z^{n-1} + \dots + a_1 z + a_0 = 0$$

$$z = \frac{1+w}{1-w},$$

$$a_1 z + a_0 = 0. \quad \begin{cases} a_1 - a_0 > 0, \\ a_1 + a_0 > 0. \end{cases}$$

$$a_2 z^2 + a_1 z + a_0 = 0. \quad \begin{cases} a_2 + a_1 + a_0 > 0, \\ a_2 - a_1 + a_0 > 0, \\ a_2 - a_0 > 0. \end{cases}$$

$$a_3 z^3 + a_2 z^2 + a_1 z + a_0 = 0$$

$$\begin{cases} a_3 + a_2 + a_1 + a_0 > 0, \\ a_3 - a_2 + a_1 - a_0 > 0, \\ a_3^2 - a_0^2 + a_0 a_2 - a_1 a_3 > 0, \\ 3(a_3 + a_0) - a_2 - a_0 > 0. \end{cases}$$



5. Коррекция систем управления

Цель коррекции:

- обеспечение устойчивости,
- улучшение качества переходного процесса (снижение степени колебательности, величины перерегулирования и времени нарастания переходного процесса),
- достижение лучшей помехоустойчивости.

методы коррекции:

- *последовательный метод коррекции,*
- *параллельный метод коррекции,*
- *метод коррекции с включением звена в цепи обратной связи.*



1. Последовательный метод коррекции

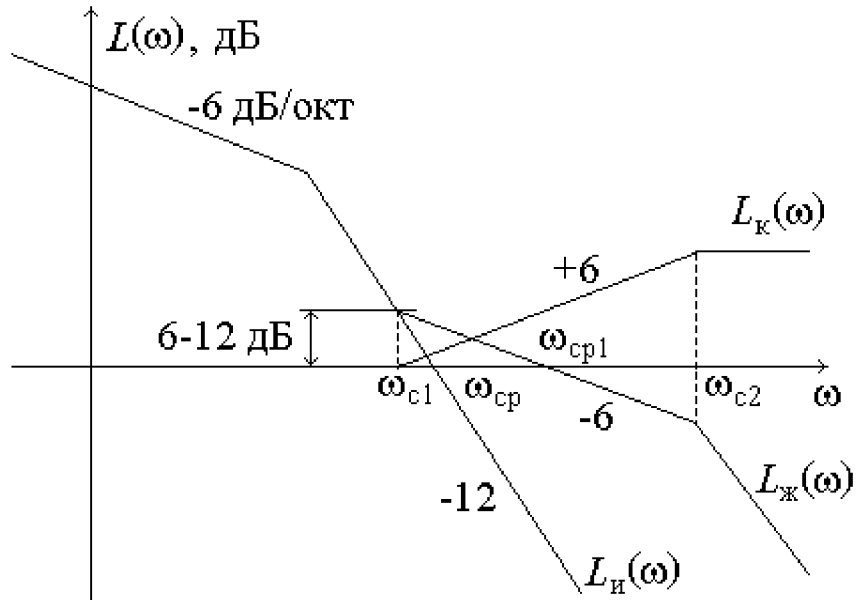
$$W_{\text{к}}(p) = \frac{W_{\text{ж}}(p)}{W_{\text{и}}(p)}. \quad L_{\text{к}}(\omega) = L_{\text{ж}}(\omega) - L_{\text{и}}(\omega).$$

Ограничения:

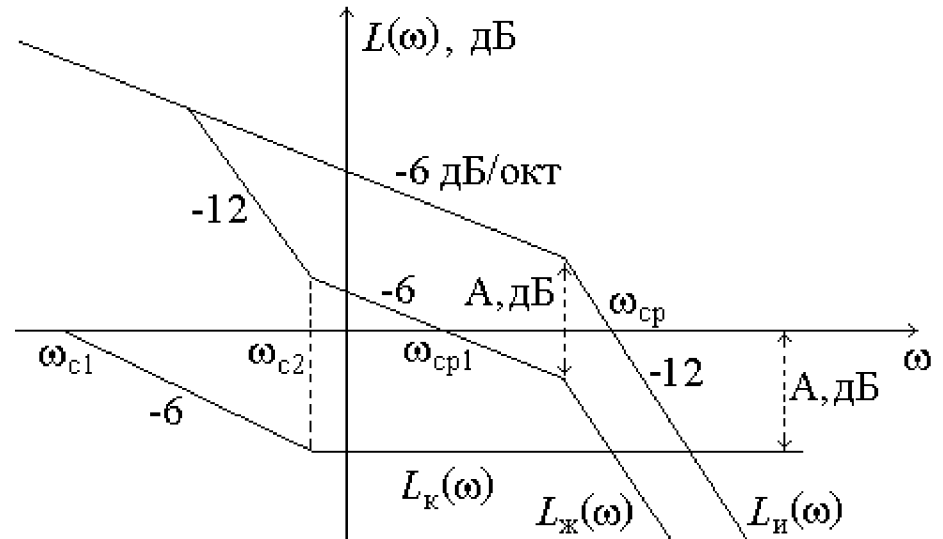
- 1) низкочастотные асимптоты $L_{\text{и}}(\omega)$ и $L_{\text{ж}}(\omega)$ должны совпадать (коррекция не должна оказывать влияние на точностные характеристики СУ, поэтому коэффициент усиления системы и ее порядок астатизма при коррекции, как правило, не изменяют);
- 2) корректирующий элемент должен быть физически реализуем



Приемы последовательной коррекции



а



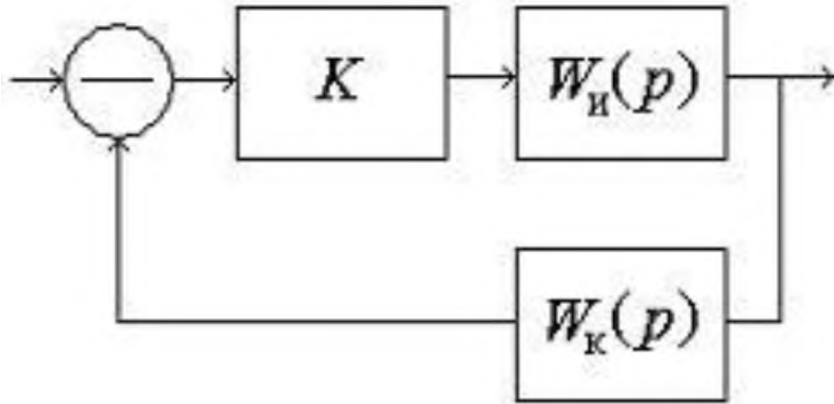
б

2. Параллельный метод коррекции

$$W_{K2}(p) = W_{И}(p)[W_{K1}(p) - 1]$$



3. Коррекция с помощью местной обратной связи



$$W_{\text{ж}}(p) = \frac{KW_{\text{и}}(p)}{1 + KW_{\text{и}}(p)W_{\text{к}}(p)}.$$

$$|KW_{\text{и}}(p)W_{\text{к}}(p)| \gg 1.$$

$$W_{\text{ж}}(p) \approx \frac{1}{W_{\text{к}}(p)},$$

Дополнительные достоинства:

- 1) уменьшается инерционность элементов, входящих в состав исходной системы;
- 2) обеспечивается линеаризация нелинейных элементов, входящих в состав исходной системы;
- 3) выполняется стабилизация параметров ПФ $W_{\text{ж}}(p)$ в случае неустойчивости параметров ПФ $W_{\text{и}}(p)$.



6. Точность САР

6.1. Точность при типовых регулярных воздействиях

$$g(t) = d$$

$$G(p) = \frac{d}{p}$$

$$g(t) = Vt$$

$$G(p) = \frac{V}{p^2}$$

$$g(t) = \frac{at^2}{2}$$

$$G(p) = \frac{a}{p^3}$$

$$g(t) = \frac{A_s t^s}{s!}, \quad s = 0, 1, 2, \dots$$

$$G(p) = \frac{A_s}{p^{s+1}}$$



$$\begin{aligned}
 W_p(p) &= \frac{b_m p^m + b_{m-1} p^{m-1} + \dots + b_0}{p^r (a_n p^{n-r} + a_{n-1} p^{n-r-1} + \dots + a_r)} = \\
 &= \frac{K}{p^r} \frac{\beta_m p^m + \beta_{m-1} p^{m-1} + \dots + 1}{(\alpha_n p^{n-r} + \alpha_{n-1} p^{n-r-1} + \dots + 1)} = \frac{K}{p^r} \frac{B(p)}{A(p)}
 \end{aligned}$$

$$E(p) = G(p) - Y(p) = G(p) \frac{1}{1 + W_p(p)}$$

$$e_y = \lim_{t \rightarrow \infty} e(t) = \lim_{p \rightarrow 0} pE(p) = \lim_{p \rightarrow 0} \frac{A_s}{p^s} \frac{1}{1 + \frac{K}{p^r} \frac{B(p)}{A(p)}}$$



$$r > s \quad e_y = 0$$

$$r < s \quad e_y \rightarrow \infty$$

$$r = s \quad e_y = \begin{cases} A_s/K, & r > 0, \\ A_s/(K+1), & r = 0. \end{cases}$$

		r=	r=	r=	Нифф
g(t)	s	0	1	2	
d	0	d/(K+1)	0	0	1
vt	1	oo	V/K	0	2
att/2	2	oo	oo	a/K	3



6.2. Коэффициентный метод определения ошибок

$$E(p) = G(p)W_e(p)$$

$$W_e(p) = W_e(p)\Big|_{p=0} + pW_e^{(1)}(p)\Big|_{p=0} + \dots + \frac{p^r}{r!}W_e^{(r)}(p)\Big|_{p=0}$$

$$C_i = W_e^{(i)} = \frac{d^i W_e(p)}{dp^i} \Big|_{p=0}$$



$$E(p) = C_0 G(p) + C_1 p G(p) + \dots + C_r \frac{p^r}{r!} G(p)$$

$$e_y(t) = C_0 g(t) + C_1 g^{(1)}(t) + \dots + \frac{C_r}{r!} g^{(r)}(t) \qquad g^{(i)}(t) = \frac{d^i g(t)}{dt^i}$$

$$W_p(p) = K \quad W_e(p) = \frac{1}{1+K} \quad e_y(t) = \frac{1}{1+K} g(t)$$

Содержание домашнего задания: студенту выдается передаточная функция системы радиоавтоматики; требуется описать систему в пространстве состояний, построить логарифмические характеристики, оценить устойчивость и качество переходных процессов, а также точность системы, скорректировать систему, построить годограф (АФХ) передаточной функции исходной и скорректированной систем.



7. Анализ помехоустойчивости САР

7.1. Случайные процессы и их характеристики

Случайные ошибки систем радиоавтоматики являются случайными функциями времени, и характеризуются вероятностными и корреляционными характеристиками

Вероятностная характеристика случайной величины определяется плотностью распределения вероятностей

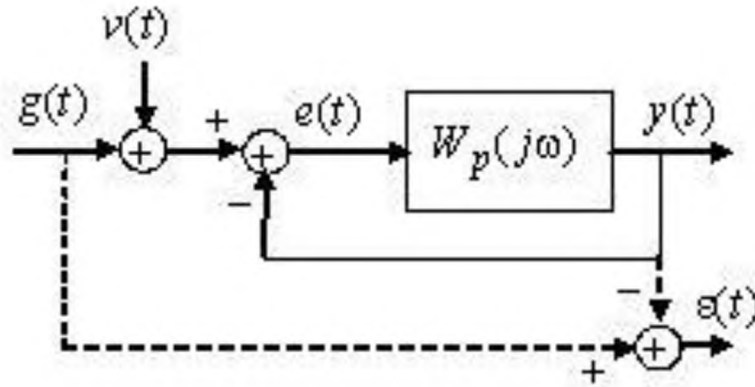
В качестве корреляционной характеристики стационарного случайного процесса используются автокорреляционная функция (временная область) или спектральная плотность мощности (частотная область).

$$R_x(\tau)|_{\tau=0} = \frac{1}{2\pi} \int_{-\infty}^{\infty} S_x(\omega) d\omega = \sigma_x^2$$

$$P(t) = E\{X(t)X^T(t)\} = \begin{bmatrix} \overline{x_1^2(t)} & \overline{x_1(t)x_2(t)} & \dots & \overline{x_1(t)x_n(t)} \\ \overline{x_1(t)x_2(t)} & \overline{x_2^2(t)} & \dots & \overline{x_2(t)x_n(t)} \\ \dots & \dots & \dots & \dots \\ \overline{x_n(t)x_1(t)} & \overline{x_n(t)x_2(t)} & \dots & \overline{x_n^2(t)} \end{bmatrix}$$



7.2. Анализ помехоустойчивости САР в частотной области



$$S_{\Pi}(\omega) = S_{\Pi}(0) = S_{\Pi}$$

$$S_y(\omega) = S_{\Pi} |W(j\omega)|^2$$

$$\sigma_{\Phi_{\Pi}}^2 = \frac{1}{2\pi} \int_{-\infty}^{\infty} S_y(\omega) d\omega = \frac{1}{2\pi} S_{\Pi} \int_{-\infty}^{\infty} |W(j\omega)|^2 d\omega = S_{\Pi} f_{\Phi}$$

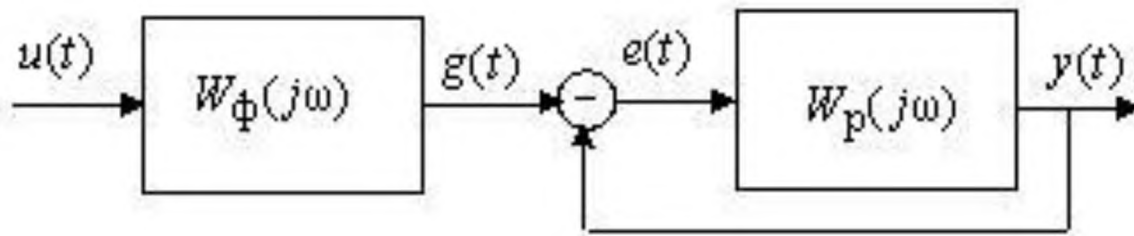
$$f_{\Phi} = \frac{1}{2\pi} \int_{-\infty}^{\infty} |W(j\omega)|^2 d\omega = \frac{1}{2\pi} \int_{-\infty}^{\infty} \left| \frac{C(j\omega)}{D(j\omega)} \right|^2 d\omega$$

$$I_1 = \frac{c_0^2}{2d_0d_1}$$

$$I_2 = \frac{c_1^2 d_0 + c_0^2 d_2}{2d_0d_1d_2}$$



7.3. Точность при случайном полезном воздействии



$$e(t) = g(t) - y(t)$$

$$S_g(\omega) = S_0 |W_\Phi(j\omega)|^2$$

$$S_e(\omega) = S_g(\omega) |W_e(j\omega)|^2 = S_g(\omega) \left| \frac{1}{1 + W_p(j\omega)} \right|^2$$

$$\sigma_D^2 = \frac{1}{2\pi} \int_{-\infty}^{\infty} S_g(\omega) \left| \frac{1}{1 + W_p(j\omega)} \right|^2 d\omega$$



$$\sigma_D^2 = \frac{1}{2\pi} \int_{-\infty}^{\infty} \frac{S_0}{\omega^2} \left| 1 - \frac{K_v}{K_v + j\omega} \right|^2 d\omega = \frac{1}{2\pi} \int_{-\infty}^{\infty} \frac{S_0}{K_v^2 + \omega^2} d\omega = \frac{S_0}{2K_v}$$

7.4. Анализ помехоустойчивости САР во временной области

$$\frac{d}{dt}Y(t) = FY(t) + K[g(t) + v(t)], \quad Y(0) = Y_0$$

$$\frac{d}{dt}X(t) = FX(t) + Kv(t), \quad X_0$$

$$X(t) = \Phi(t, t_0)X(t_0) + \int_{t_0}^t \Phi(t, \eta)Kv(\eta)d\eta$$

$$P(t) = E\{X(t)X^T(t)\} =$$

$$= \Phi(t, t_0)P(t_0)\Phi^T(t, t_0) + \int_{t_0}^t \int_{t_0}^t \Phi(t, \eta)KS_n\delta(\eta - \lambda)K^T\Phi^T(t, \lambda)d\eta d\lambda$$



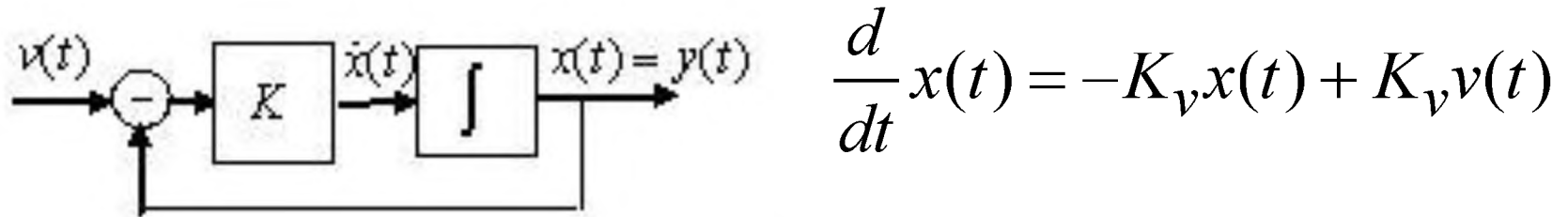
$$P(t) = \Phi(t, t_0)P(t_0)\Phi^T(t, t_0) + \int_{t_0}^t \Phi(t, \eta)KS_nK^T\Phi^T(t, \eta)d\eta$$

$$\begin{aligned} \frac{d}{dt}P(t) &= \frac{d}{dt}\Phi(t, t_0)P(t_0)\Phi^T(t, t_0) + \\ &\quad + \Phi(t, t_0)P(t_0)\frac{d}{dt}\Phi^T(t, t_0) + \Phi(t, t)KS_nK^T\Phi^T(t, t) + \\ &\quad + \int_{t_0}^t \frac{d}{dt}\Phi(t, \eta)KS_nK^T\Phi^T(t, \eta)d\eta + \int_{t_0}^t \Phi(t, \eta)KS_nK^T\frac{d}{dt}\Phi^T(t, \eta)d\eta \end{aligned}$$

$$\Phi(t, t) = I \qquad \frac{d}{dt}\Phi(t, t_0) = F\Phi(t, t_0)$$



$$\frac{d}{dt}P(t) = FP(t) + P(t)F^T + KS_nK^T, \quad P(0) = P_0$$



$$\dot{P}(t) = -2K_v P(t) + K_v^2 S_{\Pi}, \quad P_0$$

$$\sigma_{\Phi}^2 = P(t) = e^{-2K_v t} P_0 + \int_0^t e^{-2K_v(t-\tau)} K_v^2 S_{\Pi} d\tau =$$

$$= e^{-2K_v t} P_0 + K_v^2 S_{\Pi} \left(\frac{1}{2K_v} - \frac{e^{-2K_v t}}{2K_v} \right)$$

$$\sigma_{\Phi}^2 = \frac{K_v S_{\Pi}}{2}$$



7.5. Линейное дисперсионное уравнение при полезном воздействии

$$\frac{d}{dt}G(t) = AG(t) + Bu(t), \quad G(0) = 0,$$

$$\frac{d}{dt}Y(t) = FY(t) + K[g(t) + v(t)], \quad Y(0) = Y_0$$

$$E(t) = G(t) - Y(t) \quad \dot{E}(t) = [A - KH]G(t) - FY(t) + Bu(t) - Kv(t)$$

$$\overline{E(t)} = 0 \quad F = A - KH$$

$$\frac{d}{dt}E(t) = (A - KH)E(t) + Bu(t) - Kv(t)$$

$$\frac{d}{dt}P(t) = (A - KH)P(t) + P(t)(A - KH)^T + BS_0B^T + KS_nK^T$$



7.6. Дисперсионные уравнения для дискретных САР

1. $g(t)$ – регулярное воздействие

Разностное уравнение для централизованной случайной составляющей вектора состояния САР:

$$X(i+1) = \Phi X(i) + K v(i+1), \quad X(0) = 0$$

$$P(i) = E\{X(i)X^T(i)\} \quad P(i+1) = \Phi P(i)\Phi^T + K R K^T$$

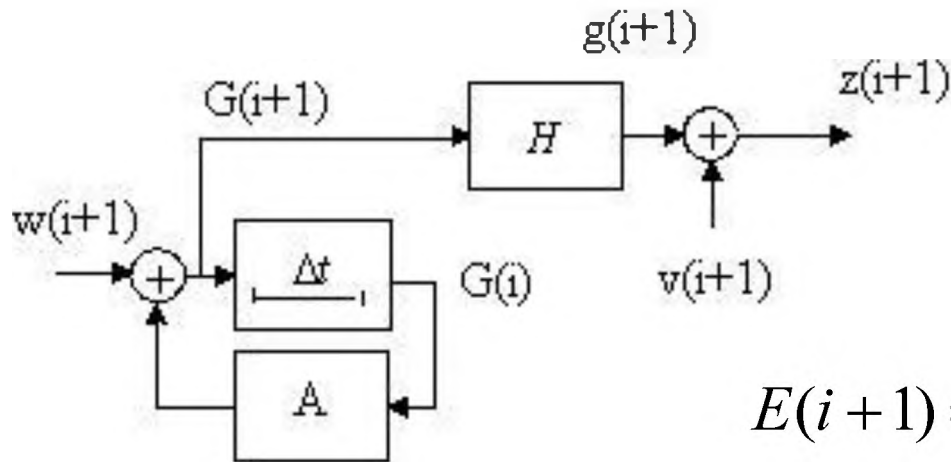
$$\begin{aligned} x(i+1) &= x(i) + K\{v(i+1) - x(i)\} = \\ &= (1-K)x(i) + K v(i+1) \end{aligned}$$

$$p(i+1) = (1-K)^2 p(i) + K^2 \sigma^2 \quad \sigma^2 = R$$

$$i \rightarrow \infty \quad p = (1-K)^2 p + K^2 \sigma^2 \quad p = \frac{\sigma^2 K}{(2-K)}$$



2. $g(t)$ – случайное воздействие



$$G(i+1) = AG(i) + w(i+1)$$

$$z(i+1) = HG(i+1) + v(i+1)$$

$$Y(i+1) = FY(i) + Kz(i+1)$$

$$E(i+1) = G(i+1) - Y(i+1) =$$

$$= (A - KHA)G(i) - FY(i) + (I - KH)w(i+1) - Kv(i+1)$$

$$F = (I - KH)A$$

Уравнение согласованной дискретной САР:

$$Y(i+1) = \Phi Y(i) + K\{z(i+1) - HAY(i)\}, \quad Y(0) = 0$$

$$E(i+1) = (I - KH)AE(i) + (I - KH)w(i+1) - Kv(i+1)$$



$$P(i+1) = \overline{E(i+1)E^T(i+1)} = (I - KH)(AP(i)A^T + Q_w)(I - KH)^T + KRK^T$$

$Y(i)$ - оценка фильтрации

$Y^-(i) = AY(i-1)$ - оценка экстраполяции

$E(i)$ - ошибка фильтрации

$E^-(i) = G(i) - Y^-(i)$ - ошибка экстраполяции

$P(i) = \overline{E(i)E^T(i)}$ - кор.м.ош.фильтрации

$P^-(i) = \overline{E^-(i)(E^-)^T(i)}$ - кор.м.ош.экстраполяции

Дисперсионные уравнения согласованной дискретной САР:

$$P^-(i+1) = AP(i)A^T + Q_w$$

$$P(i+1) = (I - KH)P^-(i+1)(I - KH)^T + KRK^T, \quad P(0)$$



Пример. Фильтрация дискретного винеровского процесса с помощью дискретной CAP 1-го порядка астатизма

Воздействие: $g(i+1) = g(i) + w(i+1), g(0) = 0$

$$z(i+1) = g(i+1) + v(i+1)$$

CAP: $y(i+1) = y(i) + k\{z(i+1) - y(i)\}$

$$H = A = 1 \quad Q_w = \sigma_q^2 \quad R = \sigma_r^2 \quad K = k$$

$$p^-(i+1) = p(i) + \sigma_q^2$$

$$p(i+1) = (1-k)^2 p^-(i+1) + k^2 \sigma_r^2$$

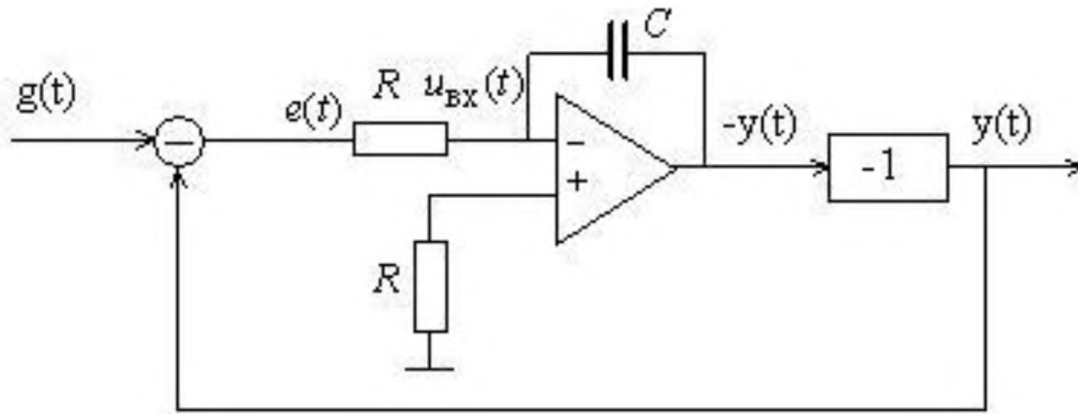


$$i \rightarrow \infty \quad p = \frac{(1-k)^2 \sigma_q^2 + k^2 \sigma_r^2}{k(2-k)} \quad p^- = \frac{\sigma_q^2 + k^2 \sigma_r^2}{k(2-k)}$$

8. Устройства радиоавтоматики

8.1. Статические и астатические системы

1. САР с электронным интегратором



$$i_{BX} = 0$$

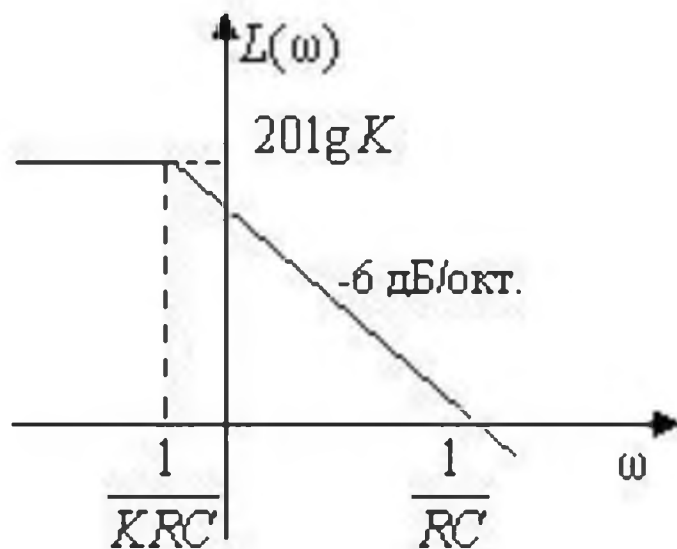
$$K \ll 1$$

$$\frac{-y(p) - u_{BX}(p)}{1/pC} = \frac{u_{BX}(p) - e(p)}{R}$$

$$-y(p) = -Ku_{BX}$$

$$W_p(p) = \frac{y(p)}{e(p)} \approx \frac{K}{1 + pKRC}, \quad r = 0.$$



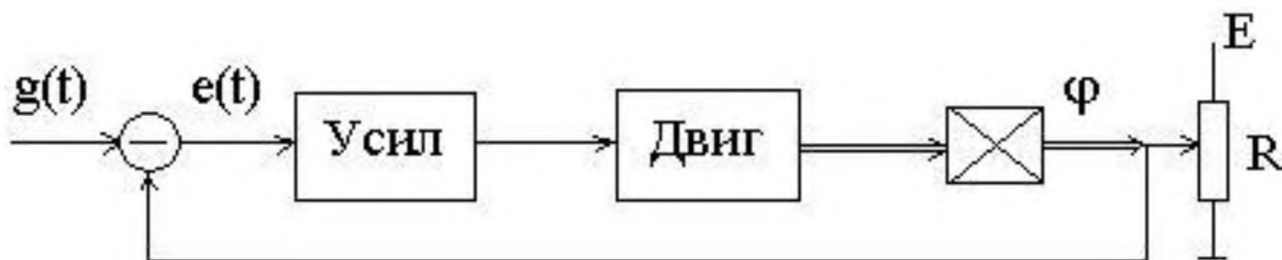


$$W_p(p) \approx \frac{1}{pRC}, \quad \omega > 1/KRC.$$

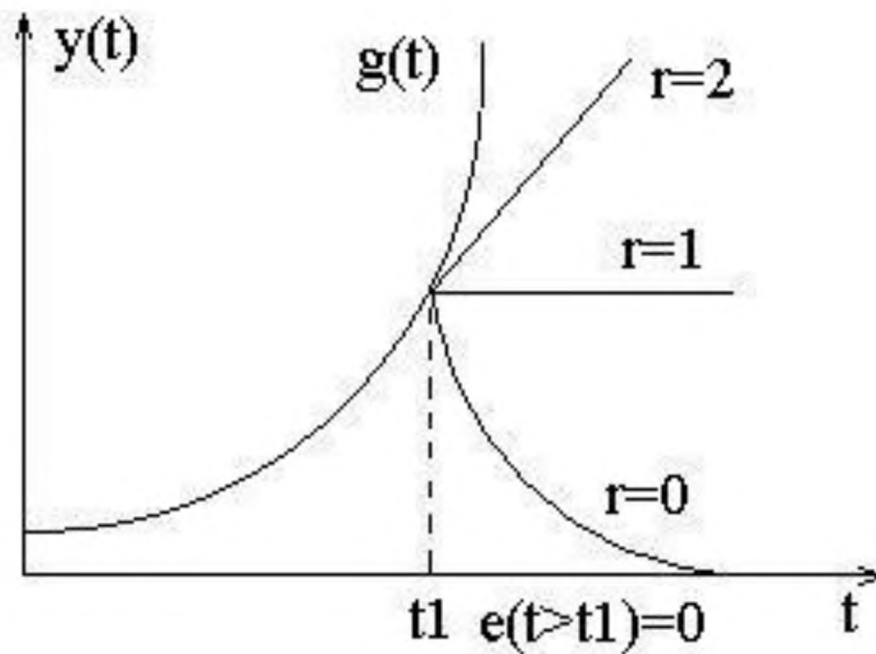
$$e = 0 \rightarrow y = 0$$

2. Автоматический потенциометр

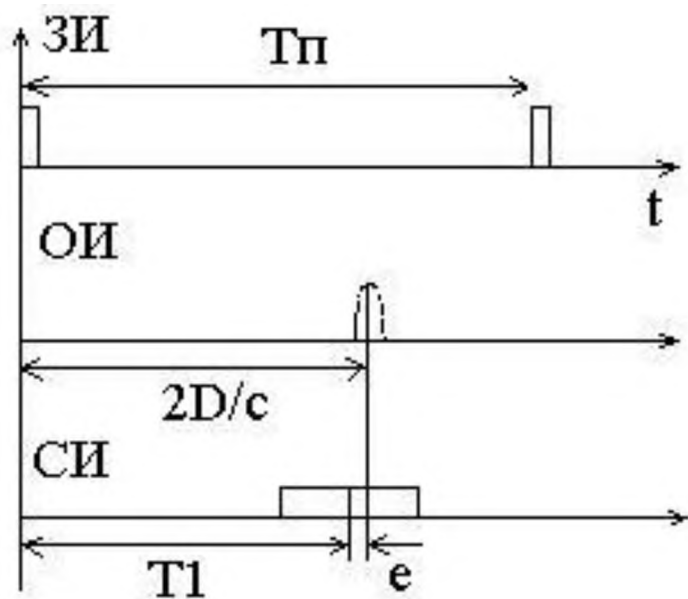
$$W_p(p) = \frac{K}{p}, \quad K = K_{yc}K_{дв}K_{ред}K_n$$



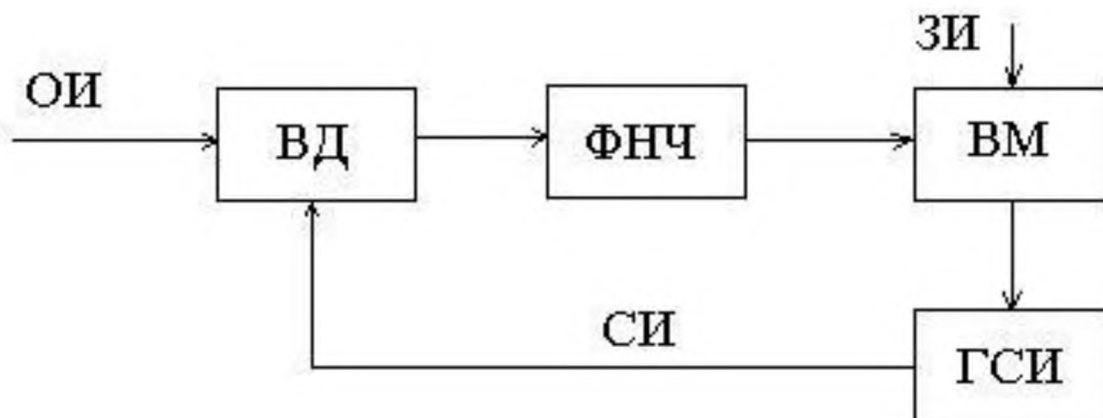
Память по положению, по скорости, по ускорению, ...



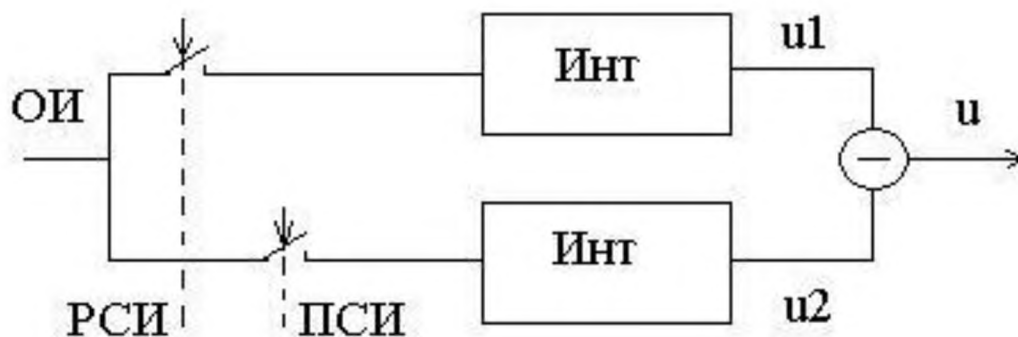
8.2. Следящий измеритель дальности (автодальномер)



- импульсные помехи
- пропадание сигнала
- фильтрация

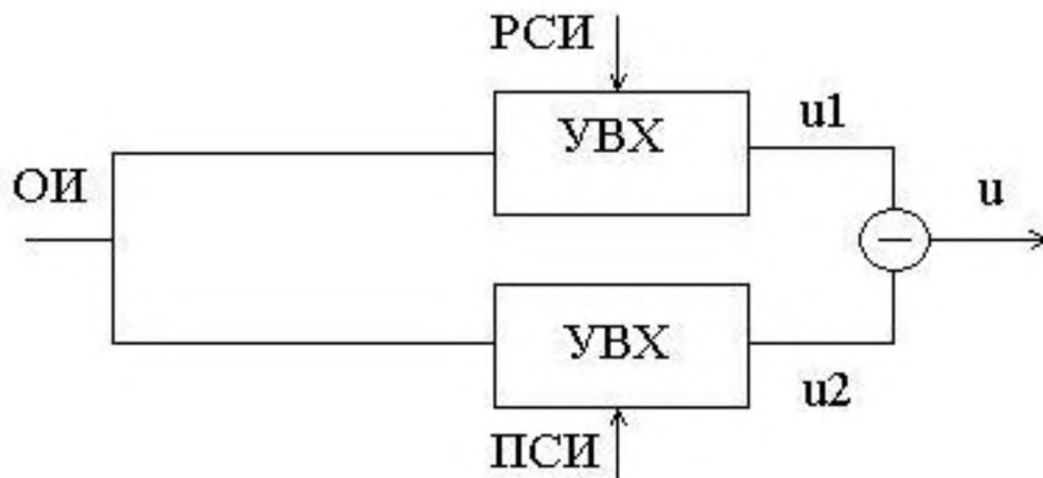


ВД с 2-мя широкими селекторными импульсами



$$K_d / (1 + pT_d)$$

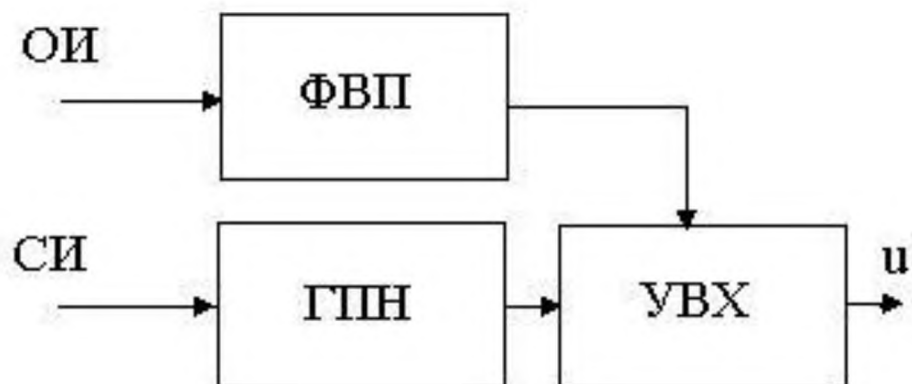
ВД с 2-мя узкими селекторными импульсами



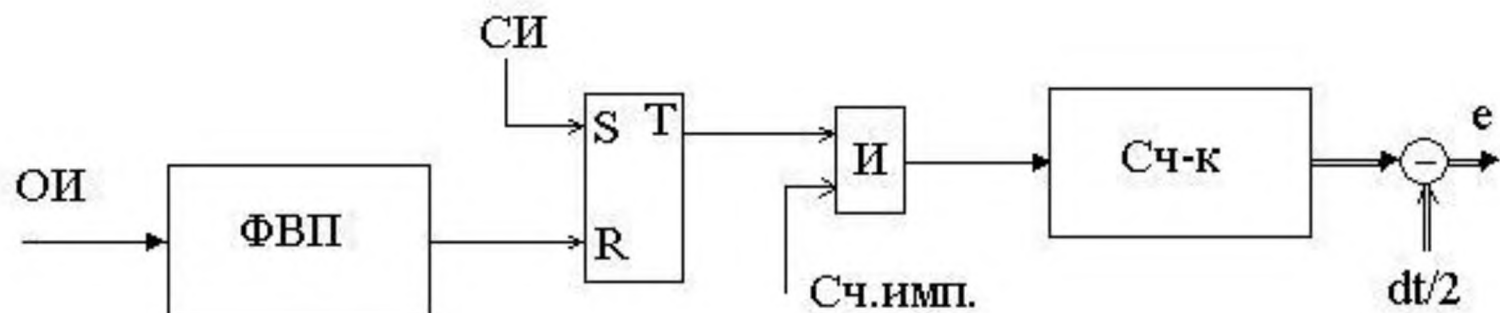
Фиксатор временного положения ответного импульса



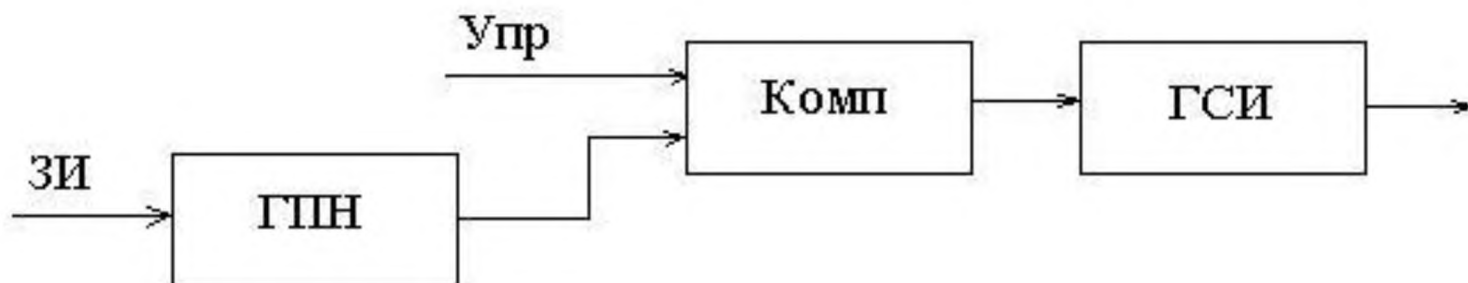
Аналоговый ВД с ФВП ОИ



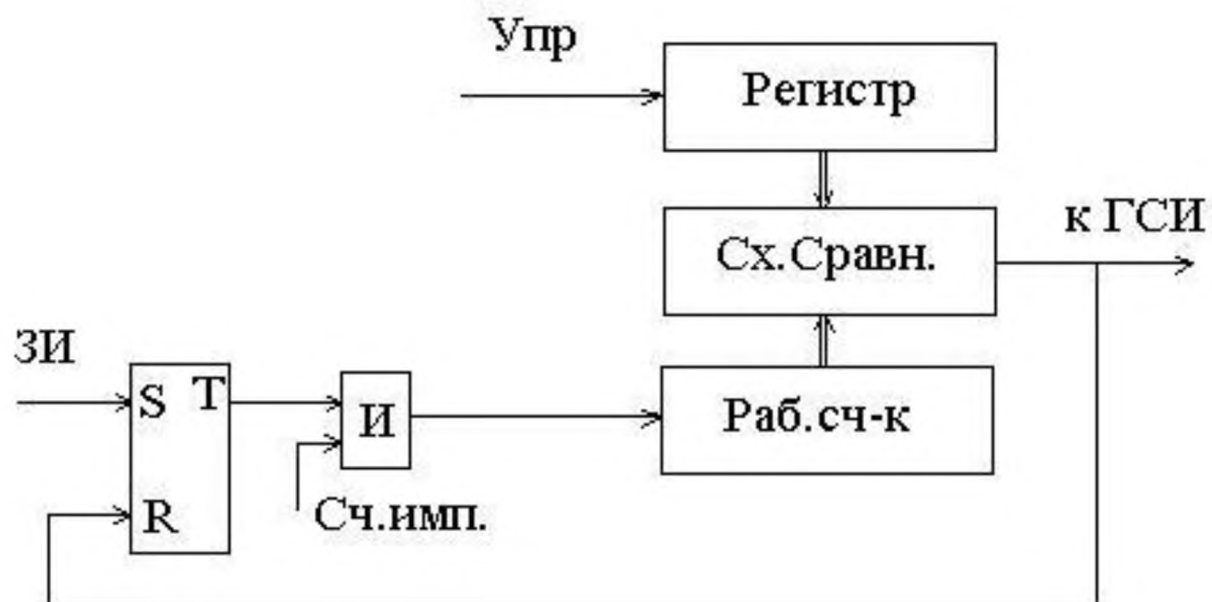
Цифровой ВД с ФВП



Аналоговый ВМ



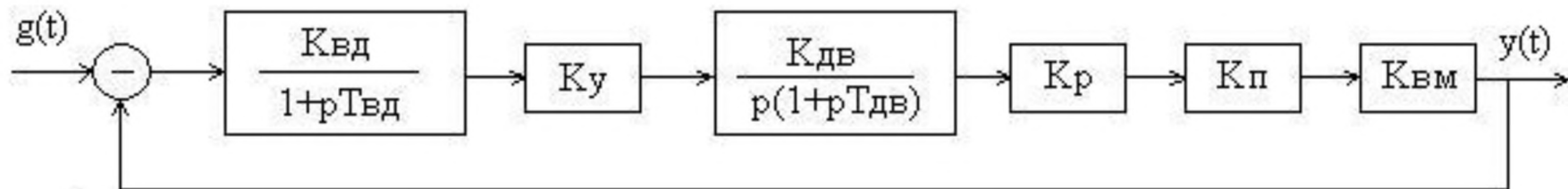
Цифровой ВМ



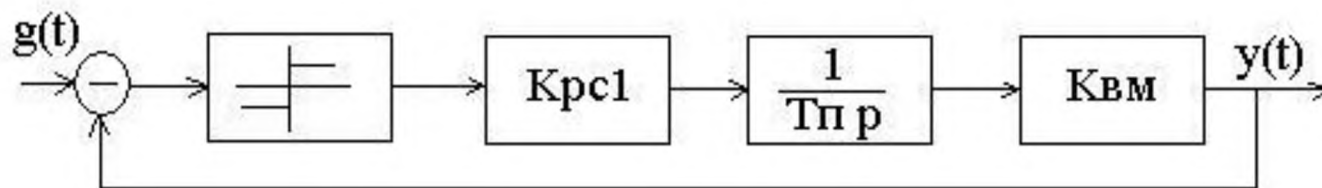
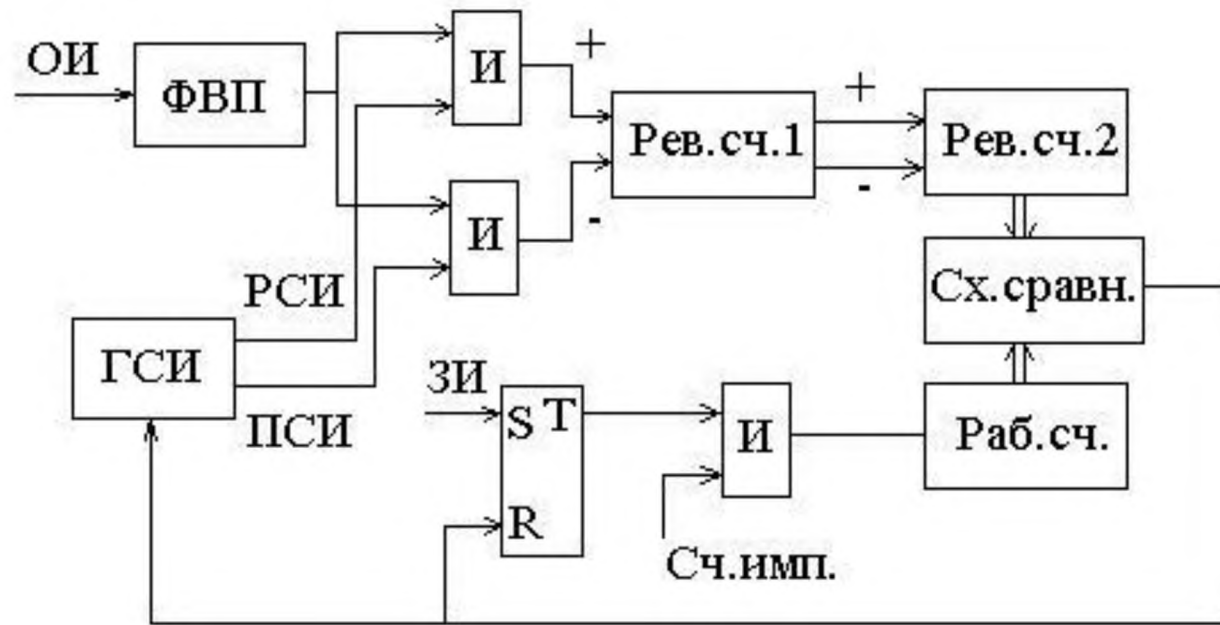
Автодальномер с двигателем



Структурная схема эквивалентной непрерывной системы



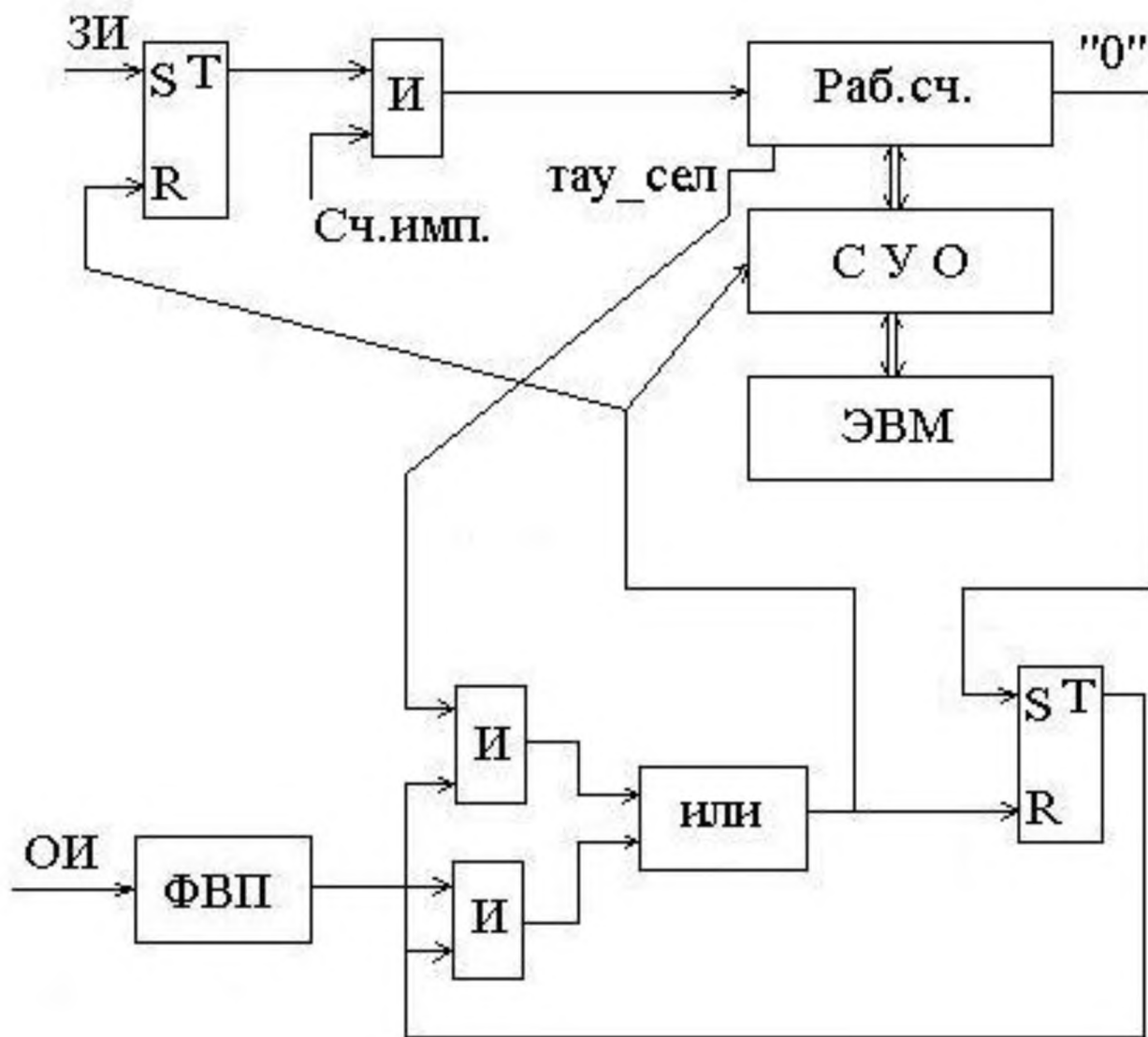
Цифровой автодаляномер (аппаратная реализация)



$$W_p(p) \approx \frac{K_v}{p}, \quad K_v = K_{\text{вд}}(\rho) K_{\text{рс1}} \frac{1}{T_n} K_{\text{вм}}$$



Аппаратно-программная реализация автодальномера



ЭВМ -> Раб.сч. (ДК)

$$\hat{\tau}_3 - \tau_c / 2$$

Раб.сч. -> ЭВМ

$$e + \tau_c / 2$$



Алгоритм, реализуемый в ЭВМ

$$\hat{\tau}_3(i+1) = \hat{\tau}_3(i) + T_n \hat{V}_\tau(i) + K_1 e(i+1)$$

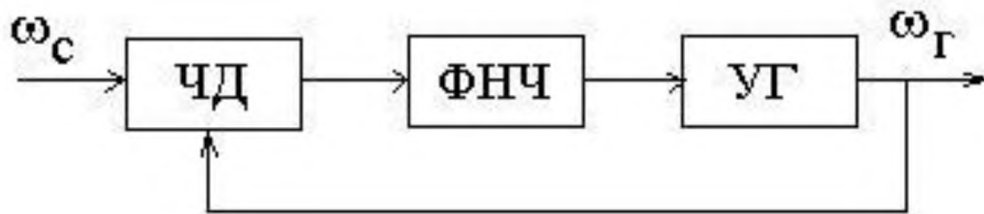
$$\hat{V}_\tau(i+1) = \hat{V}_\tau(i) + K_2 e(i+1)$$

$$K_1 = K_a \tau T_n, \quad K_2 = K_a \tau T_n. \quad W_p(p) = \frac{K_a(1 + p\tau)}{p^2}$$

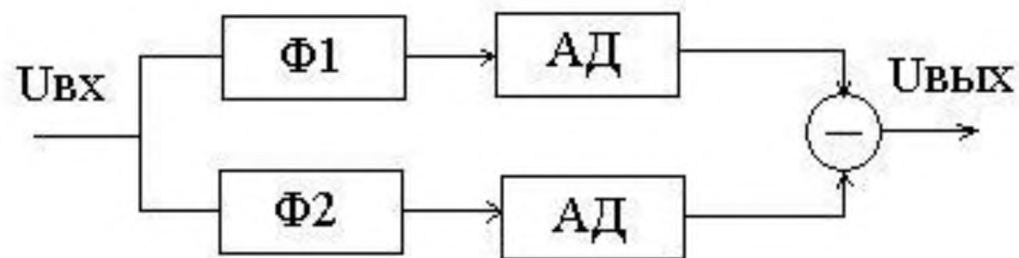
8.3. Системы синхронизации

1. Система АПЧ

$$\Delta\omega_H = \omega_c - \omega_z \neq 0 \quad \rightarrow \quad \Delta\omega_{ycm} \neq 0$$



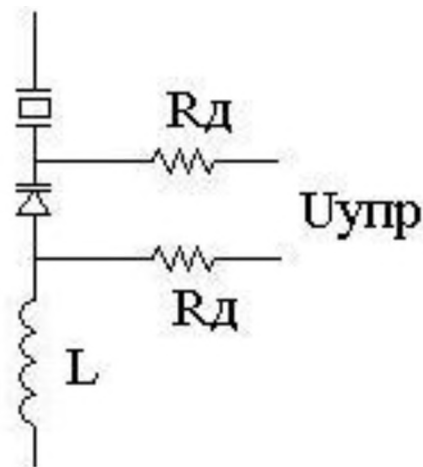
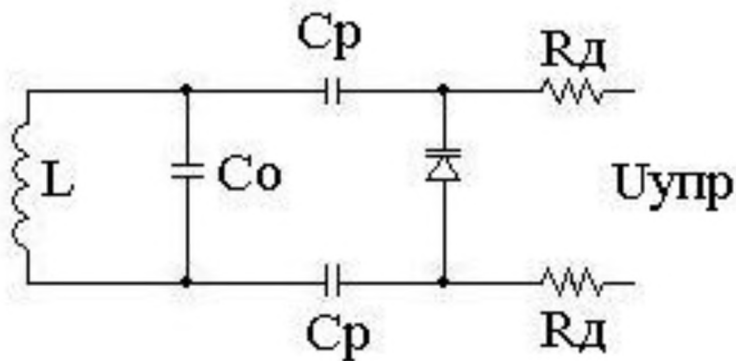
ЧД на расстроенных контурах

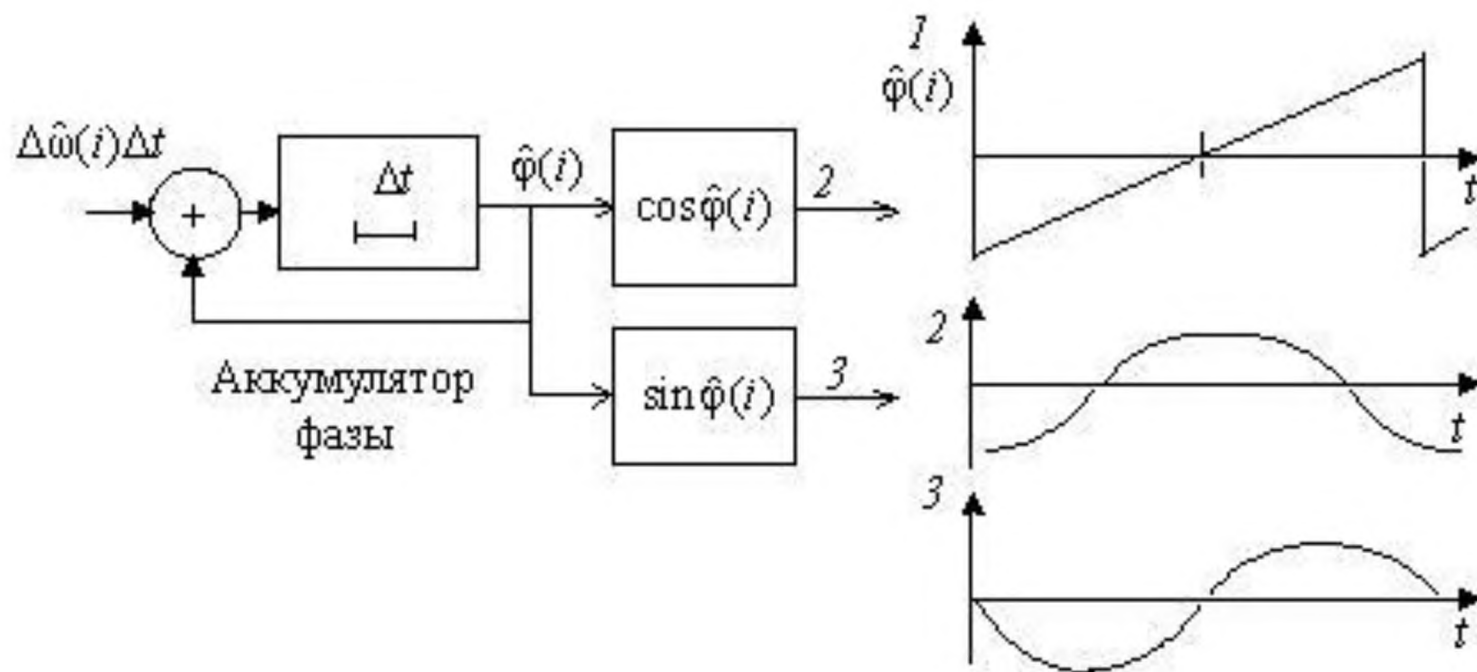
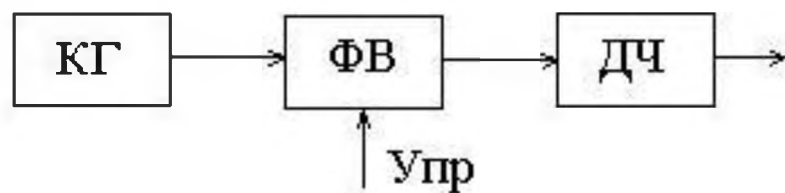


Цифровой ЧД с использованием квадратур

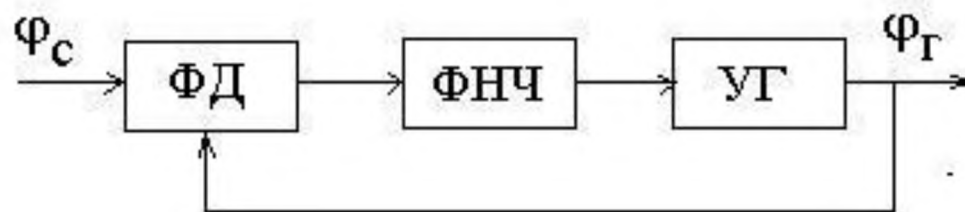
$$\Delta\omega = C(I(i-1)Q(i) - I(i)Q(i-1))$$

Элементы УГ

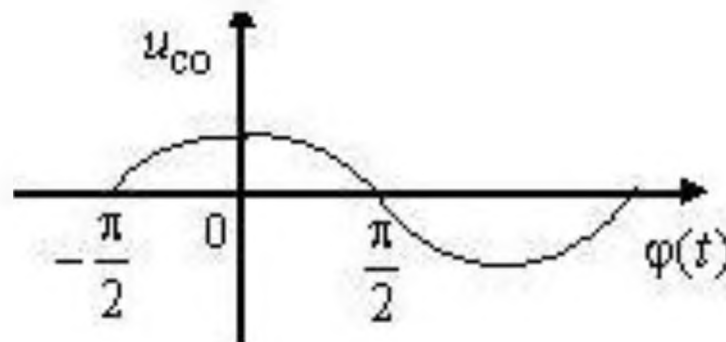
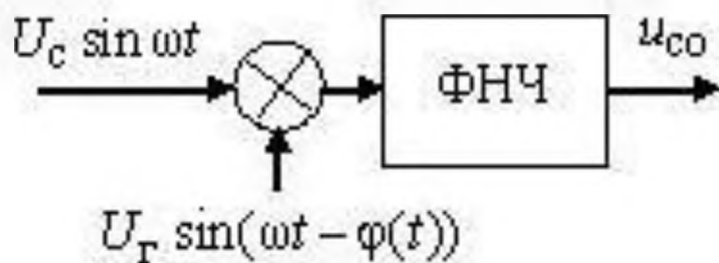


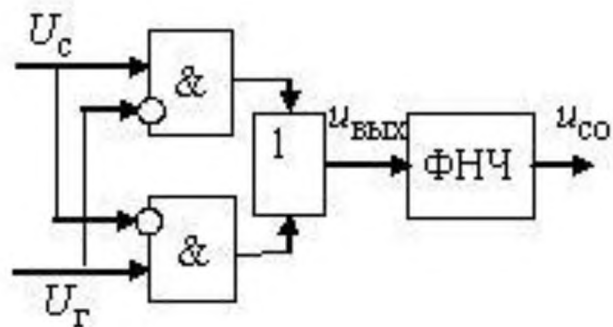


2. Система ФАПЧ

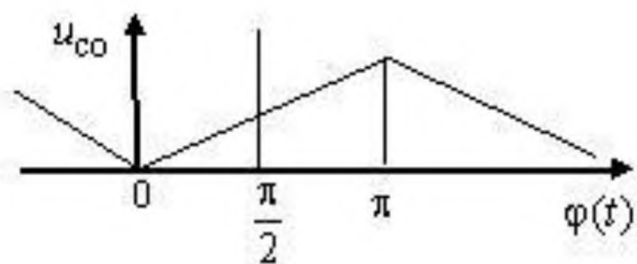


$$W_p(p) = \frac{K_{\phi\partial} K_{y2}}{p} W_{\phi\text{НЧ}}(p) \quad \Delta\omega_H \neq 0 \rightarrow \Delta\omega_y = 0$$

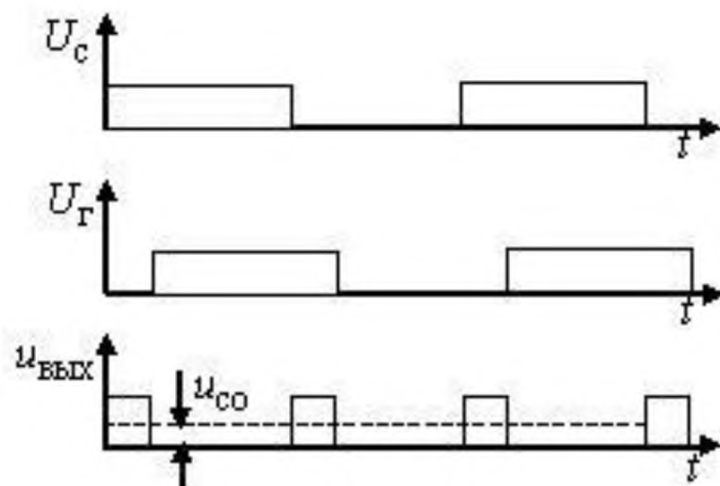




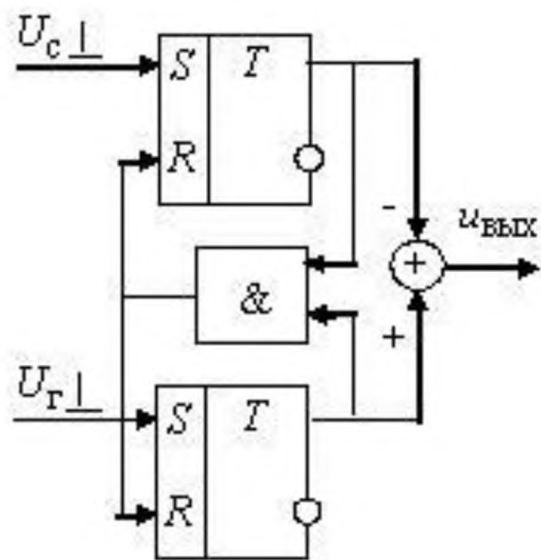
а)



б)



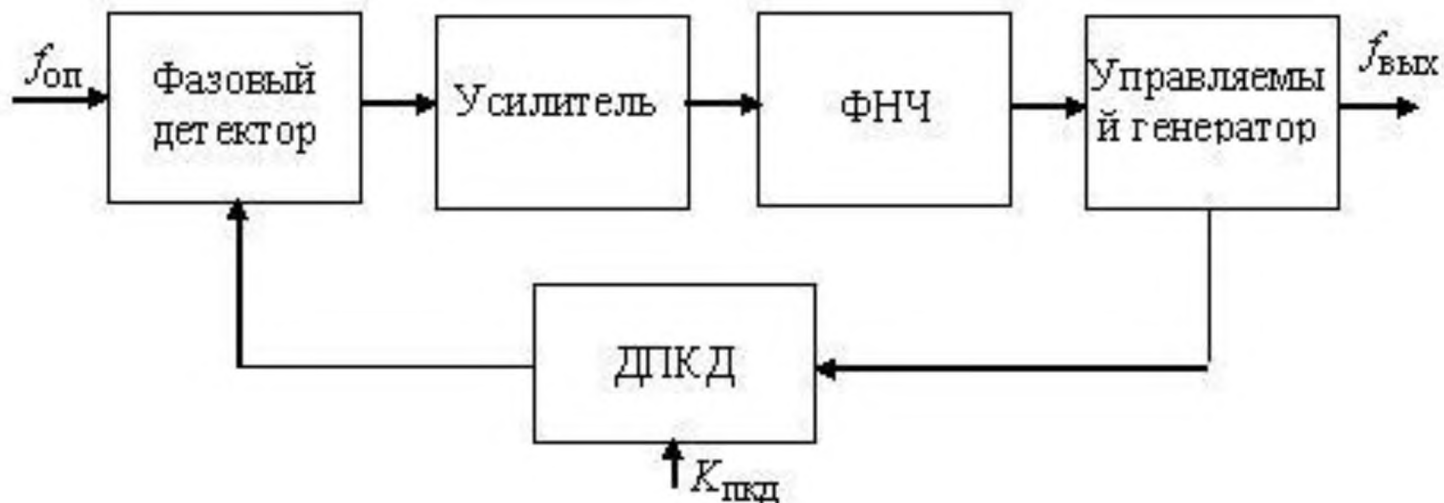
б)



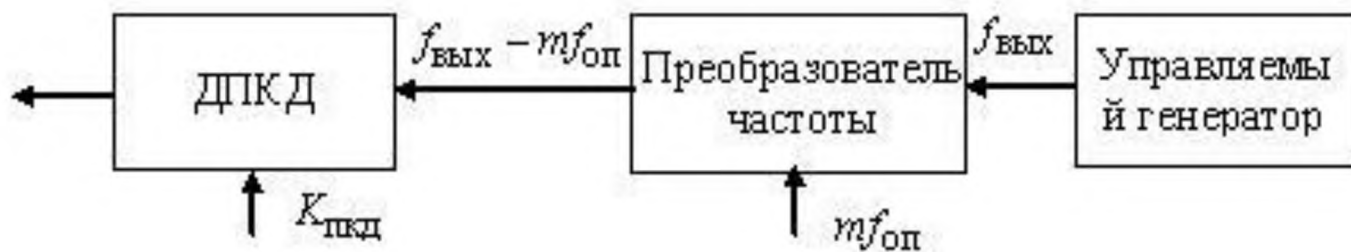
г)



Синтезатор частот с системой ФАПЧ



а)

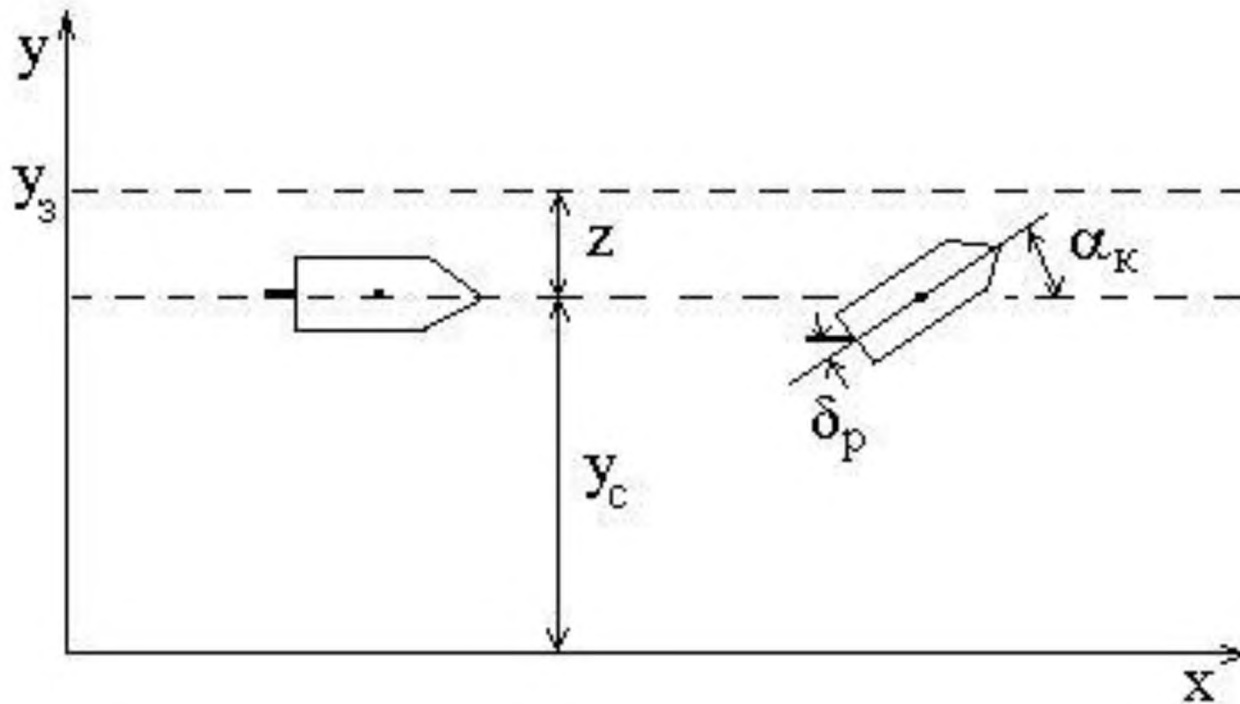


б)



8.4. Системы управления подвижными объектами

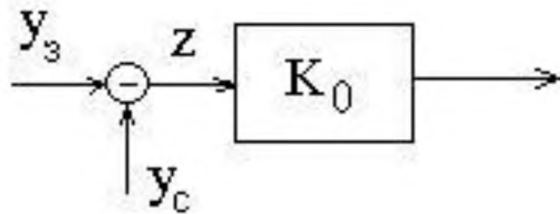
1. Задача управления судном



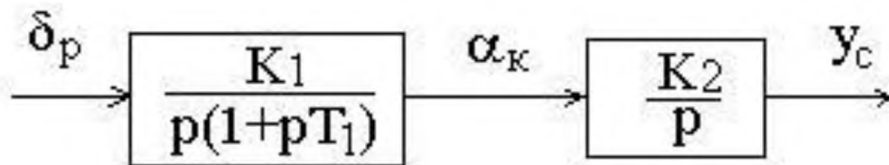
$$z = y_3 - y_c \rightarrow 0$$



РНС



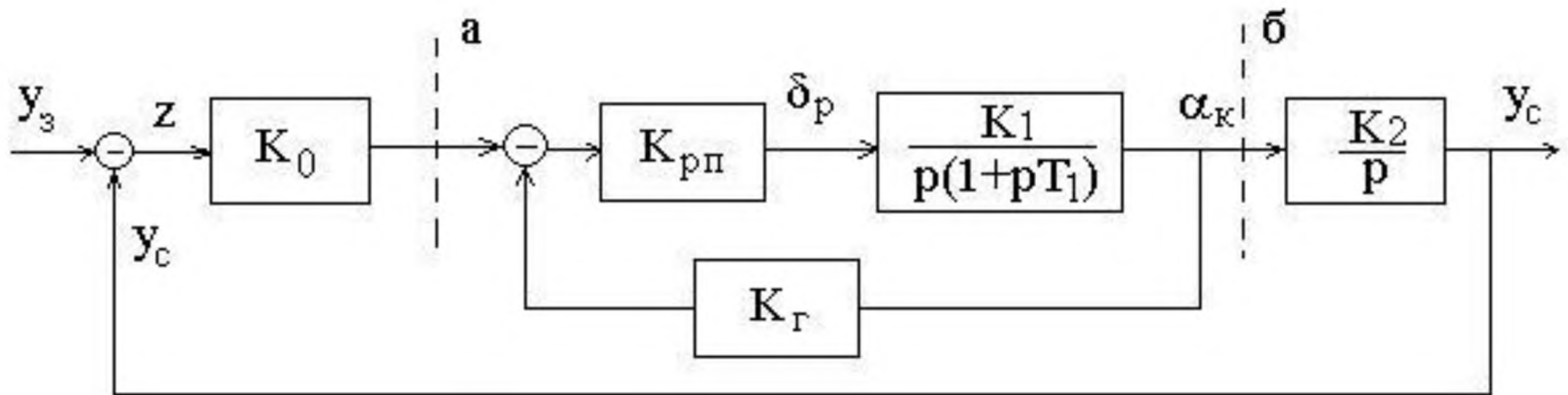
Кинематическое звено



$$\delta_p[\text{град}], \quad \alpha_k[\text{град}] \Rightarrow K_1[1 / \text{с}]$$

$$y_c[\text{м}] \Rightarrow K_2\left[\frac{\text{м}}{\text{с град}}\right]$$





$$W_p(p) = \frac{K_a}{p^2(1 + pT_1)},$$

$$K_a = K_0[\text{в} / \text{м}] K_{pn}[\text{град} / \text{в}] K_1[1 / \text{с}] K_2[\text{м} / \text{с} / \text{град}]$$

$$K_a[1 / \text{с}^2]$$

$$K_2[\text{в} / \text{град}]$$



$$W_{a\delta}(p) = \frac{1 / K_z}{p^2 \frac{T_1}{K_1 K_{pn} K_z} + p \frac{1}{K_1 K_{pn} K_z} + 1} \Leftrightarrow \frac{1}{p^2 \tau^2 + 2p\tau\xi + 1}$$

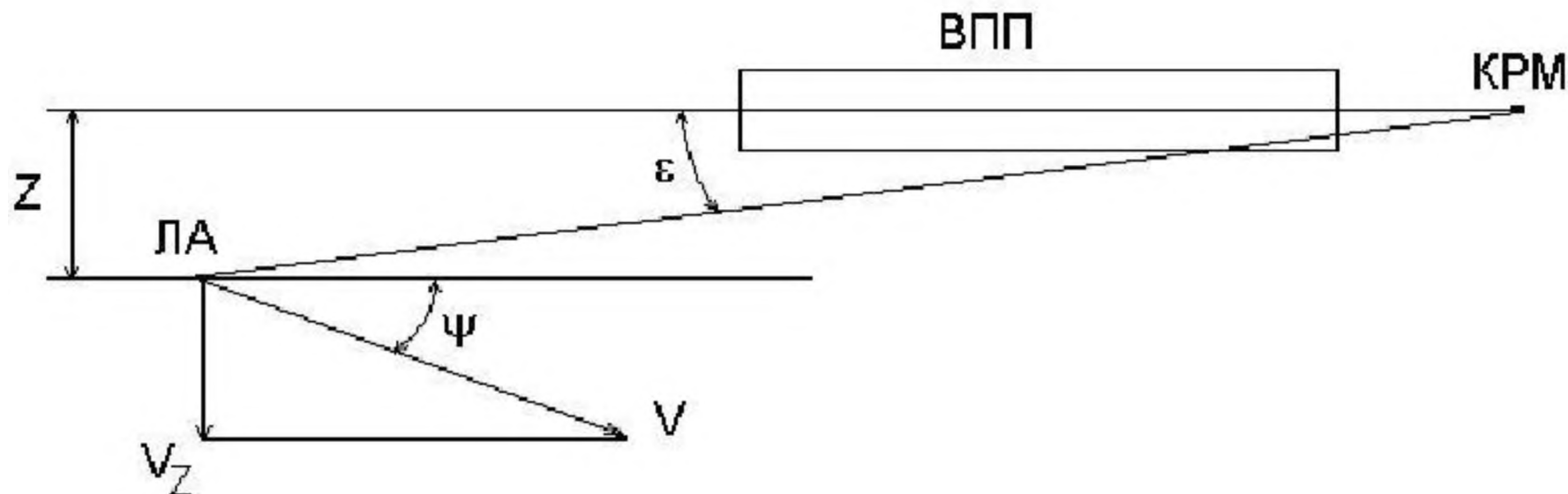
$$\tau^2 = \frac{T_1}{K_1 K_{pn} K_z} [c^2], \quad 2\tau\xi = \frac{1}{K_1 K_{pn} K_z} \Rightarrow \xi = \frac{1}{2\sqrt{K_1 K_{pn} K_z T_1}}$$

$$r=1, \quad \xi=1, \quad W_{a\delta}(p) \approx \frac{1 / K_z}{(1 + p\tau)^2}, \quad K_v = K_0 \frac{1}{K_z} K_2 [1 / c] \uparrow, \quad \frac{1}{\tau} > \omega_{cp} = K_v$$

$$W_p(p) \approx \frac{K_v}{p(1 + p\tau)^2}$$



2. Система управления посадкой самолет (канал курса)



ϵ – угол между горизонтальной линией и линией ВПП

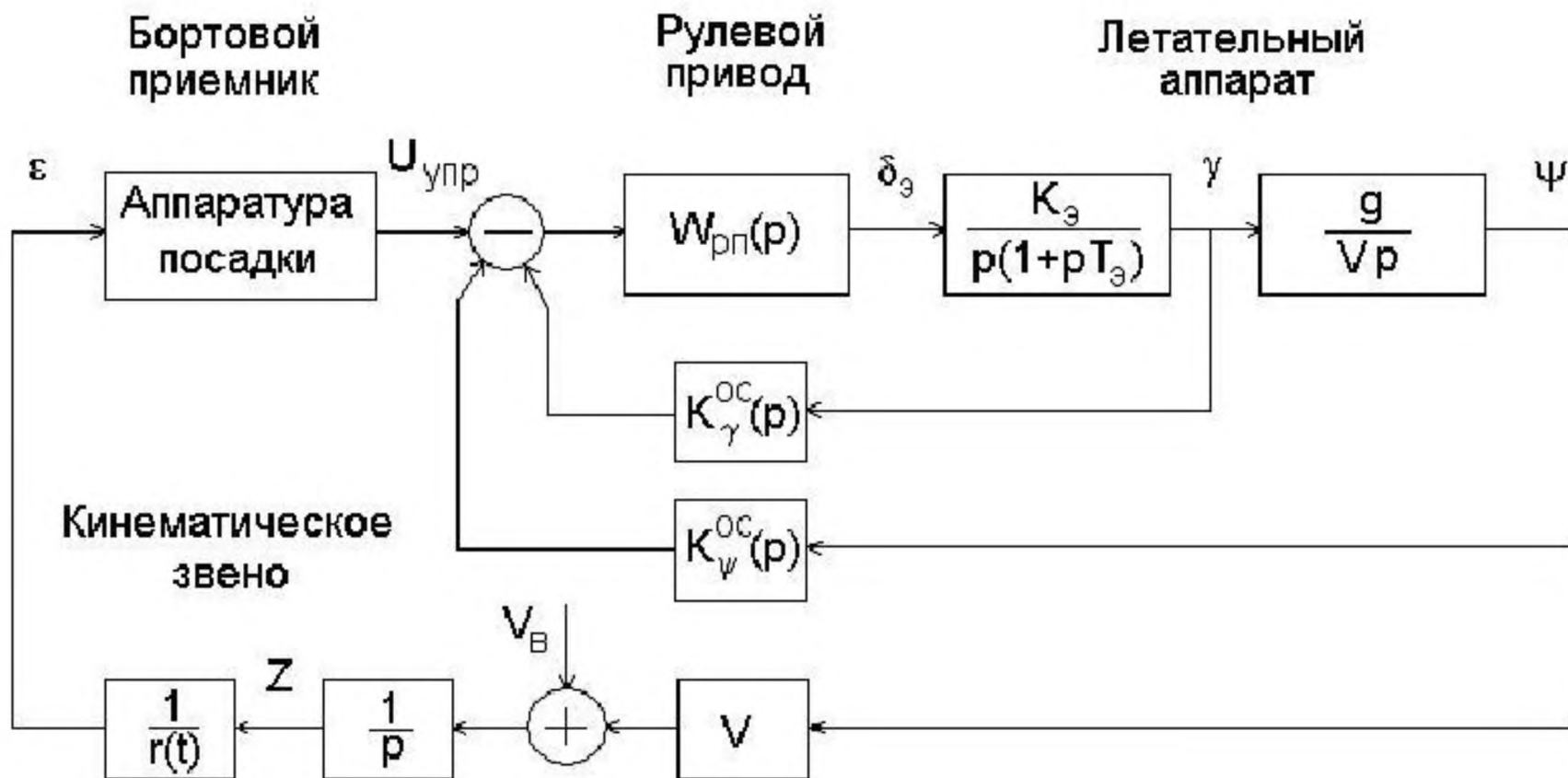
ψ – угол между горизонтальной линией и вектором скорости

z – боковое отклонение

V – вектор скорости

Задача: $z \rightarrow 0$ ($\epsilon \rightarrow 0$)





$$V \sin \Psi \approx V\Psi = V_Z$$

$$r \sin \epsilon \approx r\epsilon = z \rightarrow \epsilon = z / r$$



Варианты коррекции

$$W_{k1} = K_{\gamma}, \quad W_{k2} = K_{\Psi} \quad \rightarrow \quad 1 -$$

$$W_{k1} = K_{\gamma}, \quad W_{k2} = \frac{pT_{oc}}{1 + pT_{oc}} \rightarrow$$

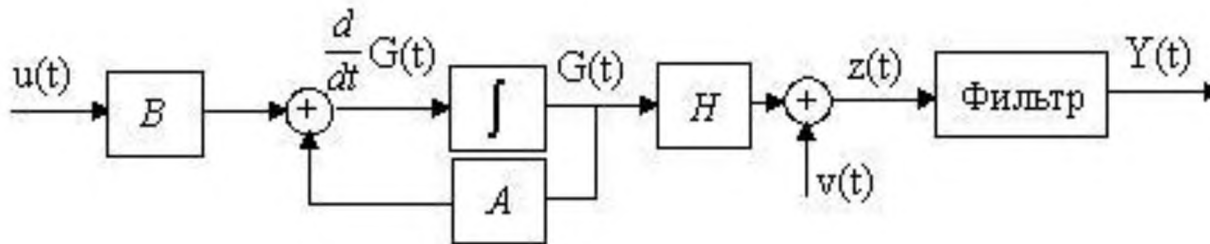
- i порядок астатизма, V_e !

2 – i порядок астатизма



9. Оптимизация структуры и параметров САР

9.1. Оптимизация САР во временной области, фильтр Калмана



Формирующий фильтр

$$\frac{d}{dt}G(t) = AG(t) + Bu(t), \quad G(0) = G_0, \quad S_0 = Q$$

$$z(t) = HG(t) + v(t), \quad S_n = R$$

$$\frac{d}{dt}Y(t) = FY(t) + Kz(t) \quad e(t) = G(t) - Y(t)$$



$$\begin{aligned} \frac{d}{dt}P(t) &= (A - K(t)H)P(t) + P(t)(A - K(t)H)^T + BQB^T + \\ &+ K(t)RK(t)^T, P(0) = P_0, \quad F = A - K(t)H \end{aligned}$$

$$\frac{d}{dt}Y(t) = AY(t) + K(t)(z(t) - HY(t)), \quad Y(0) = Y_0 \quad (1)$$

$$SpP(t) = \sum_{j=1}^n p_{jj}(t) \rightarrow \min$$

$$\frac{d}{dA}Sp(AD) = D^T \quad \frac{d}{dA}Sp(DA^T) = D \quad \frac{d}{dA}Sp(ADA^T) = 2AD$$

$$-2P(t)H^T + 2K(t)R = 0 \quad K(t) = P(t)H^T R^{-1} \quad (2)$$



Матричное дифференциальное уравнение Риккати

$$\frac{d}{dt}P(t) = AP(t) + P(t)A^T + GQG^T - P(t)H^T R^{-1}HP(t), P(0) = P_0 \quad (3)$$

$$\frac{d}{dt}P(t) \rightarrow 0, \quad t \rightarrow \infty: AP + PA^T + GQG^T - PH^T R^{-1}HP = 0$$

Пример

$$-p^2 R^{-1} + Q = 0 \rightarrow p = \sqrt{QR} \rightarrow K_{onm} = \sqrt{Q / R} = \sqrt{S_0 / S_n}$$

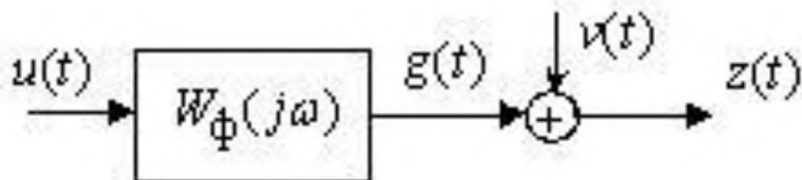
Замечание

$$W_p(p) = \frac{K}{p}, \quad \sigma_{\phi_l}^2 + \sigma_{\delta}^2 = S_n \frac{K}{2} + S_0 \frac{1}{2K} \rightarrow \min$$

$$\frac{S_n}{2} - \frac{S_0}{2K^2} = 0 \rightarrow K_{onm} = \sqrt{S_0 / S_n}$$

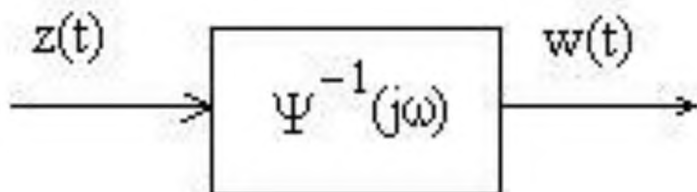
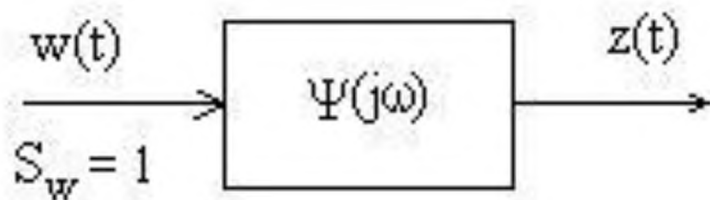


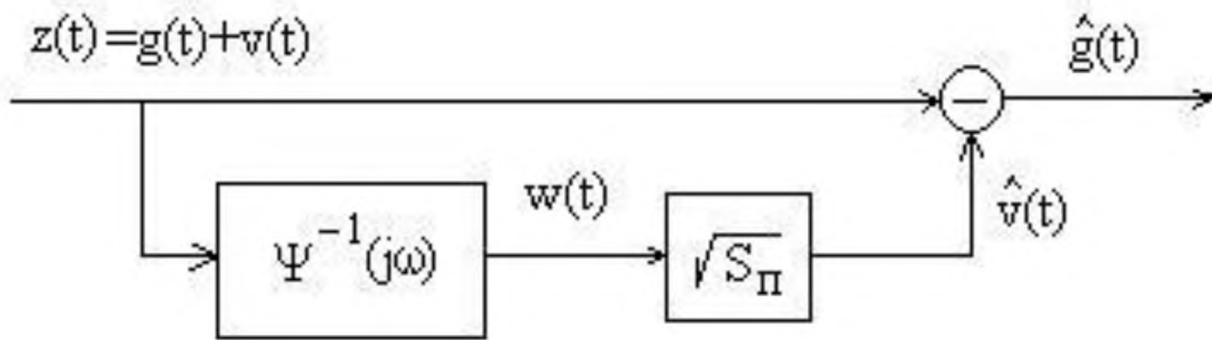
9.2. Оптимизация САР в частотной области, фильтр Винера



$$S_g(\omega) = S_0 |W_\phi(j\omega)|^2 = \frac{C(\omega^2)}{D(\omega^2)}$$

$$S_g(\omega) + S_n = \Psi(j\omega)\Psi(-j\omega) = |\Psi(j\omega)|^2$$





$$W(j\omega) = 1 - \frac{\sqrt{S_n}}{\Psi(j\omega)} \Rightarrow W_p(j\omega) = \frac{\Psi(j\omega)}{\sqrt{S_n}} - 1$$

Пример

$$S_g(\omega) + S_n = \frac{S_0}{\omega^2} + S_n = \frac{(\sqrt{S_0} + j\omega\sqrt{S_n})(\sqrt{S_0} - j\omega\sqrt{S_n})}{j\omega(-j\omega)}$$

$$W_p(j\omega) = \frac{(\sqrt{S_0} + j\omega\sqrt{S_n})}{j\omega\sqrt{S_n}} - 1 = \frac{K}{j\omega}, \quad K = \sqrt{S_0 / S_n}$$



9.3. Оптимизация САР при регулярном полезном воздействии

$$\varepsilon_{\partial} \neq 0, \quad \varepsilon_{\partial}^2 + \sigma_{\phi_l}^2 \rightarrow \min$$

Пример 1

$$g(t) = Vt, \quad W_p(p) = \frac{K_v}{j\omega}, \quad \left(\frac{V}{K_v} \right)^2 + S_n \frac{K_v}{2} \rightarrow \min$$

$$-\frac{2V^2}{K_v^3} + \frac{S_n}{2} = 0 \quad \Rightarrow \quad K_{v \text{ опт}} = \left(\frac{4V^2}{S_n} \right)^{1/3}$$

Замечание 1. Проблема априорной неопределенности:
Адаптация или минимаксный подход



Замечание 2. Как найти S_n

$$б) \quad R_{u\Delta}(\tau) = \sigma_{u\Delta}^2 \left(1 - \frac{|\tau|}{\Delta t}\right)$$

$$S_{u\Delta}(\omega) = (\text{формула Винера})$$

$$S_{u\Delta}(\omega) \approx S_{u\Delta}(0) = \sigma_{u\Delta}^2 \Delta t$$

$$S_n = \sigma^2 \Delta t$$

$$a) \quad S_n = \sigma^2 / f_{\text{эф}} \text{ уПЧ}$$

$$- \text{Хинчина}) = \sigma_{\text{чэ}}^2 \Delta t \left(\frac{\sin \frac{\omega \Delta t}{2}}{\frac{\omega \Delta t}{2}} \right)^2$$



Задача оценивания времени прихода импульсного сигнала

$$\Delta \tau = \frac{\Delta u}{du / dt} \approx \frac{\Delta u}{A / \tau} \quad \sigma_{\tau} = \frac{\sigma_u}{A / \tau} = \frac{1}{\frac{A}{\sigma_u} \frac{1}{\tau}} = \frac{1}{\rho \Delta f_{\text{эф}}}$$

Пример 2

$$g(t) = at^2 / 2, \quad W_p(j\omega) = \frac{K_a(1 + j\omega\tau)}{(j\omega)^2},$$

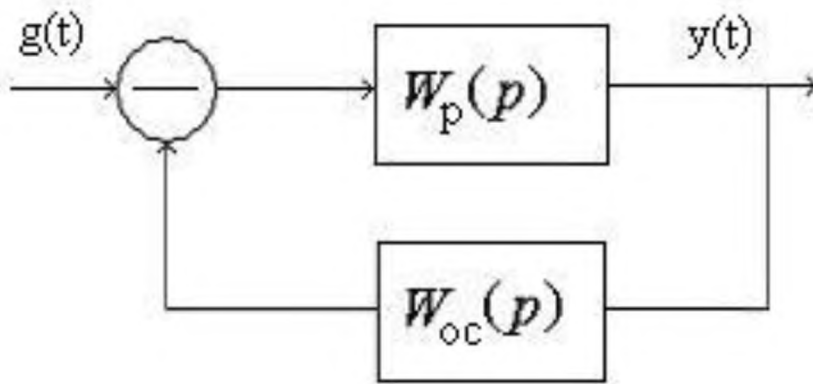
$$\frac{a^2}{K_a^2} + S_n \frac{K_a \tau^2 + 1}{2\tau} \rightarrow \min(K_a, \tau)$$

$$K_{a \text{ onm}} = \left(\frac{4a^2}{S_n} \right)^{2/5}, \quad \tau_{\text{onm}} = (K_{a \text{ onm}})^{-1/2}$$



9.4. Способы повышения точности САР

1. Согласование структур САР и ФФ
2. Оптимизация параметров
3. Использование неединичной ОС



$$E(p) = G(p) - Y(p)$$

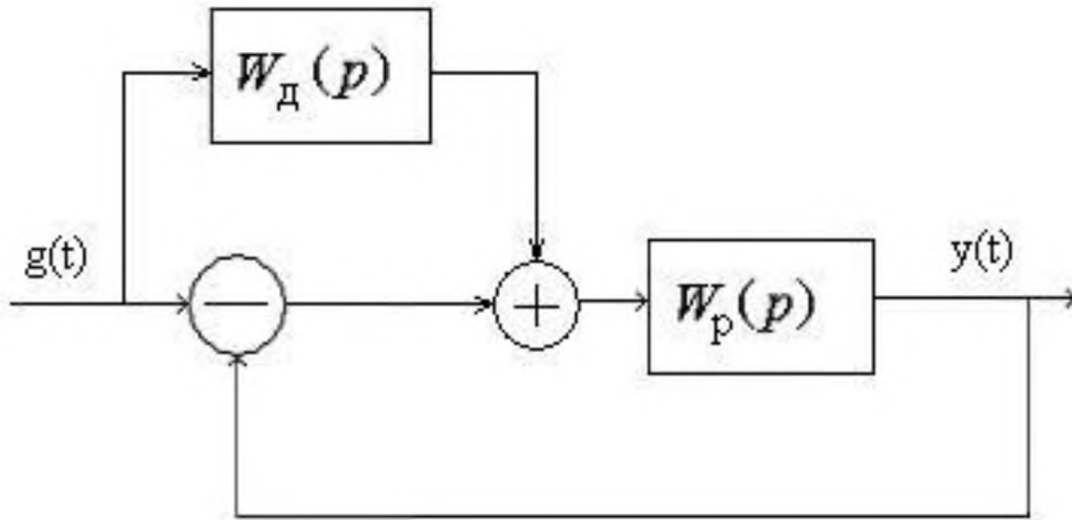
$$= G(p) - G(p) \frac{W_p(p)}{1 + W_p(p)W_{oc}(p)}$$

$$\frac{W_p(p)}{1 + W_p(p)W_{oc}(p)} = 1$$

$$W_{oc}(p) = \frac{W_p(p) - 1}{W_p(p)}$$



4. Управление по замкнутому и разомкнутому контуру



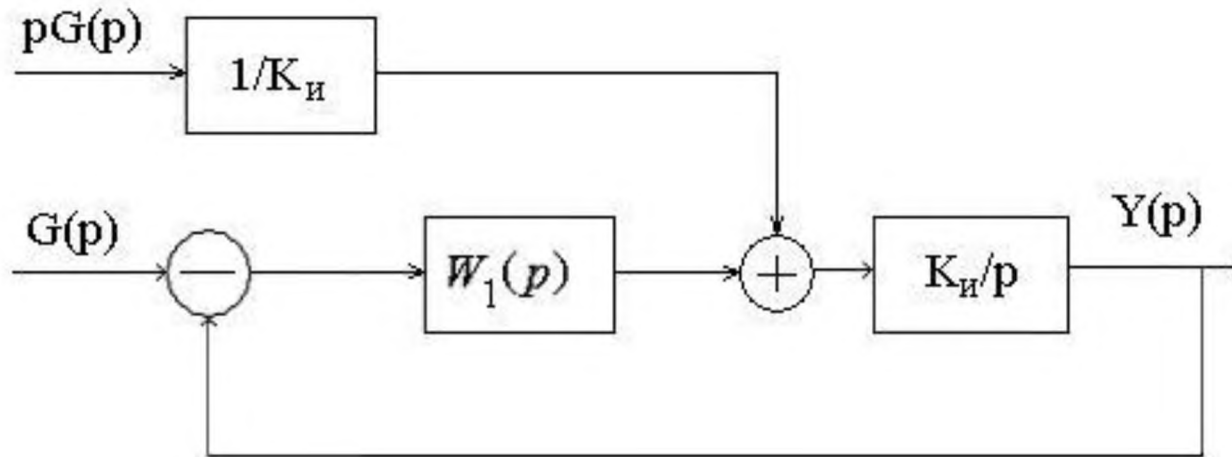
$$W(p) = \frac{Y(p)}{G(p)} = \frac{[1 + W_d(p)]W_p(p)}{1 + W_p(p)} = 1$$

$$W_d(p) = \frac{1}{W_p(p)}$$



2 датчика

а) Проблема реализации



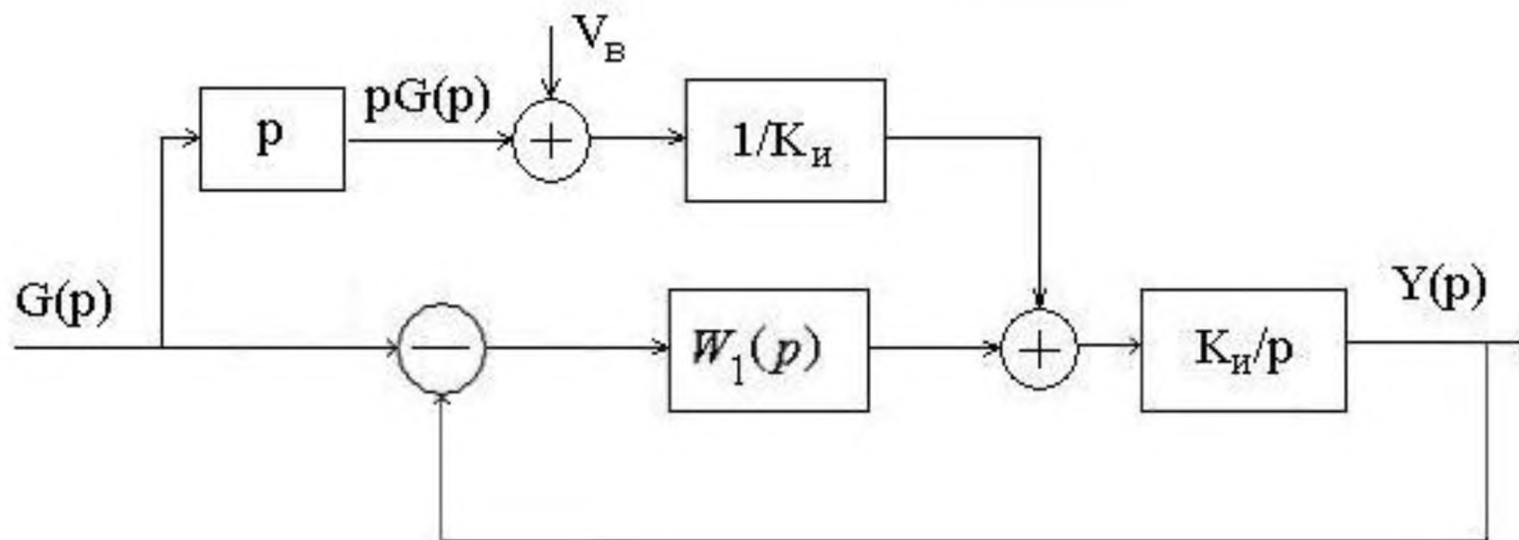
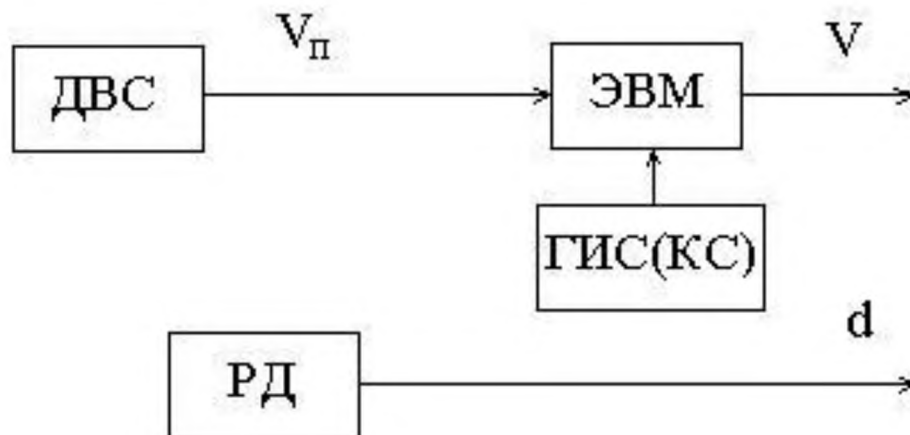
Уравнение системы

$$\left[(G - Y)W_1 + pG \frac{1}{K_u} \right] \frac{K_u}{p} = Y \Rightarrow G \left(W_1 \frac{K_u}{p} + 1 \right) = Y \left(W_1 \frac{K_u}{p} + 1 \right)$$

$$W(p) = 1$$



б) проблема помехоустойчивости



Уравнение системы

$$[(G - Y)W_1(p) + (pG + V_v)\frac{1}{K_u}]\frac{K_u}{p} = Y$$



Уравнение для ошибки G-Y

$$W_1(p) = \frac{K_1(1 + p\tau)}{p}$$

$$E(p)W_1(p)\frac{K_u}{p} + E(p) = -\frac{V_e(p)}{p} \rightarrow E(p) = \frac{-V_e(p)p}{p^2 + K_a(1 + p\tau)}$$

1. $V_e(t) = V_e = const, V_e(p) = V_e / p$

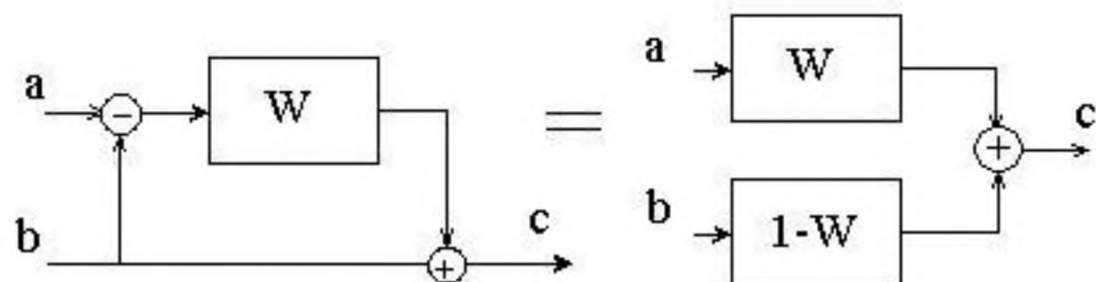
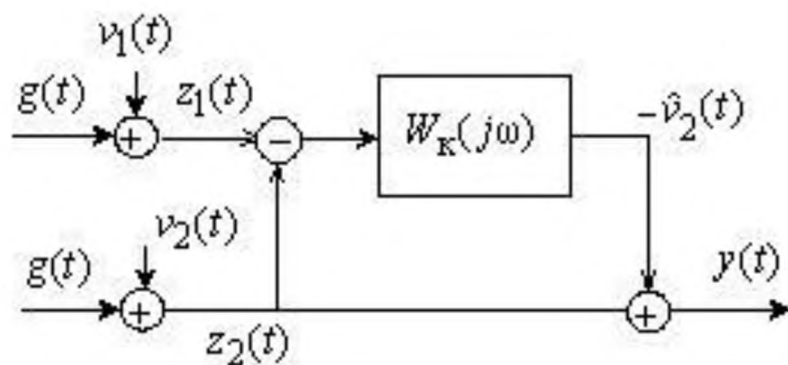
$$e_{ycm} = \lim_{p \rightarrow 0} pE(p) = 0$$

2. $V_e(t) = a_e t, V_e(p) = a_e / p^2$

$$e_{ycm} = \lim_{p \rightarrow 0} pE(p) = \frac{a_e}{K_a}, \quad a_e < a_c \rightarrow K_a \downarrow \rightarrow f_{\omega\phi} \downarrow$$



Схема компенсации



$$c = aW + b(1-W) = (a-b)W + b$$



9.5. Дискретный фильтр Калмана

$$Y(i+1) = AY(i) + K(i+1)[z(i+1) - HAY(i)] \quad (1)$$

$$P^-(i+1) = AP(i)A^T + Q_w \quad (2)$$

$$P(i+1) = (I - K(i+1)H)P^-(i+1)(I - K(i+1)H)^T + K(i+1)RK^T(i+1) \quad (3)$$

$$SpP(i+1) \rightarrow \min$$

$$K(i+1) = P^-(i+1)H^T (HP^-(i+1)H^T + R)^{-1} \quad (4)$$

Модификации уравнений ДФК

$$P(i+1) = (I - K(i+1)H)P^-(i+1) \quad (3a)$$

$$P^{-1}(i+1) = (P^-(i+1))^{-1} + H^T R^{-1} H \quad (3b)$$

$$K(i+1) = P(i+1)H^T R^{-1} \quad (4a)$$



Тема 10. Анализ нелинейных САР

Особенности: 1. Не выполняется принцип суперпозиции

2. Изменяются условия и понятие устойчивости

а) поведение системы зависит от воздействия

б) в системе возможно существование устойчивого колебательного режима

По Ляпунову: система устойчива «в малом», если при малом отклонении δ

$\forall (\delta) \in \{ \delta \in \mathbb{R}^n \mid \|\delta\| < \delta_0 \}$ и система устойчива «в большом», если она остается в области \mathcal{E} при любом начальном отклонении.

3. Качественно меняются переходные процессы

4. Возможен срыв слежения, необходим поиск сигнала и ввод

САР в режим слежения

Методы анализа: 1. Решение (численное) диф.уравнений

2. Решение уравнений Фоккера-Планка-Колмогорова и

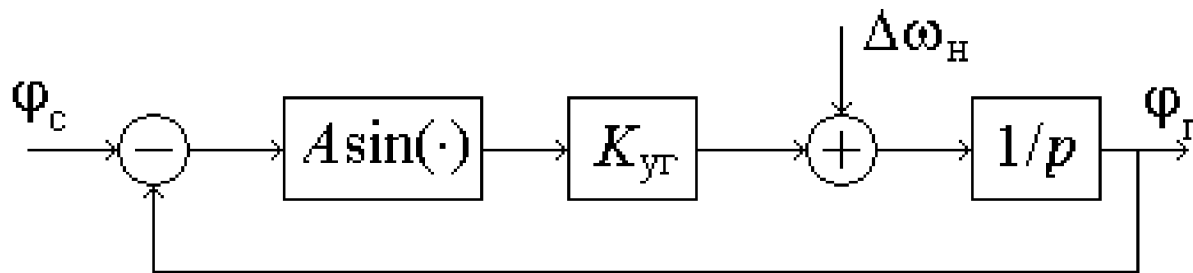
Кушнера-Стратоновича (теория марковских процессов)

3. Методы гармонической и статистической линеаризации

4. Метод моделирования



10.1 Анализ нелинейной системы ФАПЧ



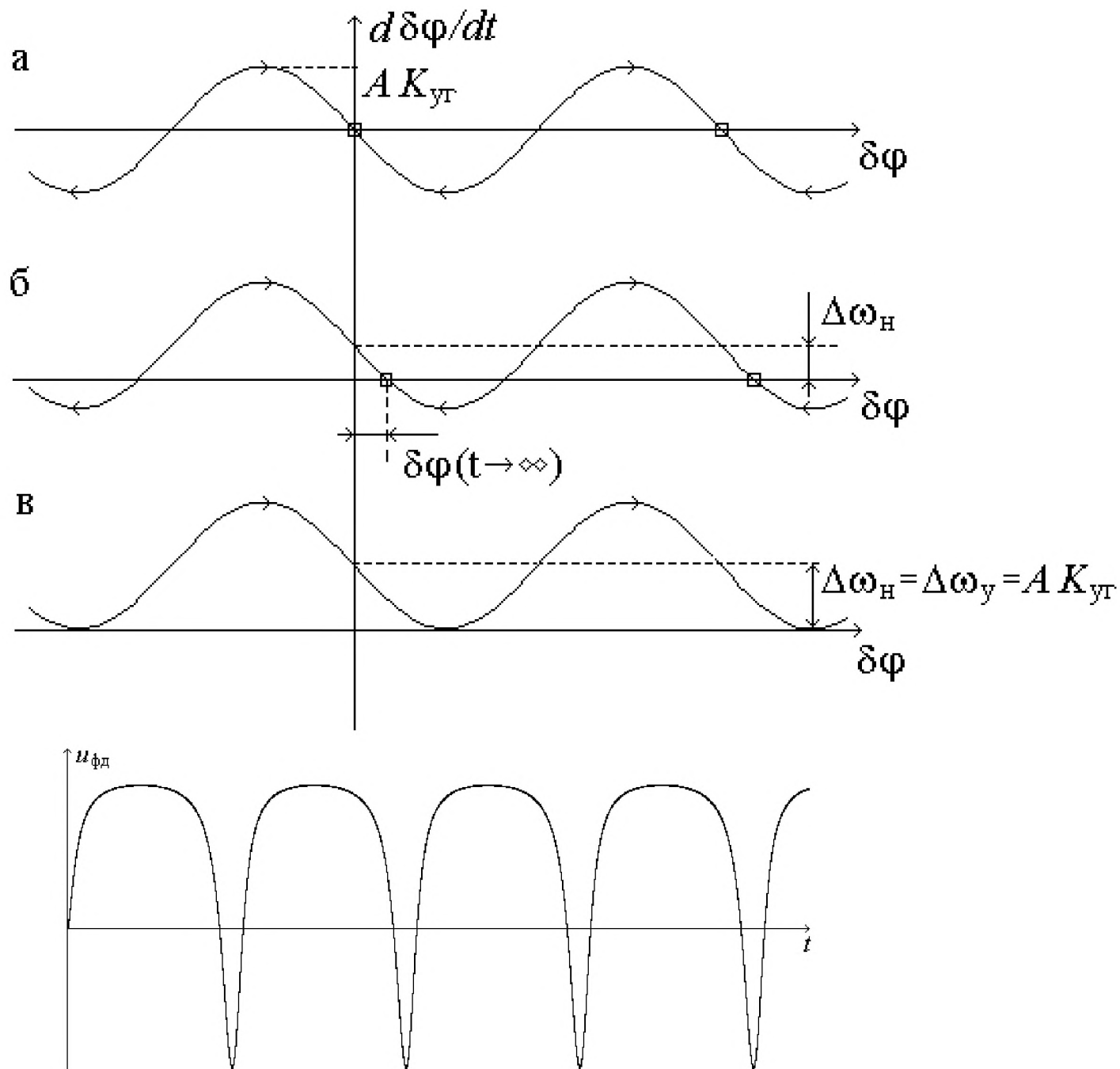
$$\frac{d\varphi_\Gamma(t)}{dt} = \Delta\omega_H + AK_{yT} \sin[\varphi_c - \varphi_\Gamma(t)], \quad \varphi_\Gamma(t_0).$$

Нас интересует ошибка в установившемся режиме

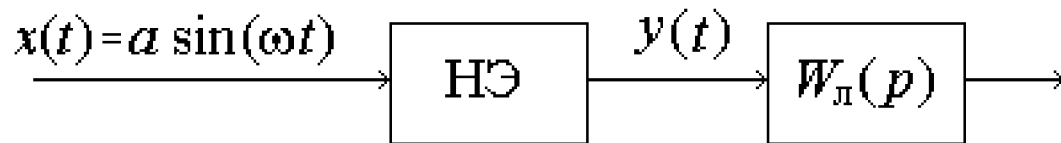
$$\delta\varphi(t) = \varphi_\Gamma(t) - \varphi_c \quad \varphi_c = \text{const},$$

$$\frac{d\delta\varphi(t)}{dt} = \Delta\omega_H - AK_{yT} \sin(\delta\varphi(t)), \quad \delta\varphi(t_0).$$





10.2. Метод гармонической линеаризации



$$|W_{\text{л}}(j\omega k)| \ll |W_{\text{л}}(j\omega)|, \quad k = 2, 3, \dots$$

$$y(t) = f(a \sin \omega t) = c_0 + s_1 \sin \omega t + c_1 \cos \omega t + s_2 \sin 2\omega t + c_2 \cos 2\omega t + \dots,$$

$$y(t) \approx s_1 \sin \omega t + c_1 \cos \omega t,$$

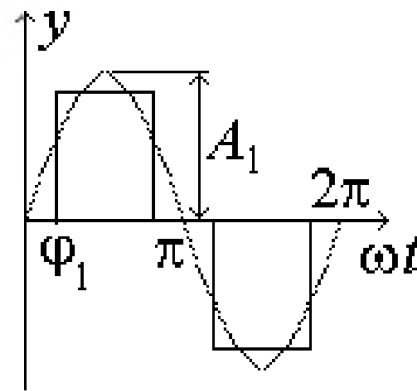
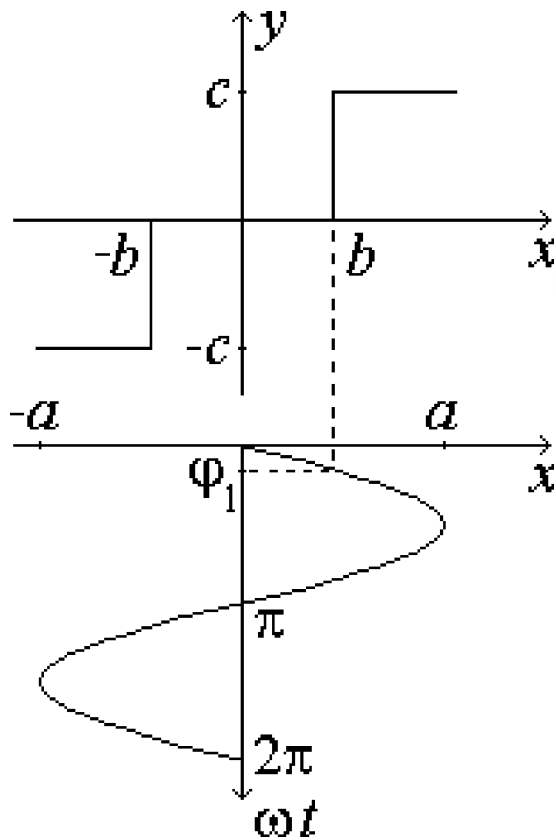
$$s_1 = \frac{1}{\pi} \int_0^{2\pi} f(a \sin \omega t) \sin \omega t d\omega t, \quad c_1 = \frac{1}{\pi} \int_0^{2\pi} f(a \sin \omega t) \cos \omega t d\omega t.$$

$$y(t) \approx \frac{s_1}{a} x(t) + \frac{c_1}{a\omega} \frac{dx(t)}{dt} = q(a)x(t) + q'(a) \frac{1}{\omega} \frac{dx(t)}{dt},$$



$$y(p) = [q(a) + q'(a) \frac{p}{\omega}] x(p). \quad W_{\text{л}}(p, a) = \frac{y(p)}{x(p)} = q(a) + q'(a) \frac{p}{\omega}.$$

$$W_H(a) = q(a) + jq'(a), \quad |W_H(a)| = \sqrt{[q(a)]^2 + [q'(a)]^2} = \frac{\sqrt{s_1^2 + c_1^2}}{a}$$



$$W_H(a) = q(a) = \frac{4c}{\pi a} \sqrt{1 - \frac{b^2}{a^2}}, \quad a \geq b.$$



10.3. Частотный метод определения автоколебаний в н/лин.САР

$$W_p(p, a) = W_H(a)W_L(p).$$

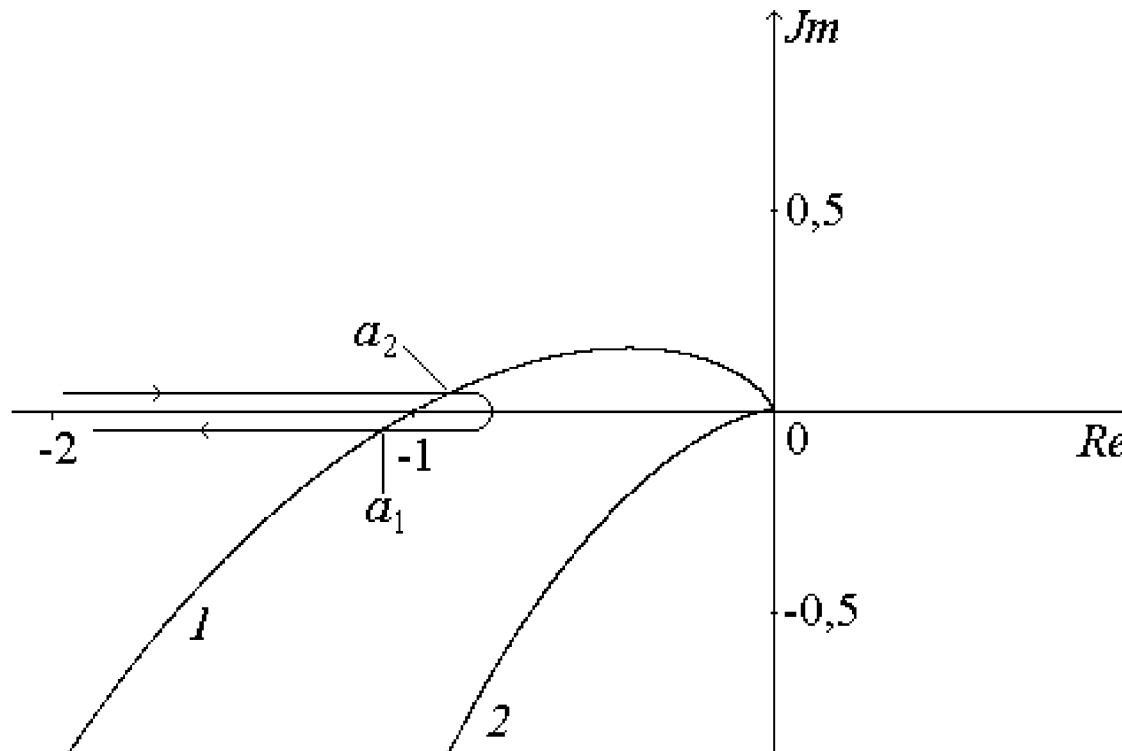
Задачи: 1. $\exists A/\kappa$

2. Уст. А/κ

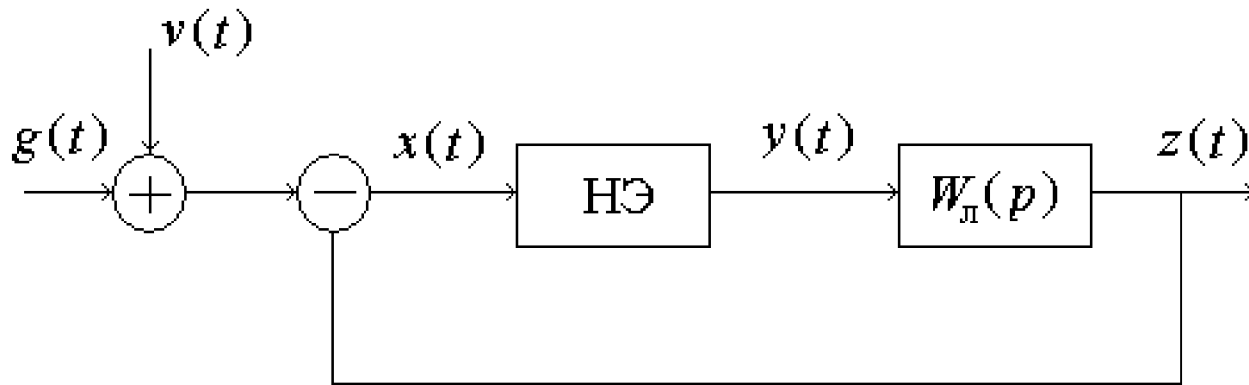
3. а, ω

$$W_p(j\omega, a) = -1$$

$$W_L(j\omega) = -W_H^{-1}(a)$$



10.4. Метод статистической линеаризации



$$W(x) = \frac{1}{\sqrt{2\pi}\sigma_x} e^{-\frac{(x-m_x)^2}{2\sigma_x^2}}, \quad \sigma_x^2 = D_x$$

Статистический эквивалент НЭ

$$y_1(t) = K_0 m_x + K_1 x^0(t),$$

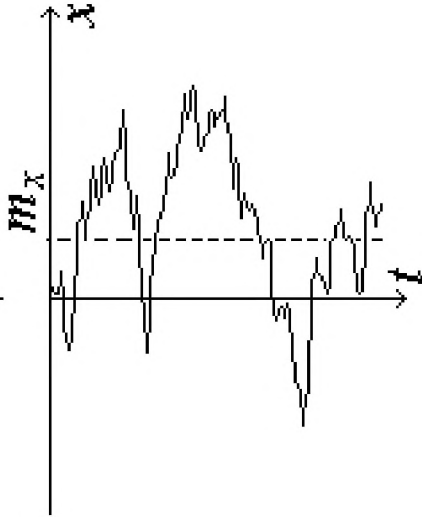
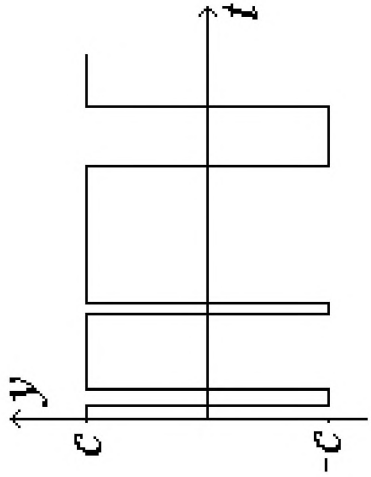
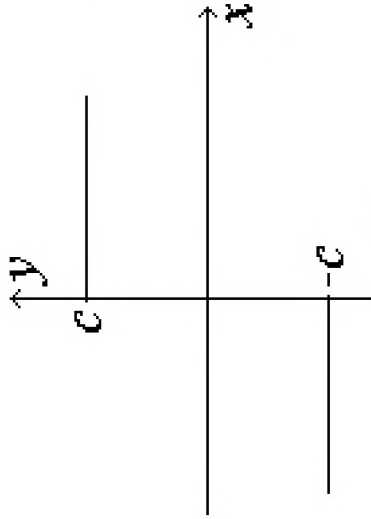
$$m_y = m_{y1},$$

$$\sigma_y^2 = \sigma_{y1}^2.$$



$$K_0 = \frac{m_y}{m_x} = \frac{1}{m_x} \int_{-\infty}^{\infty} y(x) W(x) dx.$$

$$K_1 = \left(\frac{\sigma_y^2}{\sigma_x^2} \right)^{1/2} = \frac{1}{\sigma_x} \left[\int_{-\infty}^{\infty} [y(x) - m_y]^2 W(x) dx \right]^{1/2}.$$



$$W(y) = p_1 \delta(y - c) + p_2 \delta(y + c).$$



Вычислительные аспекты

$$m_y = \int_{-\infty}^{\infty} y(x)W(x)dx = -c \int_{-\infty}^0 y(x)W(x)dx + c \int_0^{\infty} y(x)W(x)dx =$$

$$u = \frac{x - m_x}{\sigma_x},$$

$$= c \left\{ -\frac{1}{\sqrt{2\pi}} \int_{-\infty}^{-m_x/\sigma_x} e^{-u^2/2} du + \frac{1}{\sqrt{2\pi}} \int_{-m_x/\sigma_x}^{\infty} e^{-u^2/2} du \right\} =$$

$$= 2c\Phi(m_x / \sigma_x),$$

$$\Phi(m_x / \sigma_x) = \frac{1}{\sqrt{2\pi}} \int_0^{m_x/\sigma_x} e^{-u^2/2} du$$



$$\sigma_y^2 = \int_{-\infty}^{\infty} [y(x) - m_y]^2 W(x) dx = c^2$$

Замечание. Критерий эквивалентности

$$E\{[y(t) - y_1(t)]^2\} \rightarrow \min.$$

$$K_0 = \frac{m_y}{m_x} = \frac{1}{m_x} \int_{-\infty}^{\infty} y(x) W(x) dx,$$

$$K_1 = \frac{1}{\sigma_x^2} E\{x^0(t)y(t)\} = \frac{1}{\sigma_x^2} \int_{-\infty}^{\infty} (x -$$

$$-4c^2\Phi^2(m_x/\sigma_x).$$

$$m_y = m_{y1},$$

$$\sigma_y^2 = \sigma_{y1}^2.$$

$$-m_x)y(x)W(x)dx.$$



10.5. Анализ н/лин САР с помощью метода статистической линеаризации

m_x – динамическая ошибка, σ_z^2 – дисперсия фл.ошибки

1. Общий метод анализа $K_0(m_x, \sigma_x^2) = f_1(g, m_z, \sigma_v^2, \sigma_z^2)$

$$K_1(m_x, \sigma_x^2) = f_2(g, m_z, \sigma_v^2, \sigma_z^2)$$

$$m_z = f_3(K_0, K_1)$$

$$\sigma_z^2 = f_4(K_0, K_1)$$

2. Упрощенный метод анализа

1) $\sigma_z \ll \sigma_v$

2) $m_x \approx 0$

3) $K_0(m_x, \sigma_x^2) = K_0(0, \sigma_v^2) = const, \quad \sigma_v^2 = const$



$$W_p(j\omega) = K_0(0, \sigma_v^2) W_\lambda(j\omega)$$

$LX \Rightarrow \omega_{cp} \approx 2\pi\Delta f_{ynч} \Rightarrow$ переходные процессы, точность

Помехоустойчивость:

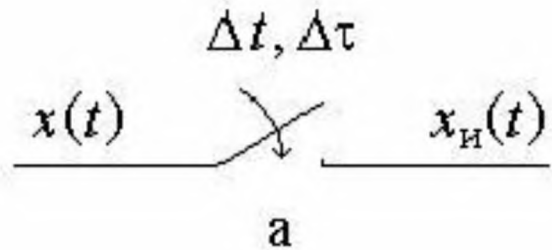
$$\sigma_{экв}^2 = \frac{D_y|_{mx=0}}{K_0^2(0, \sigma_v^2)},$$

$$S_n = \sigma_{экв}^2 \Delta t,$$

$$\sigma_z^2 = S_n f_{эф} \quad (\sigma_z^2 \approx \sigma_v^2).$$

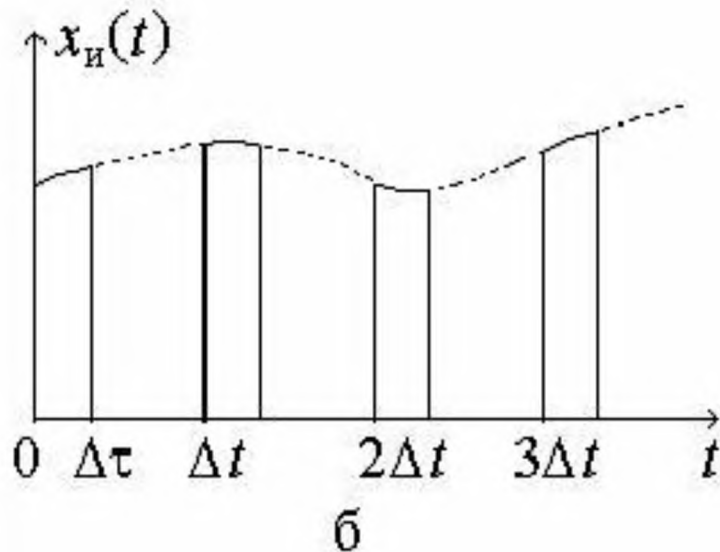


11. Импульсные и дискретные САР

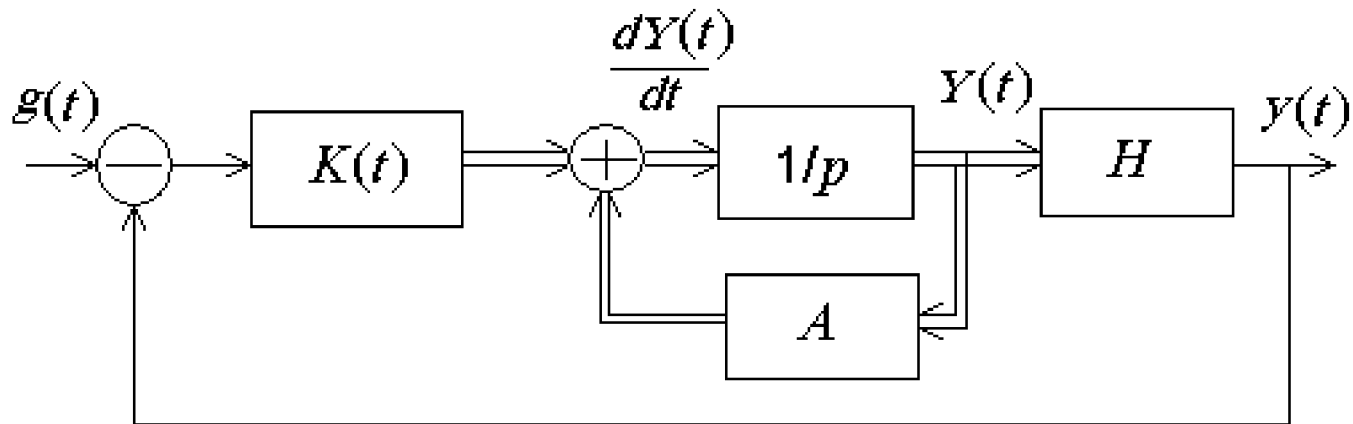


$\Delta\tau \ll \Delta t \rightarrow$ САР с конечным временем
съема данных

$\Delta\tau \approx \Delta t \rightarrow$ дискретная САР



11.1. САР с конечным временем съема данных



$$K(t) = \begin{cases} K, & t_i \leq t < t_i + \Delta\tau \quad (\text{ключ замкнут}), \\ 0, & t_i + \Delta\tau \leq t < t_{i+1} \quad (\text{ключ разомкнут}), \end{cases}$$

$$\begin{cases} \frac{dY(t)}{dt} = (A - KH)Y(t) + Kg(t), & Y(t_i), \quad t_i \leq t < t_i + \Delta\tau, \\ \frac{dY(t)}{dt} = AY(t), & Y(t_i + \Delta\tau), \quad t_i + \Delta\tau \leq t < t_{i+1}. \end{cases}$$



$$Y(t_i + \Delta\tau) = e^{(A-KH)\Delta\tau} Y(t_i).$$

$$Y(t_{i+1}) = e^{A(\Delta t - \Delta\tau)} Y(t_i + \Delta\tau).$$

$$Y(t_{i+1}) = e^{A(\Delta t - \Delta\tau)} e^{(A-KH)\Delta\tau} Y(t_i)$$

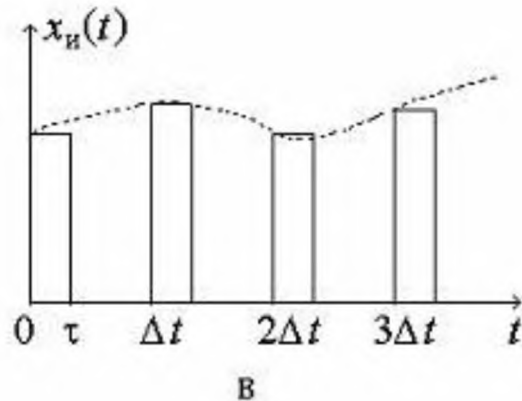
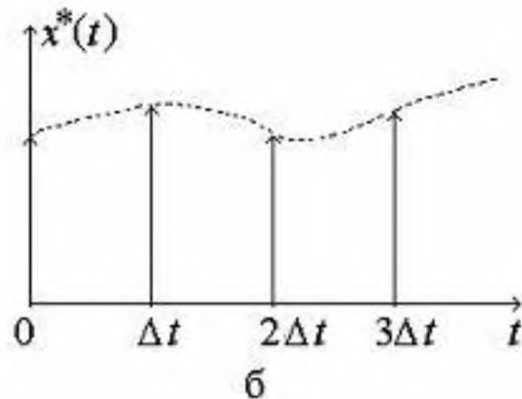
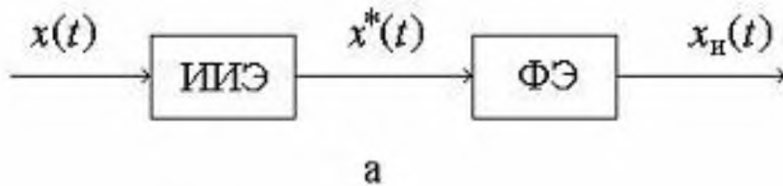
$$\Phi_{\mathfrak{z}} = e^{A(\Delta t - \Delta\tau)} e^{(A-KH)\Delta\tau}$$

$$\det(zI - \Phi_{\mathfrak{z}}) = 0.$$



11.2. Дискретные системы: решетчатые функции, разностные уравнения, z-преобразование

$$\Delta\tau \ll \Delta t \Rightarrow \Delta\tau \rightarrow 0$$



$$x^*(t) = \sum_{i=0}^{\infty} x(t_i) \delta(t - t_i),$$

$$x_H^*(t) = \sum_{i=0}^{\infty} x(i) \delta(t / \Delta t - i).$$



$$L\{x^*(t)\} = \int_0^{\infty} x^*(t) e^{-pt} dt = \int_0^{\infty} \sum_{i=0}^{\infty} x(t_i) \delta(t - t_i) e^{-pt} dt =$$

$$= \sum_{i=0}^{\infty} x(t_i) e^{-pt_i} = F_{\text{д}}(p).$$

-Дискретное преобразование Лапласа

$$z = e^{p\Delta t}$$

$$F_{\text{д}}(z) = Z\{x(t_i)\} = \sum_{i=0}^{\infty} x(t_i) z^{-i}.$$

- z-преобразование

$$Z\{x(t_i, \varepsilon)\} = \sum_{i=0}^{\infty} x(t_i, \varepsilon) z^{-i}.$$

-модифицированное z-преобразование
($\varepsilon = \delta t / \Delta t$)



Примеры

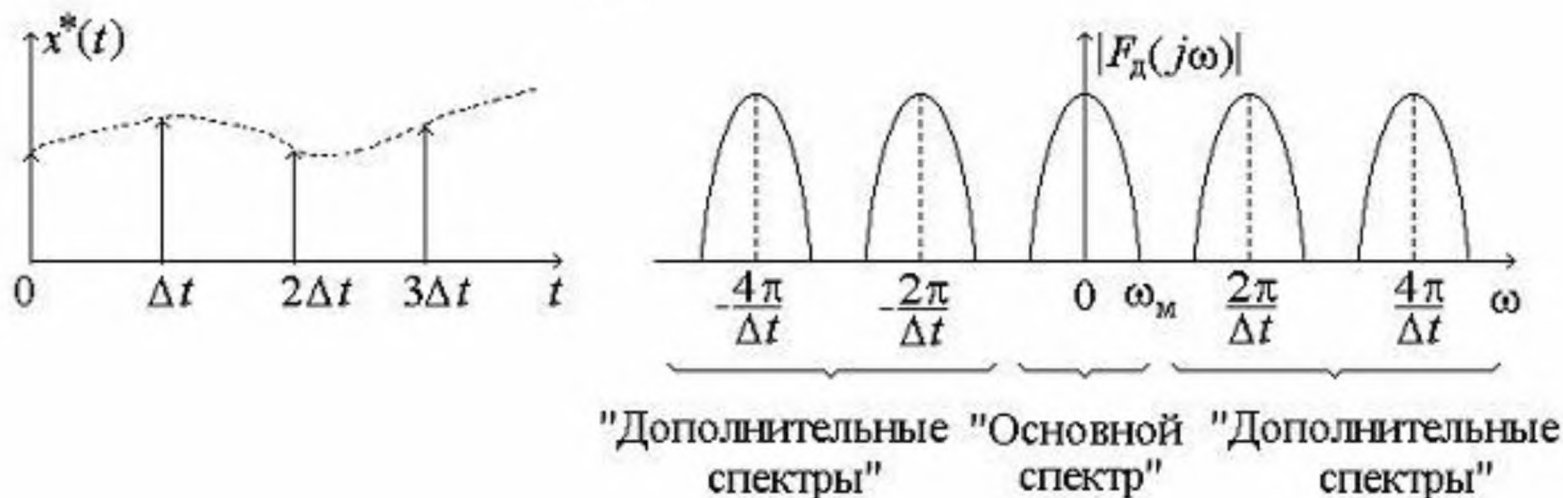
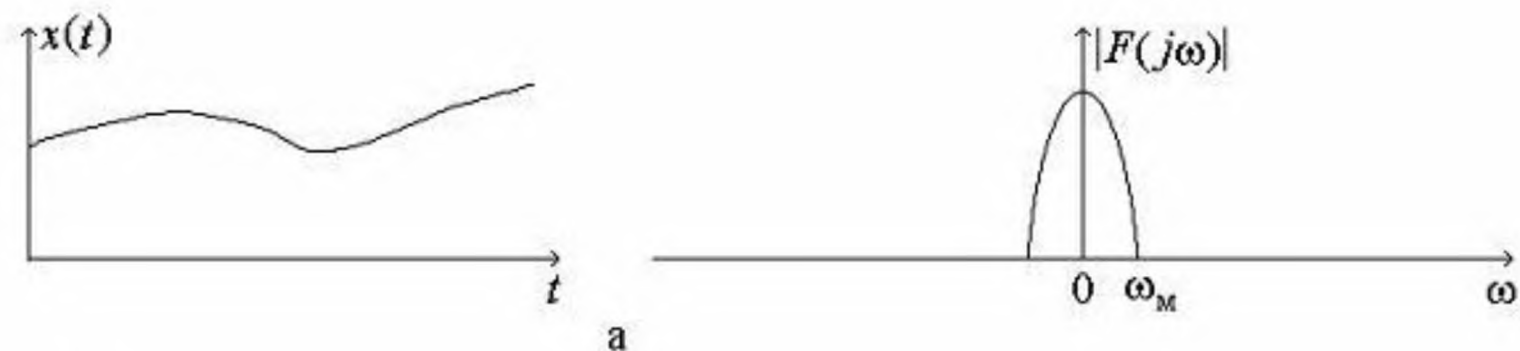
$x(t)$	$L\{x(t)\}$	$Z\{x^*(t, \varepsilon)\}$
$1(t)$	$\frac{1}{p}$	$\frac{z}{z-1}$
t	$\frac{1}{p^2}$	$\frac{\Delta t z}{z-1} \left(\frac{1}{z-1} + \varepsilon \right)$



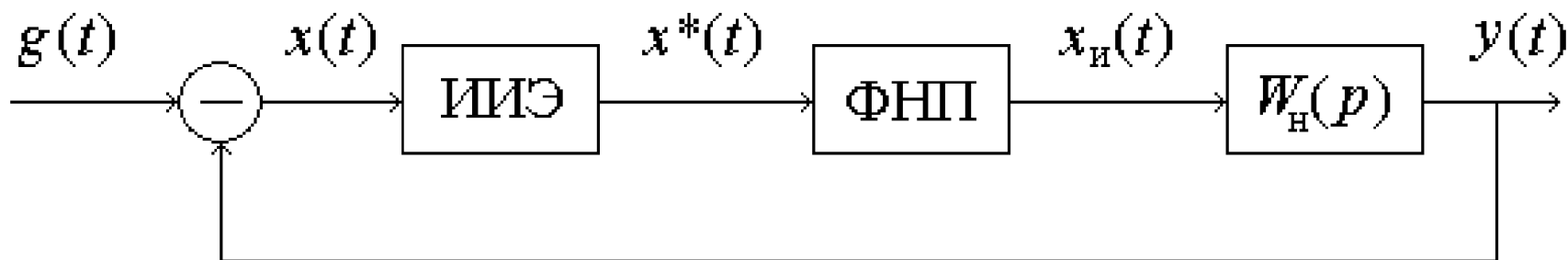
11.3. Спектр решетчатой (дискретной) функции. Фиксатор нулевого порядка

$$x(t) \Rightarrow F(p) = L\{x(t)\} \xrightarrow{p=j\omega} F(j\omega)$$

$$x(t_i) = x^*(t) \Rightarrow F(z) = Z\{x(t_i)\} \xrightarrow{z=e^{j\omega\Delta t}} F_\Delta(j\omega)$$



$$\frac{2\pi}{\Delta t} > 2\omega_M \rightarrow \frac{1}{\Delta t} > 2f_M$$

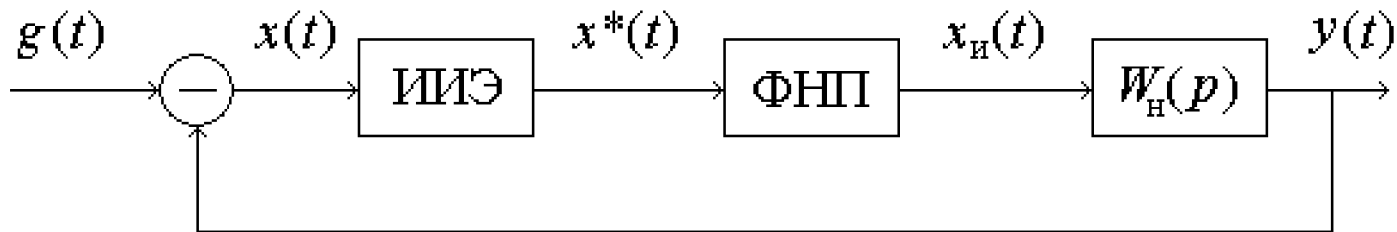


ФНП – фиксатор нулевого порядка

$$W_{\text{ФНП}}(p) = \frac{1 - e^{-p\Delta t}}{p}$$



11.4. Передаточная функция дискретной САР



$$W(z) = \frac{y(z, \varepsilon)}{g(z)} \quad (1) \quad W_p(p) = W_{\phi_{\text{ИИЭ}}}(p) W_H(p) = (1 - e^{-p\Delta t}) \frac{W_H(p)}{p} \quad (2)$$

$$W_p(z, \varepsilon) = (1 - z^{-1}) W_H^*(z, \varepsilon) \quad (3)$$

$$x(t_i) = g(t_i) - y(t_{i-1}, \varepsilon) \Big|_{\varepsilon=1} \quad (4)$$

$$x(z) = g(z) - z^{-1} y(z, \varepsilon) \Big|_{\varepsilon=1} \quad (5)$$

$$y(z, \varepsilon) = x(z) W_p(z, \varepsilon) \quad (6)$$

$$W(z, \varepsilon) = \frac{W_p(z, \varepsilon)}{1 + z^{-1} W_p(z, \varepsilon) \Big|_{\varepsilon=1}} \quad (7)$$

$$y(t_{i-1}, \varepsilon) \Big|_{\varepsilon=1} = y(t_i, \varepsilon) \Big|_{\varepsilon=0}$$

$$W(z, \varepsilon) = \frac{W_p(z, \varepsilon)}{1 + W_p(z, \varepsilon)} \quad (8)$$



Пример
$$W_H(p) = \frac{K}{p}, \quad W_{\phi_{HH}}(p)W_H(p) = (1 - e^{-p\Delta t}) \frac{K}{p^2}.$$

$$W_p(z, \varepsilon) = (1 - z^{-1}) \frac{K \Delta t z}{z - 1} \left(\frac{1}{z - 1} + \varepsilon \right).$$

$$W_p(z, \varepsilon) \Big|_{\varepsilon=0} = \frac{K \Delta t}{z - 1} \qquad W_p(z, \varepsilon) \Big|_{\varepsilon=1} = \frac{K \Delta t z}{z - 1}$$

$$W(z) = \frac{W_p(z, \varepsilon) \Big|_{\varepsilon=0}}{1 + z^{-1} W_p(z, \varepsilon) \Big|_{\varepsilon=1}} = \frac{K \Delta t}{z + (K \Delta t - 1)}$$

Характеристическое уравнение

$$z + (K \Delta t - 1) = 0$$



Разностное уравнение

$$\frac{y(z)}{g(z)} = \frac{K \Delta t z^{-1}}{1 + (K \Delta t - 1)z^{-1}}$$

$$y(z) + z^{-1}y(z)(K \Delta t - 1) = z^{-1}g(z)K \Delta t$$

$$y(t_i) + y(t_{i-1})(K \Delta t - 1) = g(t_{i-1})K \Delta t$$

$$y(t_i) = y(t_{i-1}) + K \Delta t[g(t_{i-1}) - y(t_{i-1})]$$

$$\Delta t \rightarrow 0: \quad y(t_i) = y(t_{i-1}) + K \Delta t[g(t_i) - y(t_{i-1})]$$

Частотные характеристики

$$z = e^{j\omega\Delta t} = \cos \omega\Delta t + j \sin \omega\Delta t \approx 1 + j\omega\Delta t, \quad \omega \ll \frac{2\pi}{\Delta t}$$

$$W(j\omega) = \frac{K \Delta t}{1 + j\omega\Delta t + K \Delta t - 1} = \frac{K}{K + j\omega}$$



Связь описаний дискретных САР во временной и частотной областях

$$Y(t_i) = \Phi Y(t_{i-1}) + Kg(t_i),$$

$$y(t_i) = HY(t_i),$$

$$Y(z) = \Phi z^{-1} Y(z) + Kg(z),$$

$$y(z) = HY(z).$$

$$y(z) = H(zI - \Phi)^{-1} zKg(z). \quad z^{-1}y(z) = H(zI - \Phi)^{-1} Kg(z)$$

$$W(z) = \frac{y(z)}{g(z)} = H(zI - \Phi)^{-1} zK. \quad W(z) = H(zI - \Phi)^{-1} K.$$



Заключение

$$z(t) = HG(t) + v(t) \quad (1)$$

$$z(t) = au(t - \tau) \cos[\omega(t - \tau) + \varphi] + v(t) \quad (2)$$

$$z(t) = h[G(t)] + v(t) \quad (3)$$



end

